

ESPAÑA



①Número de publicación: 2 385 712

51 Int. Cl.: C12N 15/113

13 (2010.01)

(12)

TRADUCCIÓN DE PATENTE EUROPEA

T3

- 96) Número de solicitud europea: 04709264 .8
- (96) Fecha de presentación: 09.02.2004
- 97 Número de publicación de la solicitud: 1594964
 97 Fecha de publicación de la solicitud: 16.11.2005

54 Título: Oligonucleótidos que inhiben la expresión de la proteína OB-RGRP y procedimiento de detección de compuestos que modifican la interacción entre las proteínas de la familia de OB-RGRP y el receptor de la leptina

30 Prioridad:

10.02.2003 FR 0301543

73) Titular/es:

Aventis Pharma S.A.
20, avenue Raymond Aron
92160 Antony, FR;
INSTITUT NATIONAL DE LA SANTE ET DE LA
RECHERCHE MEDICALE (INSERM) y
Centre National de la Recherche Scientifique
(CNRS)

45 Fecha de publicación de la mención BOPI: 30.07.2012

(72) Inventor/es:

JOCKERS, Ralf; COUTURIER, Cyril y UHLMANN, Eugen

Fecha de la publicación del folleto de la patente: 30.07.2012

(74) Agente/Representante:

de Elzaburu Márquez, Alberto

ES 2 385 712 T3

Aviso: En el plazo de nueve meses a contar desde la fecha de publicación en el Boletín europeo de patentes, de la mención de concesión de la patente europea, cualquier persona podrá oponerse ante la Oficina Europea de Patentes a la patente concedida. La oposición deberá formularse por escrito y estar motivada; sólo se considerará como formulada una vez que se haya realizado el pago de la tasa de oposición (art. 99.1 del Convenio sobre concesión de Patentes Europeas).

DESCRIPCIÓN

Oligonucleótidos que inhiben la expresión de la proteína OB-RGRP y procedimiento de detección de compuestos que modifican la interacción entre las proteínas de la familia de OB-RGRP y el receptor de la leptina

La presente solicitud tiene por objeto oligonucleótidos que inhiben la expresión de la proteína OB-RGRP

5 La invención se define por las reivindicaciones.

10

15

20

25

30

45

55

La leptina es una proteína de 16 kDa secretada principalmente por el tejido adiposo y se une a un receptor (OB-R) que pertenece a la familia de los receptores de las citoquinas. Se han identificado cinco isoformas de membrana de este receptor y derivan del corte y empalme alternativo de un mismo gen. Estas isoformas que poseen el mismo dominio extracelular y transmembrana, se caracterizan por dominios intracelulares de tamaños variables (Tartaglia et al. (1995) Cell 83, 1263-1271). También se ha identificado una forma soluble del receptor y proviene de un corte y empalme alternativo o de una escisión proteolítica del dominio extracelular de las formas de membrana. La forma corta del receptor (OB-Rs) que parece implicada en el transporte de la leptina a través de la barrera hematoencefálica es la isoforma más expresada. La forma larga (OB-RI) sólo se expresa en algunos tejidos como el hipotálamo y parece responsable de la mayor parte de los efectos biológicos de la leptina (Sweeney, G. (2002) Cell Signal 14, 655-663). La leptina y su receptor han sido objeto de una atención particular a causa de su implicación en la regulación del equilibrio energético, del metabolismo y en la respuesta neuroendocrina a la ingesta alimentaria. Recientemente, se ha mostrado que la leptina también está implicada en funciones adicionales importantes como la regulación de la masa ósea, angiogénesis, cicatrización, formación de trombos, maduración sexual, hematopoyesis, regulación de la inmunidad y de la inflamación, desarrollo fetal y cáncer. La administración de leptina en organismos deficientes en leptina como los ratones (ob/ob) y determinados individuos humanos provoca una disminución de la masa de lípido en diversos tejidos como el hígado y el tejido adiposo (Halaas et al. (1995) Science 269, 543-546, Pelleymounter et al. (1995) Science 269, 540-543, Campfield et al. (1995) Science 269, 546-549, Faroogi et al. (1999) N Engl J Med 341, 879-884). Este tratamiento con leptina también mejora la sensibilidad a la insulina y disminuye la masa grasa en el ratón y el ser humano que presentan una lipodistrofia (Shimomura et al. (1999) Nature 401, 73-76, Oral et al. (2002) New England Journal of Medicine 346, 570-578, Petersen et al. (2002) J Clin Invest 109, 1345-1350. Las personas obesas son generalmente resistentes a la leptina. Las razones de esta resistencia todavía se comprenden mal pero se han sugerido varios mecanismos; un defecto en el transporte de la leptina a través de la barrera hemato-encefálica, un defecto en la activación de los OB-R o de la señalización de estos receptores, y la sobreexpresión de reguladores negativos como SOCS3 y PTP-1B Bjorbaek et al. (2000) J Biol Chem 275, 40649-40657, Cheng et al. (2002) Developmental Cell 2, 497-503, Cook y Unger (2002) Developmental Cell 2, 385-387. La comprensión de los mecanismos de la resistencia a la leptina requiere una caracterización más detallada de los mecanismos implicados en la activación de los OB-R.

El OB-R está asociado constitutivamente a la quinasa janus 2 (JAK2). La unión de JAK2 al receptor es crítica para la señalización por los OB-R y se ha propuesto que está implicada en la estabilización de los dímeros de los receptores OB-R. La activación por agonistas provocará un cambio de conformación en la región yuxtamembrana de la cola citoplásmica de los OB-R. JAK2, que está constitutivamente unido al resto box1 en esta región se activa por autofosforilación y fosforila el receptor OB-RI pero no OB-Rs. La fosforilación de OB-RI permite el anclaje de proteínas STAT que se unen al receptor y se activan por fosforilación en tirosina. Las proteínas STAT activadas se dimerizan y translocan en el núcleo para estimular la transcripción de genes mediante el elemento de respuesta de STAT (Tartaglia (1997) J Biol Chem 272, 6093-6096).

Recientemente, se ha descubierto un segundo promotor para el receptor de la leptina. De forma interesante, un segundo transcrito se co-expresa con los mensajeros de los OB-R a partir de este promotor. Este transcrito se ha observado en varias especies como el ratón, la rata, el ser humano, la levadura y C. *elegans* (Bailleul et al. (1997) Nucleic Acids Res 25, 2752-2758). Los experimentos de hibridación *in situ* confirman la co-expresión de los OB-R y del gen asociado en el cerebro de los ratones incluidas las regiones hipotalámicas implicadas en la regulación del peso corporal (Mercer et al., J Neuroendocrinol 2000 Jul;12(7):649-55). La proteína correspondiente está compuesta por 131 aminoácidos y se denomina proteína relacionada con el gen OB-R (OB-RGRP). Esta proteína ha sido objeto de la solicitud de patente WO98/05792.

Por otra parte, la solicitud de patente EP0969091A2 enseña un polipéptido denominado LEPRGRP. Esta solicitud sugiere que la expresión del gen que codifica el polipéptido LEPRGRP endógeno podría ser inhibida por el sesgo de técnicas que bloquean la expresión.

El hecho de que OB-RGRP se exprese en la levadura y nematodo, organismos desprovistos de receptores de la leptina, indica un papel más general para OB-RGRP, apoyado por la deleción de esta proteína en la levadura que provoca un defecto en el transporte de proteínas del golgi hacia las vacuolas (Belgareh-Touze et al. (2002) Molecular Biology Of The Cell 13, 1694-1708).

En 2001, un ADNc denominado MY047, se clonó a partir de una biblioteca de ADNc de cerebro humano (Huang et al. (2001) Blochimica et Biophysica acta. Gene structure and expression 327-331). Esta proteína ha sido objeto además de la solicitud EP 0 969 091. La función de la proteína correspondiente es todavía desconocida. MY047

tiene una homología del 68 % con OB-RGRP lo que sugiere que estas dos proteínas pertenecen a la misma familia. El análisis de las secuencias disponibles del proyecto de secuenciación del genoma humano muestra que no existe ningún otro homólogo.

Los solicitantes están vinculados a determinar el papel de la OB-RGRP y sus relaciones con los receptores de la leptina.

Así, han mostrado la especificidad de las interacciones entre la OB-RGRP y el receptor OBRs.

Además han mostrado que era posible modificar específicamente la expresión de los receptores de la leptina en la superficie celular mediante oligonucleótidos antisentido dirigidos contra la proteína asociada al gen de los receptores de la leptina (OB-RGRP).

- La presente tiene por lo tanto por objeto oligonucleótidos opcionalmente modificados que comprenden de 8 a 50 nucleótidos que hibridan de manera específica con la secuencia SEQ ID N° 1 e inhiben la expresión de OB-RGRP, caracterizados porque comprenden una secuencia que presenta una identidad de al menos 90% con la secuencia SEQ ID NO:2. Ventajosamente, estos oligonucleótidos favorecen la expresión de los receptores de la leptina en la superficie celular.
- 15 Preferentemente, estos oligonucleótidos son antisentido.

25

30

35

40

45

50

55

Según un modo de aplicación ventajoso estos oligonucleótidos se caracterizan porque los nucleótidos están tioesterificados.

Según otro modo de aplicación ventajoso estos oligonucleótidos se caracterizan porque los nucleótidos están 2' Ometilados.

20 Según otro modo de aplicación ventajoso estos oligonucleótidos se caracterizan porque presentan un residuo trietilenglicol en sus extremos 3'.

Aunque la forma más usada de los compuestos antisentido se presenta en la forma de oligonucleótidos antisentido, la presente invención incluye los derivados de oligonucleótidos y los compuestos que mimetizan su estructura tales como los descritos más adelante, sin que esta lista sea limitativa. Los compuestos antisentido según esta invención comprenden preferentemente, de 8 a 50 nucleobases (es decir, son oligómeros formados por 8 a 50 unidades nucleotídicas). Los compuestos antisentido particularmente considerados son los oligonucleótidos antisentido, más especialmente los que están formados por aproximadamente 12 a 30 nucleobases. Los compuestos antisentido comprenden ribozimas, oligozimas y otros ARN catalíticos cortos u oligonucleótidos catalíticos que hibridan con el ácido nucleico diana y modulan su expresión. Un nucleósido es una combinación de una base nitrogenada y un azúcar. La base de un nucleósido es generalmente una base nitrogenada heterocíclica. Los dos tipos de base heterocíclica más comunes son las bases púricas y pirimidínicas. Los nucleótidos son nucleósidos que portan un grupo fosfato unido de manera covalente al azúcar del nucleósido. Para los nucleósidos que contienen una pentanofuranosa, el fosfato puede unirse al hidroxilo en posición 2', 3' ó 5' del azúcar. La formación de nucleótidos proviene de la unión covalente del grupo fosfato de dos nucleósidos adyacentes lo que permite poco a poco la obtención de un oligómero lineal. Los dos extremos de dicho polímero lineal pueden a su vez unirse para formar una estructura circular, pero la estructura abierta se prefiere generalmente. En la estructura nucleotídica, los grupos fosfato se considera que forman el esqueleto internucleosídico del oligonucleótido. La unión normal en el esqueleto de ARN o de ADN es una unión fosfodiéster 3'-5'. Los ejemplos específicos de compuestos antisentido utilizables en esta invención incluyen los oligonucleótidos que contienen un armazón modificado o uniones internucleosídicas no naturales. Así, los oligonucleótidos con armazón modificado comprenden los que conservan un átomo de fosfato en su esqueleto y los que están desprovistos de él. Para las necesidades de la presente invención, los oligonucleótidos modificados que no poseen átomo de fosfato en su unión internucleosídica pueden a pesar de todo considerarse como oligonucleótidos. El armazón de estos oligonucleótidos modificados puede comprender por ejemplo grupos fosforotioatos, fosforotioatos quirales, fosforoditioatos, fosfotriésteres, aminoalquilfosfotriésteres, metil y otros alquil fosfonatos incluidos los 3'-alquilen fosfonatos, 5'-alquilen fosfonatos y fosfonatos quirales, grupos fosfinatos, 3'-amino fosforamidato aminoalquilfosforamidatos. fosforamidatos incluidos У tionofosforamidatos. tionoalquilfosfonatos, tionoalquilfosfotriésteres, selenofosfatos y borofosfatos que forman uniones normales, 3'-5', y sus análogos que forman uniones 2'-5', así como los que presentan una polaridad invertida, es decir que comprenden al menos una unión internucleosídica de tipo 3'-3', 5'-5' ó 2'-2'. La forma de oligonucleótidos que poseen una polaridad invertida utilizada preferentemente es la que posee la primera unión internucleosídica en 3' es de tipo 3'-3'. Ésta corresponde a un único residuo nucleosídico invertido, que por otra parte puede ser abásico, es decir en el que la base nitrogenada heterocíclica está ausente o se ha reemplazado por un grupo hidroxilo. Las diversas formas (salinas o ácido libre) se incluyen en el campo de esta invención.

El armazón de los oligonucleótidos modificados desprovistos de átomo de fósforo está formado preferentemente por cadenas cortas alquilos o cicloalquilos, incluidos sus derivados que contienen uno o varios heteroátomos, que sirven de unión internucleosídica. Este tipo de armazón puede ser a base de unión morfolino (constituida en parte por el azúcar del nucleósido), de siloxano, de formacetilo y tioformacetilo, de metilen formacetilo y metilen tioformacetilo,

de riboacetilo, de alquenos, de sulfamatos, de sulfonato y sulfonamida, de metilen imina y metilen hidrazina, de amida, y de cualquier otro grupo que contiene diversos átomos de nitrógeno, de azufre y de oxígeno o grupos metilo.

Para otros análogos de oligonucleótidos, el azúcar y la unión internucleosídica (es decir, el armazón) se reemplazan a la vez en la estructura nucleotídica por nuevos grupos. La base nitrogenada heterocíclica se conserva para asegurar la hibridación con el ácido nucleico diana. Dichos compuestos oligómeros, los PNA (por Peptide Nucleic Acid, Ácido Nucleico Peptídico), han mostrado una excelente capacidad de hibridación. En estos compuestos, el esqueleto del oligonucleótido se reemplaza por un armazón a base de amida, en particular por aminoetil glicina, injertada directamente o indirectamente sobre las bases nitrogenadas. Además una amplia información sobre estos PNA pueden encontrarse en Nielsen et al., Science, 1991, 254, 1497.

- La invención incorpora más particularmente oligonucleótidos con armazón fosforotioato, amida y morfolina, y oligonucleótidos con esqueleto con heteroátomos, más precisamente:
 - -CH2-NH-O-CH2-

5

- -CH2-N(CH3)-O-CH2- (denominado esqueleto metilen-(metilimino) o MMI)
- -CH2-O-N(CH3)-CH2-
- 15 -CH2-N(CH3)-N(CH3)-CH2-
 - -O-N(CH3)-CH2-CH2- (en el que el puente fosfodiéster es: O-P-O-CH2).

La modificación de los oligonucleótidos puede afectar igualmente a los azúcares: las sustituciones preferidas son en posición 2' (F; derivados O-, N- o S-alcanos, O-, N- o S-alquenos o O-, N- o S-alquinos de longitud C1 a C11, sustituidos o no) en particular, los derivados preferidos son:

20 O-[(CH2)nO]m-CH3

O-(CH2)n-O-CH3

O-(CH2)n-NH2

O-(CH2)n-CH3

30

O-(CH2)n-O-NH2

25 O-(CH2)n-O-N[(CH2)n-CH3]2

en los que n y m varían de 1 a 10.

Otras modificaciones de la posición 2' incluyen los grupos siguientes: cadenas alifáticas sustituidas o no de longitud C1 a C10, arilos, arilos-alquilos y alquilos-arilos; -SH, -SCH3, -OCN, -CI, -Br, -CN, -CF3, -OCF3, -SO2CH3, - ONO2, -NO2, -N3, -NH2; sililos sustituidos; grupo "informador"; grupo intercalante; grupos de escisión del ARN; grupo para mejorar las capacidades farmacodinámicas de un oligonucleótido. Las modificaciones preferidas incluyen los grupos:

2'-metoxietoxi (2'-O-CH2CH2OCH3, igualmente llamado 2'-O-(2-metoxietilo) ó 2'-MOE) (Martin et al., Helv. Chim. Acta, 1995, 78f 486-504) 2'-dimetilaminooxietoxi (O(CH2)2ON(CH3)2, igualmente llamado 2'-DMAOE

2'-dimetilaminoetoxietoxi (2'-O-CH2OCH2-N(CH2)2, igualmente llamado 2'-dimetilaminoetoxietilo ó 2'-DMAEOE).

Otra modificación interesante da lugar a la formación de LNA (Locked Nucleic Acids, Ácidos Nucleicos Bloqueados) en los que el hidroxilo en posición 2' está unido al carbono en posición 3' ó 4' del azúcar, formando un azúcar con estructura bicíclica. El puente preferido se hace por un enlace metilo o etilo entre el oxígeno 2' y el carbono en 4'.

Otras sustituciones preferidas en posición 2' incluyen:

- -O-CH3 (2'-metoxi)
- -O-(CH2)3-NH2 (2'-aminopropoxi)
- 40 -CH2-CH=CH2 (2'-alilo)
 - -O-CH2-CH=CH2 (2'-O-alilo)
 - -F (2' flúor).

Estas modificaciones en 2' pueden presentarse en posición ribo (abajo) o arabino (arriba). El sustituyente 2' flúor es el preferido en posición arabino.

Pueden hacerse modificaciones similares sobre otras posiciones, en particular en posición 3' del azúcar del nucleótido en el extremo 3'-terminal o en los oligonucleótidos con armazón 2'-5', y en posición 5' del azúcar en el extremo 5'-terminal. Los azúcares de los oligonucleótidos pueden ser reemplazados igualmente por análogos (por ejemplo un ciclobutilo puede sustituirse por un pentofuranilo).

Los oligonucleótidos también pueden contener modificaciones o sustituciones a nivel de las nucleobases (bases heterocíclicas nitrogenadas llamadas "bases" por el experto en la técnica). Las bases naturales (no modificadas) son las purinas (adenina A y guanina G) y las pirimidinas (citosina C, timina T y uracilo U). Entre las bases modificadas se incluyen moléculas naturales o sintéticas tales como 5-metilcitosina, 5-hidroximetilcitosina, xantina, hipoxantina, 2-aminoadenina; 6-metilo, 2-metilo y otros derivados alquilados de las bases púricas (A y G); derivado 2-tio (C, T y U); derivado 5-halo (U, C); derivado 5-propinil (U y C) citosina; derivado 6-azo (U, T y C); 5-uracilo; 4-tiouracilo; 8-halo, 8- amino, 8-tiol, 8-tioalquilo, 8-hidroxilo otras adeninas y guaninas sustituidas en posición 8; 5-halo (en particular 5-bromo), 5- trifluorometilo y otros uracilos y citosinas sustituidas en posición 5; 7-metilguanina y 7-metiladenina; 2-fluoroadenina; 2-amino-adenina; 8-azaguanina y 8-azaadenina; 7-deazaguanina y 7-deazaadenina; 3-deazaguanina y 3-deazaadenina. En las demás bases modificadas, se encuentran las pirimidinas tricíclicas tales como fenoxazina citidina(IH-pirimido[5,4-b][1,4]benzoxazin-2(3H)- ona), fenotiazina citidina (1H-pirimido[5,4-b][1,4]benzoxazin-2(3H)-ona), carbazol citidina (2H-pirimido[4,5-b]-indol-'2-ona).

Las bases modificadas comprenden los compuestos cuyo heterociclo púrico o pirimidínico se ha reemplazado por otro heterociclo por ejemplo 7-deazaadenina, 7-deazaguanosina, 2-aminopiridina ó 2-piridona (The Concise Encyclopedia Of Polymer Science And Engineering, páginas 858-859" Kroschwitz, J.I., ed. John Wiley & Sons, 1990; Englisch et al., Angewandte Chemie, Edición Internacional, 1991, 30, 613; Sanghvi, Y.S., Capítulo 15, Antisense Research and Applications, páginas 289-302, Crooke, S.T. y Lebleu, B., ed., CRC Press, 1993). Algunas de estas bases modificadas pueden tener un gran interés para aumentar la afinidad de los compuestos oligoméricos de la invención, como las pirimidinas sustituidas en posición 5, las azapirimidinas, las purinas N- y O- sustituidas (tales como la 2-aminopropiladenina, el 5-propinil uracilo, la 5-propinil citosina). Las 5-metilcitosinas sustituidas tienen un efecto positivo en la estabilidad de los dúplex oligómeros-ácidos nucleicos (Sanghvif Y.S.f Crookef S.T, y Lebleu, B.,r eds.f Antisense Research and Applications, CRC Press, Boca Raton, 1993, p. 276-278) y son la sustitución preferida, en particular en combinación con las modificaciones 2'-metoxietilo de los azúcares.

Preferentemente, estos oligonucleótidos están en la forma monocatenaria.

20

25

35

40

45

50

55

30 Según un modo de aplicación particularmente ventajoso estos oligonucleótidos comprenden una secuencia que presenta una identidad de al menos 90 %, con la secuencia SEQ ID N°2, en la que los nucleótidos en posiciones 2, 4, 6, 7, 9, 11, 13, 15, 17, 19 y 20, en el sentido 5' hacia 3', están tioesterificados.

Según un modo de aplicación particularmente ventajoso estos oligonucleótidos comprenden una secuencia que presenta una identidad de al menos 90 %, con la secuencia SEQ ID N°2, en la que los nucleótidos en posiciones 1, 2, 3, 4, 5, 16, 17, 18, 19 y/o 20, en el sentido 5' hacia 3', están 2' O-metilados.

Preferentemente, los oligonucleótidos según la presente invención son ADN.

La presente invención tiene también por objeto los oligonucleótidos de tipo ARNi (Ácido Ribonucleico de Interferencia) que comprenden de 15 a 60 nucleótidos, caracterizados porque hibridan de manera específica con la secuencia SEQ ID N° 21 e inhiben la expresión de OB-RGRP, y caracterizados porque son ARN bicatenarios en los que al menos una de las dos cadenas comprende una secuencia que presenta una identidad de al menos 90 %, con una de las secuencias SEQ ID N°37 o SEQ ID N°38.

La presente invención tiene igualmente por objeto los oligonucleótidos de tipo ARNi que comprenden de 15 a 60 nucleótidos que hibridan de manera específica con la secuencia SEQ ID NO: 21 e inhiben la expresión de OB-RGRP, caracterizados porque están en forma monocatenaria y porque comprenden una secuencia que presenta una identidad de al menos 90%, con la secuencia SEQ ID N°42.

Preferentemente, dichos ARNi comprenden 17 ó 19 nucleótidos tomados en continuo en la secuencia SEQ ID NO : 21, o en su secuencia complementaria.

Los nucleótidos A(A/G) y (C/T)T pueden añadirse respectivamente en 5' y en 3' de esta secuencia de 17 ó 19 nucleótidos. Otros tipos de residuos o grupos químicos pueden añadirse si embargo a estos dos extremos, sin que disminuyan la actividad de los antisentido.

Las modificaciones de nucleótidos descritas para los antisentidos son también posibles para los que forman parte de la composición de los sARNi.

La presente invención incluye igualmente todas las modificaciones de los antisentidos o de los ARNi, que pretendan aumentar la resistencia de estos compuestos a las nucleasas celulares, o su penetración en las células y/o su eficacia en el direccionamiento hacia la secuencia de OB-RGRP.

Cuando son ADN, los oligonucleótidos según la presente invención pueden realizarse cómodamente y rutinariamente por la técnica muy conocida de la síntesis en fase sólida. El equipo para dicha síntesis se comercializa por diferentes empresas especializadas tales como Applied Biosystems (Foster City, CA). La síntesis de los antisentido en la presente invención recurre a una síntesis química sobre un soporte adaptado según los métodos conocidos por el experto en la técnica, en particular descritos por E. Uhlmann, A. Peyman, A. Ryte, A. Schmidt y E. Buddecke (1999, Methods in Enzymology 313: 268-284) y por E. Uhlmann (Recent advances in the medicinal chemistry of antisense oligonucleotides, Current Opinion of Drug Discovery and Develepment 3: 203-213, 2000). También puede emplearse cualquier otro procedimiento de síntesis conocido por el experto en la técnica.

Cuando son ARNi los oligonucleótidos según la presente invención pueden sintetizarse por síntesis química, cuando se trata de de ARNi sintéticos, expresados in situ mediante vectores que permiten la síntesis de dichos oligonucleótidos u obtenidos por escisión de un ARN bicatenario por la RNAse III o la enzima DICER.

Los ARNis (ARNi small o ARNi pequeños) pueden obtenerse a través de diferentes suministradores como Proligo (Proligo France SAS 1 rue Robert et Sonia Delaunay 75011 París) Dharmacon (Dharmacon, Inc. 1376 Miners Drive #101 Lafayette, CO 80026) y Ambion (Ambion (Europe) Ltd. Ermine Business Park Spitfire Close Huntingdon, Cambridgeshire PE29 6XY Reino Unido), o pueden sintetizarse a partir de kits comercializados por diferentes empresas como Dharmacon y Ambion.

Preferentemente, los ARNi según la presente invención están en forma bicatenaria.

15

20

25

30

35

50

Después de la síntesis los ARNi se recogen en primer lugar en agua desprovista de ARNasas. El emparejamiento de las dos moléculas monocatenarias puede realizarse como sigue: 20 µmoles.L-1 de cada cadena se mezcla en el tampón de emparejamiento (100 mmoles.L-1 de acetato de potasio, 30 mmoles.L-1 de HEPES-KOH pH 7,4, 2 mmoles.L-1 de acetato de magnesio) y se calienta a 90°C durante 1 min seguido de una incubación de 1 h a 37°C.

La transfección de los ARNis puede hacerse por el mismo protocolo que para la transfección de los antisentido.

Una alternativa para el ARNi es la utilización de vectores que permiten la síntesis de ARN antisentido específicos del gen a inactivar y que se va a emparejar en las células transfectadas para proporcionar un ARNis. Un primer sistema de vector permite la expresión de una secuencia antisentido por dos promotores en sentido inverso, a cada lado de esta secuencia, proporcionando la aparición de dos ARN complementarios que van a emparejar en las células transfectadas y proporcionar un ARNis. Otro sistema de vector emplea la síntesis de un ARN que presenta la secuencia del antisentido seguida de la secuencia con sentido, espaciada por algunos nucleótidos, que va a crear una estructura de ARN en horquilla, que va a escindirse en las células transfectadas para proporcionar un ARNis. Otro sistema más de vector emplea la expresión de un ARN bicatenario, con una longitud de hasta 600 pares de bases que no puede salir del núcleo por falta de las secuencias necesarias: sin caperuza en 3' (sitio ribozima), ni cola poli-A en 5' (sitio de fijación de la proteína con dedo de cinc MAZ). Este ARN largo se escinde en el núcleo para proporcionar ARNis funcionales que van a salir al citoplasma y provocar la degradación del ARN diana.

La transfección de estos vectores se efectúa de manera clásica como se ha descrito anteriormente para los diferentes ADN. La obtención de líneas estables que presentan una extinción del gen diana se puede realizar por una selección con antibiótico utilizada clásicamente para la obtención de líneas.

De manera general, el experto en la técnica puede referirse para los ARNI a las publicaciones siguientes: Elbashir S.M. et al. (2001, Nature 411: 494-498), Elbashir S.M. Lendeckel W. y Tuschl T. (2001, Genes & Dev. 15:188-200) et Masters J.R., et al. (2001, Proc. Natl. Acad. Sci. USA 98: 8012-8017).

Los vectores que permiten la expresión de los ARNi pueden obtenerse como describen Brummelkamp T.R., Bernards R., Agami R. (2002. Science 296: 550-553), Yu J.Y., DeRuiter S.L., y Turner D. (2002, Proc. Natl. Acad. Sci. USA 99: 6047-6052) y Shinagawa T. y Ishii S. (2003, Genes & Dev. 17:1340-1345).

Dichos vectores, así como las células que contienen dichos vectores son objetos de la presente solicitud.

Por otra parte, la presente invención divulga medicamentos que contienen dichos oligonucleótidos, vectores y células y composiciones farmacéuticas que contienen una cantidad farmacológicamente activa de dichos oligonucleótidos, vectores y células y excipientes farmacéuticamente aceptables.

La presente invención divulga igualmente la utilización de dichos oligonucleótidos, vectores y células para la fabricación de un medicamento para la prevención y/o el tratamiento de patologías ligadas a la leptina.

Divulga además un procedimiento de tratamiento curativo o preventivo de enfermedades ligadas a la leptina que consiste en administrar dichos oligonucleótidos, vectores y células a un paciente que padece dicha enfermedad.

La invención divulga igualmente un procedimiento de determinación de la modificación de la interacción entre la OB-RGRP o la proteína MYO47, o una proteína que presenta una identidad de al menos 65 % con esta proteína o con la proteína MYO47, y el receptor de la leptina por un compuesto.

Divulga además proteínas de fusión para la aplicación de este procedimiento, así como ácidos nucleicos que codifican estas proteínas.

Divulga además un procedimiento de tratamiento curativo o preventivo de enfermedades ligadas a la leptina que consiste en administrar un ligando seleccionado por el procedimiento definido anteriormente a un paciente que padece dicha enfermedad.

5

20

30

35

45

Se divulga igualmente una proteína de fusión caracterizada porque está compuesta por una secuencia que presenta una identidad de al menos 65 % con la secuencia SEQ ID N°4, o la secuencia SEQ ID N°16, o una parte sustancial de la secuencia SEQ ID N°16, y por una proteína donadora de energía o aceptora de energía, o por una parte sustancial y activa de una proteína donadora de energía o aceptora de energía.

Dichas proteínas de fusión están compuestas en sustancia por una parte correspondiente a una parte o la totalidad de una secuencia que presenta una identidad de al menos 65% preferentemente de al menos 75% y aún más preferentemente de al menos 85% ó 95%, con secuencia SEQ ID N°4, o la secuencia SEQ ID N°16, o una parte sustancial de la secuencia SEQ ID N°4 o de la secuencia SEQ ID N°16, y por una parte correspondiente a una proteína donadora o aceptora de energía. Pueden sin embargo comprender otras secuencias de aminoácidos, obtenidas de otras proteínas, tales como secuencias señal.

De manera ventajosa, la proteína donadora de energía es la luciferasa de Renilla (Rluc). Puede sin embargo ser cualquier otra proteína donadora de energía tal que el espectro de emisión del donador se solape suficientemente con el espectro de excitación del aceptor para permitir una transferencia de energía eficaz entre los dos compañeros. Puede ser así la GFP, si la transferencia de energía es el FRET, o también la aequorina si la transferencia de energía es el CRET. La aequorina puede obtenerse y utilizarse como se describe en la solicitud de patente EP0 187 519, o en el artículo de Inouye et al. (PNAS USA 82 : 3154-3158 (1985)).

La proteína fluorescente aceptora de energía es en cuanto a ella preferentemente la DsRed, la GFP o un mutante de esta proteína, tal como YFP, EYFP, GFP salvaje, GFPS65T, Topaz, o GFP₁₀.

Puede sin embargo ser cualquier otra proteína fluorescente aceptora de energía tal que el espectro de excitación del aceptor y el espectro de emisión del donador se solapen suficientemente para permitir una transferencia de energía eficaz entre los dos compañeros.

Estas proteínas son conocidas por el experto en la técnica que puede encontrar sus secuencias en la bibliografía, principalmente en la revisión de Blinks et al. (Pharmacol. Rev. 28 : 1-93 (1976)). En particular la GFP se describe por Tsien (Annu. Rev. Biochem. 67 : 509-544 (1998)) y su clonación por Prasher et al. (Gene 111 : 229-233 (1992)). La clonación de la DsRed se describe en cuanto a ella por Matz et al. (Nat. Biotechnol. 17: 969-973 (1999)). Para Rluc, el experto en la técnica puede referirse a Blinks et al. (Pharmacol. Rev. 28 : 1-93 (1976)) o también a Lorenz et al. (PNAS 88: 4438-4442 (1991)).

De manera particularmente ventajosa, las proteínas de fusión donadora y aceptora presentan una de las secuencias SEQID N°6, SEQID N°8, SEQID N°12, SEQ ID N°14, SEQID N°18 o SEQID N°20 o una variante de esta secuencia que presenta una identidad de al menos 65%.

La presente invención divulga también ácidos nucleicos que codifican estas proteínas. Dichos ácidos nucleicos pueden ser ADN complementarios o genómicos, o ARN. Estos ácidos nucleicos o polinucleótidos pueden estar en forma monocatenaria o en la forma de dúplex.

Son de manera particularmente ventajosa ADN complementarios. De manera preferente, dicho ácido nucleico tiene una identidad de al menos 65 %, preferentemente de al menos 75 %, y aún más preferentemente de al menos 85 % ó 95 %, de identidad de nucleótidos con un ácido nucleico de secuencia SEQ ID N°5, SEQ ID N°7, SEQ ID N°11, SEQ ID N°13, SEQ ID N°17 o SEQ ID N°19.

La invención también divulga un ácido nucleico que hibrida, en condiciones de hibridación de alta astringencia, con un ácido nucleico tal como se ha definido anteriormente, y más particularmente un ácido nucleico de secuencias nucleotídicas SEQ ID N°5, SEQ ID N°7, SEQ ID N°11, SEQ ID N°13, SEQ ID N°17 o SEQ ID N°19, o un ácido nucleico de secuencia complementaria.

El "porcentaje de identidad" entre dos secuencias de nucleótidos o aminoácidos, en el sentido de la presente invención, se puede determinar comparando dos secuencias alineadas de forma óptima a través de una ventana de comparación.

La parte de la secuencia nucleotídica o polipéptido en la ventana de comparación puede comprender por lo tanto adiciones o deleciones (por ejemplo "huecos") respecto a la secuencia de referencia (que no comprende estas adiciones ni estas deleciones) de forma que se obtenga un alineamiento óptimo de las dos secuencias.

El porcentaje se calcula determinando el número de posiciones en las que una base nucleica o un residuo de aminoácido idéntico se observa para las dos secuencias (nucleica o peptídica) comparadas, dividiendo después el

número de posiciones en las que hay identidad entre las dos bases o residuos de aminoácidos por el número total de posiciones en la ventana de comparación y a continuación multiplicando el resultado por 100 con el fin de obtener el porcentaje de identidad de secuencia.

El alineamiento óptimo de las secuencias para la comparación se puede realizar de forma informática mediante algoritmos conocidos contenidos en el paquete informático de la Empresa WISCONSIN GENETICS SOFTWARE PACKAGE, GENETICS COMPUTER GROUP (GCG), 575 Science Doctor, Madison, WISCONSIN. A título de ilustración, el porcentaje de identidad de secuencia podrá efectuarse mediante el programa informático BLAST (versiones BLAST 1.4.9 de marzo 1996, BLAST 2.0.4 de febrero 1998 y BLAST 2.0.6 de septiembre 1998), utilizando exclusivamente los parámetros por defecto (S. F Altschul et al, J. Mol. Biol. 1990 215 : 403-410, S. F Altschul et al, Nucleic Acids Res. 1997 25 : 3389-3402). Blast busca las secuencias similares/homólogas a una secuencia « requerida » de referencia, mediante el algoritmo de Altschul et al. La secuencia requerida y las bases de datos utilizadas pueden ser peptídicas o nucleicas, siendo posible cualquier combinación.

Por "condiciones de hibridación de alta astringencia" en el sentido de la presente invención, se entenderán las condiciones siguientes:

15 1- Competición de membranas y PRE HIBRIDACIÓN:

- Mezclar: 40 µl de ADN de esperma de salmón (10mg/ml) + 40 µl de ADN de placenta humana (10mg/ml)
- Desnaturalizar 5 min a 96°C y sumergir la mezcla en hielo.
- Extraer el SSC 2X y verter 4 ml de mezcla de formamida en el tubo de hibridación que contiene las membranas.
- Añadir la mezcla de los dos ADNs desnaturalizados.
- 20 Incubación a 42°C durante 5 a 6 horas, con rotación.

2- Competición de la sonda marcada:

- Añadir a la sonda marcada y purificada de 10 a 50 μl de ADN Cot I, según la cantidad de repeticiones.
- Desnaturalizar 7 a 10 mn a 95°C.
- Incubar a 65°C durante 2 a 5 horas.

25 3- Hibridación:

- Extraer la mezcla de pre-hibridación.
- Mezclar 40 μl de ADN de esperma de salmón + 40 μl de ADN de placenta humana; desnaturalizar 5 mn a 96°C y sumergir en hielo.
- Añadir en el tubo de hibridación 4 ml de mezcla de formamida, la mezcla de los dos ADN y la sonda
 marcada/ADN Cot l desnaturalizado.
 - Incubar de 15 a 20 horas a 42°C, con rotación.

4- Lavados:

- Un lavado a temperatura ambiente en SSC 2X, para aclarar.
- 2 veces 5 minutos a temperatura ambiente SSC 2X y SDS 0,1% a 65°C.
- 35 2 veces 15 minutos a 65°C SSC 1X y SDS 0,1% a 65°C.

Cubrir las membranas con Saran y exponer.

Las condiciones de hibridación descritas anteriormente están adaptadas a la hibridación en condiciones de alta astringencia de una molécula de ácido nucleico de una longitud variable de 20 nucleótidos a varios cientos de nucleótidos.

40 No hace falta decir que las condiciones de hibridación descritas anteriormente pueden adaptarse en función de la longitud del ácido nucleico cuya hibridación se pretende realizar o del tipo de marcaje elegido, según las técnicas conocidas por los expertos en la técnica.

Las condiciones convenientes de hibridación pueden adaptarse por ejemplo según la enseñanza contenida en el trabajo de HAMES y HIGGINS (1985, "Nucleic acid hybridiation ; a practical approach", Hames and Higgins Ed., IRL Press, Oxford) o también en el trabajo de F.AUSUBEL et al (1989, Current Protocols in Molecular Biology, Green Publishing Associates and Wiley Interscience, N.Y).

Las proteínas divulgadas en la presente invención pueden obtenerse por cualquier medio conocido por el experto en la técnica. Sin embargo, se obtienen ventajosamente por expresión de los ácidos nucleicos tales como los descritos anteriormente, que codifican estas proteínas, opcionalmente insertados en vectores de expresión, en células elegidas ventajosamente, seguido opcionalmente de una extracción y una purificación que puede ser total o parcial.

La invención divulga igualmente un vector recombinante que comprende un ácido nucleico descrito anteriormente.

- 10 Ventajosamente, dicho vector recombinante comprenderá un ácido nucleico elegido entre los ácidos nucleicos siguientes:
 - a) un ácido nucleico que codifica una proteína que tiene al menos 65 % de identidad en aminoácidos con una secuencia SEQ ID N°6, SEQ ID N°8, SEQ ID N°18 o SEQ ID N°20 o un fragmento peptídico o una variante de esta última;
- b) un ácido nucleico que comprende un polinucleótido que tiene una secuencia SEQ ID N°5, SEQ ID N°7, SEQ ID N°17 o SEQ ID N°19, o un fragmento o una variante de esta última;
 - c) un ácido que tiene al menos 65 % de identidad en nucleótidos con un ácido nucleico que tiene una secuencia SEQ ID N°5, SEQ ID N°7, SEQ ID N°17 o SEQ ID N°19 o un fragmento o una variante de este último;
- d) un ácido nucleico que hibrida, en condiciones de hibridación de alta astringencia, con un ácido nucleico de 20 secuencias SEQ ID N°5, SEQ ID N°7, SEQ ID N°17 o SEQ ID N°19 o un fragmento o una variante de este último.

Por « vector » en el sentido de la presente invención se entenderá una molécula de ADN o de ARN circular o lineal que está indistintamente en forma monocatenaria o bicatenaria.

El vector de expresión puede comprender además de un ácido nucleico según la invención, secuencias reguladoras que permiten dirigir la transcripción y/o la traducción.

- 25 Dicho vector recombinante comprenderá principalmente los elementos siguientes:
 - (1) elementos de regulación de la expresión del ácido nucleico a insertar, tales como promotores y amplificadores;
 - (2) la secuencia codificadora comprendida en el ácido nucleico según la invención a insertar en dicho vector, estando situada dicha secuencia codificadora en fase con las señales de regulación descritas en (1); y
 - (3) secuencias de inicio y de parada de la transcripción apropiadas.

40

Además, los vectores recombinantes podrán incluir uno o varios orígenes de replicación en los huéspedes celulares en los que se busca su amplificación o su expresión, marcadores o marcadores de selección.

A título de ejemplos, los promotores para células eucariotas comprenderán el promotor de la timidina quinasa del virus HSV o también el promotor de la metalotioneína-L de ratón.

De manera general, para la elección de un promotor adaptado, el experto en la técnica podrá referirse ventajosamente al trabajo de SAMBROOK et al. (1989, "Molecular Cloning: A Laboratory Manual," 2a ed., Cold Spring Harbor Laboratory Press, Cold Spring Harbor, NY.) o también a las técnicas descritas por FULLER et al. (1996, Immunology in Current Protocols in Molecular Biology, Ausubel et al).

Los vectores preferidos son los plásmidos, tales como por ejemplo los vectores pcDNA3 (Invitrogen), pQE70, pQE60, pQE9 (Qiagen), psiX174, pBluescript SA, pNH8A, pNH16A, pNH18A, pNH46A, pWLNEO, pSV2CAT, pOG44, pXTI, pSG(Stragene).

Puede tratarse igualmente de vectores de tipo *baculovirus* tal como el vector pVL1392/1393 (Pharmingen) utilizado para transfectar las células de la línea Sf9 (ATCC N°CRL 1711) derivadas de *Spodoptera frugiperda*.

También puede tratarse de vectores adenovirales tales como el adenovirus humano de tipo 2 ó 5.

Un vector recombinante puede ser también un vector retroviral o también un vector adeno-asociado (AAV). Dichos vectores adeno-asociados se describen por ejemplo por FLOTTE et al. (1992, Am. J, Respir. Ce/l Mol. Biol., 7 : 349-356

La presente invención divulga además células que comprenden una proteína, un ácido nucleico o un vector tales como se han descrito anteriormente o fragmentos de estas células, lisados de estas células o también membranas de estas células.

Dichas células pueden ser células aisladas de un organismo y cultivadas en un medio de crecimiento adecuado. Sin embargo, son preferentemente líneas celulares. Así, dichas líneas son de manera particularmente ventajosa las líneas celulares HEK 293, COS (ATCC N°CRL 1650), COS-M6 y HeLa (ATCC N°CCL2), o también Cv 1 (ATCC N°CCL70), Sf-9 (ATCC N°CRL 1711), CHO (ATCC N°CCL-61) o 3T3 (ATCC N°CRL-6361).

5 Las membranas de estas células pueden prepararse por cualquier método conocido por el experto en la técnica.

Preferentemente, se prepararán por trituración mecánica de las células y centrifugación de las suspensiones obtenidas, como se ilustra en los ejemplos siguientes.

La presente invención divulga además composiciones que comprenden células tales como las descritas anteriormente y saponina.

- La presente invención divulga además un procedimiento de determinación de la modificación de la interacción entre la OB-RGRP, la proteína MY047, o una proteína que presenta una identidad de al menos 65 % con la secuencia SEQ ID N°4 o la secuencia SEQ ID N°16, y el receptor de la leptina por un compuesto que comprende las etapas que consisten en:
- poner en contacto dicho compuesto con una proteína que presenta una identidad de al menos 65 % con la secuencia SEQ ID N°4 o la secuencia SEQ ID N°16, y el receptor de la leptina, o células, o fragmentos, o lisados, o membranas de células que comprenden dichas proteínas, y opcionalmente un sustrato enzimático adecuado, y
 - medir la interacción entre una proteína que presenta una identidad de al menos 65% con la secuencia SEQ ID
 N°4 o la secuencia SEQ ID N°16, y el receptor de la leptina.
- De manera preferente, dicho compuesto se pone en contacto con una proteína de fusión donadora de energía, y una proteína de fusión aceptora de energía, o células, o fragmentos, o lisados, o membranas de células que comprenden dicha proteína, y opcionalmente un sustrato enzimático adecuado

Preferentemente, dicho procedimiento se aplica con células tratadas con un agente que permeabiliza las células tal como la saponina.

Las proteínas de fusión donadoras de energía y las proteínas de fusión aceptoras de energía se eligen de manera que la energía resultante de la activación del donador pueda transferirse de manera eficaz al aceptor.

En un modo de aplicación ventajoso de dicho procedimiento, la proteína de fusión donadora de energía es una proteína de fusión con la luciferasa o una parte sustancial de la luciferasa, en cuyo caso el sustrato es ventajosamente la coelenterazina.

En un modo de aplicación preferente de dicho procedimiento, la proteína de fusión aceptora de energía es una proteína de fusión con la YFP o una parte sustancial de la YFP.

30

35

40

50

En un modo de aplicación ventajoso de dicho procedimiento, la transferencia de energía medida en presencia del compuesto a ensayar se compara con la medida en ausencia del compuesto a ensayar.

En otro modo de aplicación ventajoso de dicho procedimiento, la transferencia de energía medida en presencia del compuesto a ensayar y de la leptina (o un ligando del receptor), se compara con la medida en presencia del compuesto en ausencia de leptina (o un ligando del receptor).

Preferentemente, el procedimiento se aplica sobre membranas de células, tales como las descritas anteriormente.

De manera preferente, las proteínas donadora y aceptora descritas anteriormente se eligen con el fin de que la transferencia de energía se haga por BRET (para Bioluminescence Résonance Energy Transfer o transferencia de energía de bioluminiscencia por resonancia) de primera o segunda generación, o LRET (para Luminescence Resonance Energy Transfer o transferencia de energía de luminiscencia por resonancia). Sin embargo, dicha transferencia de energía puede efectuarse por FRET (para Fluorescence Résonance Energy Transfer o transferencia de energía de fluorescencia por resonancia) o también por CRET (para Chemioluminescence Resonance Energy Transfer o transferencia de energía de quimioluminiscencia por resonancia).

Cualquiera que sea el tipo de transferencia de energía las parejas de proteína de fusión donadora/proteína de fusión aceptora de energía se eligen con el fin de permitir dicha transferencia.

El BRET2 (2a generación) consiste en una transferencia de energía entre la luciferasa de *Rénilla*, y una GFP mutante, la GFP₁₀, utilizando un sustrato adecuado, la coelanterazina DeepblueC^{$^{\text{TM}}$} (Biosignal Packard).

El CRET consiste en una transferencia de energía entre la aequorina, que es una luciferasa, y la GFP.

El FRET consiste en una transferencia de energía entre dos proteínas de la familia de las GFP que tienen espectros diferentes.

Para la aplicación de estas transferencias el experto en la técnica puede referirse a Ramsay D et al. (Biochem J 365: 429-40 (2002)) y a Yoshioka K et al. (FEBS Lett 523: 147-151 (2002)) para BRET2, a Baubet et al. (PNAS USA 97: 7260-7265 (2000)) para CRET, a Matyus (J Photochem Photobiol B 12: 323-337 (1992)) y Pollok y Heim (Trends Cell Biol 9:57-60 (1999)) para FRET.

- 5 La presente invención también divulga un procedimiento de cribado o de detección de compuestos destinados a la prevención y/o al tratamiento de patologías ligadas a la leptina que comprende las etapas que consisten en:
 - poner en contacto dicho compuesto con una proteína que presenta una identidad de al menos 65 % con la secuencia SEQ ID N°4 o la secuencia SEQ ID N°16, y el receptor de la leptina, o células, o fragmentos, o lisados, o membranas de células que comprenden dichas proteínas, y opcionalmente un sustrato enzimático adecuado, y
- medir la interacción entre una proteína que presenta una identidad de al menos 65% con la secuencia SEQ ID
 N°4 o la secuencia SEQ ID N°16, y el receptor de la leptina.

Preferentemente, la proteína que presenta una identidad de al menos 65 con la secuencia SEQ ID N°4 o la secuencia SEQ ID N°16 es la OB-RGRP o MY047.

Este procedimiento es compatible con las placas de 96 ó 384 pocillos utilizadas generalmente. No necesita la utilización de moléculas radiactivas, es sensible, reproducible, rápido y el resultado se lee fácilmente. Esta característica es particularmente interesante para la aplicación de cribado a gran escala.

La presente invención divulga además la utilización de compuestos seleccionados por un procedimiento que consiste en:

- poner en contacto dicho compuesto con una proteína que presenta una identidad de al menos 65 % con la secuencia SEQ ID N°4 o la secuencia SEQ ID N°16, y el receptor de la leptina, o células, o fragmentos, o lisados, o membranas de células que comprenden dichas proteínas, y opcionalmente un sustrato enzimático adecuado, y
 - medir la interacción entre una proteína que presenta una identidad de al menos 65% con la secuencia SEQ ID N°4 o la secuencia SEQ ID N°16, y el receptor de la leptina.

Divulga finalmente un procedimiento de tratamiento curativo o preventivo de enfermedades ligadas a la leptina o a su receptor que comprende las etapas de :

selección de dicho compuesto por un procedimiento que consiste en:

20

40

50

- +poner en contacto dicho compuesto con una proteína que presenta una identidad de al menos 65 % con la secuencia SEQ ID N°4 o la secuencia SEQ ID N°16, y el receptor de la leptina, o células, o fragmentos, o lisados, o membranas de células que comprenden dichas proteínas, y opcionalmente un sustrato enzimático adecuado, y
- 30 +medir la interacción entre una proteína que presenta una identidad de al menos 65% con la secuencia SEQ ID N°4 o la secuencia SEQ ID N°16, y el receptor de la leptina.
 - administración de dicho compuesto a un paciente que padece dicha enfermedad.

Las patologías ligadas a la leptina pueden ser enfermedades ligadas a una disminución de la densidad ósea como por ejemplo la osteoporosis o a la inversa las ligadas a una calcificación importante.

35 También pueden ser enfermedades que tienen un efecto sobre el peso, tales como obesidad, diabetes o anorexia.

También pueden ser enfermedades que tienen un efecto sobre la maduración sexual, hematopoyesis, angiogénesis, formación de trombos, regulación de la inmunidad y de la inflamación, desarrollo fetal, cicatrización y cáncer.

Los compuestos de la invención, oligonucleótidos y ARNi, se pueden formular en las composiciones farmacéuticas con vistas a una administración por vía tópica, oral, parenteral, intranasal, intravenosa, intramuscular, subcutánea, intraocular etc. Preferentemente, las composiciones farmacéuticas contienen vehículos farmacéuticamente aceptables para una formulación inyectable. Puede tratarse en particular de disoluciones salinas (fosfato monosódico, disódico, cloruro de sodio, potasio, calcio o magnesio, etc, o mezclas de dichas sales), estériles, isotónicas o composiciones secas, principalmente liofilizadas, que, por adición según el caso de agua esterilizada o de suero fisiológico, permiten la constitución de solutos inyectables.

45 La formulación de composiciones terapéuticas y su administración está en las competencias del experto en la técnica.

La formulación de los compuestos puede incluir diferentes productos conocidos por el experto en la técnica. Preferentemente, a los compuestos se pueden añadir por ejemplo sales, como sodio, potasio, amonio, magnesio, calcio, poliaminas, ácido clorhídrico, bromhídrico, sulfúrico, fosfórico o nítrico. Otras sales son igualmente utilizables, como las que provienen del ácido acético, oxálico, tartárico, succínico, maleico, fumárico, glucónico, cítrico, málico,

ascórbico, benzoico, tánico, palmítico, algínico, poliglutámico, naftalenosulfónico, metanosulfónico, p-toluenosulfónico, naftalenodisulfónico, poligalacturónico. Finalmente, también se pueden utilizar preferentemente sales de cloro, bromo y yodo.

La composición y la formulación para la administración tópica pueden incluir parches transdérmicos, pomadas, lociones, cremas, geles, gotas, supositorios, pulverizadores, líquidos y polvos.

La composición y la formulación para la administración oral pueden incluir polvos, gránulos, micropartículas, nano partículas, suspensiones, disoluciones acuosas o no, cápsulas, cápsulas de gel, sobres, comprimidos o mini comprimidos. Pueden añadirse espesantes, aromas, diluyentes, emulsionantes, agentes de dispersión o ligantes.

La composición y la formulación para la administración parenteral, intratecal o intra ventricular, pueden incluir disoluciones acuosas estériles que también pueden contener tampones, diluyentes y otros aditivos como, pero no limitado a, agentes que aumentan la penetración, productos transportadores y excipientes.

La composición puede formularse y utilizarse como una espuma, emulsión, microemulsión, liposomas catiónicos, sensibles al pH o cargados negativamente y transferomas.

De una forma general, las diferentes formulaciones pueden contener una mezcla de uno o varios agentes, como pero no limitado a, agentes que aumentan la penetración del compuesto (tensioactivos, sales biliares, agentes quelantes, tensioactivos no quelantes), excipientes (ligantes, rellenos, lubricantes, disgregantes, agentes humectantes), transportadores (agua, disoluciones salinas, alcoholes, polietilen glicol, gelatina, lactosa, amilosa, estearato de magnesio, talco, ácido silicílico, parafina viscosa, hidroximetilcelulosa, polivinilpirrolidona). Pueden añadirse otros componentes, como colorantes, aromas, conservantes, antioxidantes, opacificantes, agentes espesantes y estabilizantes.

La dosificación depende de la gravedad y de la sensibilidad del estado de la enfermedad a tratar, con una duración de tratamiento que puede ir de algunos días a algunos meses, o hasta que la cura sea eficaz o se observe una disminución de la enfermedad. La dosificación óptima puede calcularse a partir de medidas de acumulación del agente terapéutico en el cuerpo del paciente. El experto en la técnica puede determinar fácilmente las dosificaciones óptimas, los métodos de dosificación y las tasas de repeticiones de estas dosificaciones. Las dosificaciones óptimas pueden variar en función de la eficacia relativa de cada oligonucleótido o ARNi, y pueden estimarse en general por la medida de las CE50 de las dosis utilizadas in vitro e in vivo en modelos animales. En general, la dosificación está comprendida entre 0,01µg y 100 g por kilo de peso corporal y puede administrarse una vez o más, de forma diaria, quincenal, mensual o anual, o incluso una vez cada 2 a 20 años.

- Las personas competentes pueden determinar fácilmente la tasa de repetición de las dosificaciones tomando como base el tiempo de presencia del compuesto en los fluidos corporales o los tejidos. Después de que un tratamiento ha salido bien, puede ser deseable que el paciente continúe una terapia de mantenimiento para prevenir la reaparición de la enfermedad, para hacer esto el oligonucleótido o ARNi se administran a dosis de mantenimiento que van de 0,01 µg 100 g por kilo de peso corporal, una vez o más al día hasta una vez cada 20 años.
- 35 La administración del antisentido in vivo se ha realizado con éxito por diversos autores, utilizando protocolos de inyección simple del antisentido por vía intravenosa (He et al. (1998) Zhonghua Shi Yan He Lin Chuang Bing Du Xue Za Zhi 12:1-4) o intracerebral (Yoburn et al. (2003) Synapse 47: 109-116, Tischkau et al. (2003) J. Biol. Chem. 278: 718-723). Estos dos últimos años, se han desarrollado sistemas más complejos que permiten el direccionamiento de antisentido en el organismo y se han utilizado con éxito (Morishita et al. (2002) J. Endocrinol. 175: 475-485, Bartsch 40 et al. (2002) Pharm. Res. 19: 676-680), lo que permite en el ratón y la rata, tratar diversos cánceres (Rait et al. (2002) Mol. Med. 8: 475-486, Ochietti et al. (2002) J. Drug. Target 10: 113-121, Eder et al. (2002) Cancer Gene Ther. 9:117-125). La transfección de los antisentido utiliza los mismos procedimientos que para la transfección de los ARNi, dejando prever las mismas aplicaciones in vivo para los ARNi. En esta óptica, podemos imaginar un direccionamiento del antisentido o de los ARNi a nivel del sistema nervioso central, para tratar trastornos cuyo origen 45 es central (obesidad), pero también los obtenidos por una acción periférica de los receptores de la leptina. Más particularmente, puede preverse una acción de los antisentido o de los ARNi a nivel del transporte de la leptina a través de la barrera hemato-encefálica y que implica los OB-R. Por otra parte, las células endoteliales ya se han tomado como diana con éxito con una estrategia antisentido in vivo (Bartsch et al. (2002) Pharm. Res. 19: 676-680).

Figuras:

50 Figura 1

55

5

25

Secuencias de los diferentes ODN antisentido utilizados AS 01 a AS 16.

Figura 2

Alineamiento de las secuencias proteicas de OB-RGRP de diferentes especies y de la secuencia proteica humana de MY047. Los dominios transmembrana potenciales se determinaron por diferentes métodos (HMMTOP, TMHMM, TopPred2, TMpred) y se escriben en negrita.

Figura 3

Topología de OB-RGRP estudiada por BRET, por la utilización de la doble proteína de fusión YFP-OB-RGRP-Luc. Figura 3a: representación esquemática de la topología de OB-RGRP para los modelos 3 y 4TM. Figura 3b: Resultados de los experimentos de BRET utilizando las proteínas indicadas. Los datos se expresan en mBU.

5 Figura 4

10

15

20

25

35

40

Estudio de la oligomerización de OB-RGRP por experimentos de SDS-PAGE e inmunoprecipitaciones. Figura 4a: Las células que expresan las proteínas de fusión indicadas se trataron o no con Ditiobis(succinimidil propionato) (DSP) 2 mmoles.L-1 en PBS (1X pH7,4) para entrecruzar los complejos proteicos. Las proteínas se separaron por SDS-PAGE y las proteínas de fusión con YFP se detectaron por la utilización de un anticuerpo específico anti-YFP. Figura 4b: Las células que expresan la construcción 6Myc-OB-RGRP se solubilizaron con 1 % de digitonina ó 5 % de SDS y el solubilizado se inmunoprecipitó con un anticuerpo anti-myc. Los precipitados se sometieron a una separación por SDS-PAGE y las proteínas etiquetadas con myc se detectaron con un anticuerpo anti-myc.

Figura 5

Identificación de los determinantes moleculares implicados en la oligomerización de OB-RGRP. Las proteínas de fusión con los truncamientos de OB-RGRP se trataron como se ha descrito Fig. 4b. TM, dominio transmembrana.

Figura 6

Estudio de la oligomerización de OB-RGRP en las células HEK vivas por la tecnología de BRET. Figura 6a: Las proteínas de fusión indicadas se co-expresaron en una relación equimolar y se realizaron experimentos de medidas de BRET. Figura 6b: Cantidades constantes del plásmido OB-RGRP-Luc se co-expresaron con cantidades crecientes del plásmido OB-RGRP-YFP y se realizaron medidas de BRET. MT2R-Luc, proteína de fusión del receptor MT2 de la melatonina con la luciferasa.

Figura 7

Interacción de OB-R_s y de OB-RGRP y MY047 estudiadas por BRET. Las proteínas de fusión indicadas se coexpresaron en una relación equimolar y se realizaron medidas de BRET. IR-YFP, proteína de fusión del receptor de la insulina con YFP.

Figura 8

Activación dependiente de la dosis de los genes informadores para STAT3 (Figura 8a) y STAT5 (Figura 8b) en las células HeLa, por OB-R_I en presencia de una sobreexpresión de las construcciones de la proteína OB-RGRP como se indica.

30 Figura 9

Efecto de la sobreexpresión de OB-RGRP sobre la expresión de OB-R en la superficie de las células. Las células HEK 293 transfectadas o no con el vector de expresión de OB-RGRP, y las células COS transfectadas con los vectores de expresión de OB-R $_{\rm i}$ o OB-R $_{\rm s}$ y +/- los vectores de OB-RGRP, se utilizaron para determinar la cantidad de receptores expresada en la superficie y el total expresado en las células por experimentos de unión de 125 l-leptina.

Figura 10

Efecto de diferentes oligodesoxinucleótidos (ODN) antisentido sobre el nivel de mensajeros de OB-RGRP observados por RT-PCR semi-cuantitativa. Figura 10a: determinación de la zona lineal de amplificación de transcritos de OB-RGRP y de la GAPDH, en función del número de ciclos de PCR. Figura 10b: cuantificación de los resultados mostrados en el panel a. Figura 10c: Determinación de los niveles de expresión relativos de los ARNm de OB-RGRP a 26 ciclos de PCR, en las células incubadas con los diferentes ODN antisentido.

Figuras 11

Efecto de diferentes ARN de interferencia sobre el nivel de los mensajeros de OB-RGRP observados por RT-PCR semi-cuantitativa. **Figura 11a**: secuencia SEQ ID N°37 /SEQ ID N°38 del ARNi sintético utilizado (homólogo para el ser humano y el ratón). **Figura 11**b: determinación de los niveles de expresión relativos de los ARNm de OB-RGRP a 26 ciclos de PCR, en las células HELA transfectadas o no con el ARNi sintético. **Figura 11**c: secuencia SEQ ID N°42 del ARNi en horquilla sintetizado a partir del vector PCR3.1-RNAi 14. **Figura 11**d: determinación de los niveles de expresión relativos de los ARNm de OB-RGRP a 26 ciclos de PCR, en las células Ltk transfectadas o no con el vector PCR3.1-RNAi 14.

50

45

Figura 12

Efecto de los ODN antisentido específicos de OB-RGRP sobre la activación de un gen informador STAT3. Las células HeLa se co-transfectaron, en primer lugar con el vector de expresión OB-RI y las construcciones de los genes informadores para STAT3 ó 5, y después con los ODN antisentido indicados. Después 48 horas de estimulación o no con 10 nmoles.L-1 de leptina.

Figura 13

5

10

15

20

25

30

35

40

45

50

55

Efecto de los ODN antisentido específicos de OB-RGRP sobre la expresión en superficie de OB-R. Las células HeLa se transfectaron o no con los plásmidos de expresión de OB-R_I o de OB-R_s antes de una segunda transfección o no con los ODN antisentido indicados. 48 h post-transfección, se determinó la cantidad de OB-R total y la fracción expuesta en la superficie en experimentos de unión con la ¹²⁵I-leptina.

Materiales y Métodos utilizados en los ejemplos

Construcción de los plásmidos.

Leas proteínas de fusión de los OB-R con la YFP y la luciferasa se construyeron por ligación de la YFP y de la luciferasa a la parte C-terminal de los receptores OB-R, por técnicas estándar de biología molecular. La región codificadora de la YFP se obtuvo a partir del vector Cytogem®-Topaze (pGFPtpz-N1) (Packard, Meriden, CT) y se insertó en el sitio EcoRV del vector pcDNA3/CMV (Invitrogen, Groningen, Países bajos) que contiene un policonector modificado. La región codificadora de la luciferasa de *Renilla* se obtuvo a partir del vector pRL-CMV (Promega, Madison, WI) y se insertó en el sitio EcoRV del vector pcDNA3 modificado. Las regiones codificadoras de OB-R_I y de OB-R_S (regalo del Dr. Gainsford, Royal Melbourne Hospital, Victoria, Australia) se insertaron en los dos vectores descritos anteriormente, respectivamente en los sitios EcoR1/BamH1 y Nhe1. Los codones de parada se suprimieron por mutagénesis dirigida y la fase de las proteínas de fusión se ajustó al mismo tiempo.

El vector pcDNA3-OB-RGRP se obtuvo por inserción de la región codificadora de OB-RGRP, obtenida a partir del vector pcDNA3-Di1, en los sitios EcoR1 y Xba1 del vector pcDNA3/CMV (Invitrogen, Groningen, Países bajos). El codón de parada de OB-RGRP se suprimió por mutagénesis dirigida. El vector pcDNA3-OB-RGRP-Luc se obtuvo por digestión del vector pRL-CMV N3 (Promega, Madison, WI) con Sma1 y Hpa1 y por inserción del fragmento, correspondiente a la región codificadora de la luciferasa de *Renilla*, después de la región codificadora de OB-RGRP en el sitio BspE1 lleno del vector pcDNA3-OB-RGRP.

El vector pcDNA3-YFP se obtuvo por sub-clonación de la región codificadora de la YFP a partir del vector pGFPtpz-N1 (Packard, Meriden, CT) insertado en el sitio EcoRV del vector pcDNA3/CMV. El vector pcDNA3-OB-RGRP-YFP se obtuvo por inserción del fragmento BamH1/BspE1 del vector pCDNA3-OB-RGRP no parada en el vector pcDNA3-YFP digerido con las enzimas BamH1 y Age1.

La construcción pcDNA3-GFP-OB-RGRP-Luc se obtuvo por inserción del fragmento OB-RGRP-Luc del vector pcDNA3-OB-RGRP-Rluc cortado con EcoR1, en el sitio EcoR1 del vector pcDNA3-YFP. El codón de parada de la YFP se eliminó por mutagénesis dirigida.

El vector 6Myc-OBR-GRP (4TM) se obtuvo por inserción del fragmento 6myc del vector pCDNA3-RSV-6Myc, en los sitios BamH1 y EcoR1 del vector pCDNA3-OBRGRP. Las diferentes deleciones de OB-RGRP (2 y 3 TM) se obtuvieron por PCR e inserción en el vector pcDNA3 en los sitios EcoR1 y Xba1. La región codificadora de MY047 se obtuvo por RT-PCR sobre los ARNm de origen humano. El fragmento de PCR se digirió con las enzimas de restricción EcoR1/Xba1 y se insertó en el vector pcDNA3-Topaze cortado con las mismas enzimas. El codón de parada de la YFP se eliminó por mutagénesis dirigida para obtener el vector pcDNA3-YFP-MY047. El vector pcDNA3-MY047-YFP se obtuvo por inserción del fragmento de ADN obtenido por PCR sobre el vector pcDNA3-YFP-MY047 y cortado con BamH1, e insertado en el vector pcDNA3-YFP cortado con la misma enzima. La inserción del mismo fragmento en el vector pcDNA3-Rluc cortado con BamH1 ha permitido obtener el vector pcDNA3-MY047-Rluc. Se realizaron dos reacciones de PCR consecutivas para obtener una amplificación del promotor U6 de ratón seguido de la secuencia ARNi en horquilla de secuencia SEQ ID N°42. En la primera reacción, una primera pareja de cebadores: U6 sentido, 5'-CCATCTAGGCCAAGCTTATCCGACGCCGCCATCTC-3' SEQ ID N°41 y la correspondiente a la secuencia sentido de la diana seguido de una secuencia que forma el bucle (SEQ ID N°39). Este producto de PCR se utilizó en una segunda reacción con el mismo cebador con sentido (U6 sentido) y con un segundo cebador correspondiente a la secuencia anti-sentido de la diana precedido de la misma secuencia que forma el bucle (SEQ ID N°40). Los diferentes productos de PCR correspondientes a los diferentes ARNi en horquilla se insertaron en el vector PCR3.1 mediante el kit TA-cloning (INVITROGEN Groningen, Países bajos), para proporcionar los plásmidos PCR3.1-RNAi 14. Todas las construcciones se verificaron por secuenciación.

Cultivo celular y transfección.

Las células HEK 293, COS-7- y HeLa se cultivaron en DMEM suplementado con 10 % (v/v) de SVF, 4,5 g/litro de glucosa, 100 U/ml de penicilina, 0,1 mg/ml de estreptomicina, 1 mmol.L-1 de glutamina (todos de Life Technologies, Gaithersburg, MD). Las transfecciones transitorias se realizaron con el reactivo FuGene 6 (Roche, Basilea, Suiza)

según las instrucciones del suministrador, salvo para las células Ltk. Estas últimas se transfectaron por la técnica de DEAE Dextrano : las células se lavan dos veces con PBS y se añade sobre las células 1 ml de una mezcla de 2µg de ADN, DMEM, Hepes 20 mM, 4,5 g/litro de glucosa y 200µg de DEAE-dextrano. Después de una incubación de 8 horas, el medio se retira y las células se incuban durante 1'30" con 1 ml de DMEM, 4,5 g/litro de glucosa y 10 % DMSO. Las células se lavan finalmente y se incuban con el medio de cultivo.

Preparación de las membranas y solubilización.

Las membranas se prepararon como se ha descrito anteriormente (19), y se resuspendieron en Tris 75 mmoles.L-1 (pH 7,4), MgCl₂ 12,5 mmoles.L-1, y EDTA 5 mmoles.L-1 y se utilizaron inmediatamente en los experimentos de BRET.

10 SDS PAGE y transferencia Western.

Los lisados totales se prepararon por lavado de las células una vez con PBS frío (pH 7,4) y se desnaturalizaron por adición de tampón de depósito (30mmoles.L-1 Tris HCl pH 6,8, 1 % glicerol 5 % SDS, 50 mmoles.L-1 DTT y 0,05 % azul de bromofenol). Los lisados totales o los inmunoprecipitados se incubaron durante 10 minutos a 90°C y se depositaron sobre gel de acrilamida 10 % para una separación por electroforesis (SDS-PAGE). Las proteínas se transfirieron a una membrana de nitrocelulosa y se revelaron con anticuerpos primarios específicos: anti-YFP (8367-1 Living Colors) a 1/200, anti-myc A14 (sc-789 TEBU Peprotech Santa Cruz Biotechnology) a 1/500, y un anticuerpo secundario acoplado a peroxidasa (IgG de cabra anti-conejo; Jackson Immunoresearch Laboratories, Inc., West Baltimore Pike) a 1/10.000. Las bandas inmuno-reactivas se revelaron con un kit ECL (Pharmacia Biotech).

Inmunoprecipitación.

15

30

35

45

50

55

Dos días después de la transfección, las células se lavaron una vez con PBS frío y las proteínas se extrajeron por una incubación durante 15 minutos en tampón de lisis (PBS 1X, Nonidet P40 1 %, Desoxicolato de Sodio 0,5 %, SDS 0,1 %, NaN3 0,02 %, benzamidina 10 mg.L-1 e inhibidores de tripsina 5 mg.L-1). El lisado se centrifugó a 18.000 g durante 15 min y el sobrenadante se incubó durante 3 horas a 4°C con un anticuerpo anti-myc acoplado a bolas de agarosa (*sc-40AC*TEBU preprotech, Santa CRUZ Biotechnology). Los precipitados se lavaron tres veces con tampón de lisis frío y se desnaturalizaron con tampón de depósito para SDS-PAGE.

Experimentos de radiounión.

Los experimentos de radiounión se realizaron como se ha descrito anteriormente (Barr et al. (1999) J Biol Chem, 274, 21416-21424), con ligeras modificaciones. Para determinar la unión de la leptina en superficie, las células cultivadas en placas de 6 pocillos se lavaron dos veces con PBS frío y se incubaron en el tampón de unión (DMEM, 25 mmoles.L-1 Hepes pH 7,4, 1 % BSA) que contiene 100.000 cpm/pocillo de ¹²⁵I-leptina (PerkinElmer life sciences, París, Francia) en presencia o no de 200 nmoles.L-1 de leptina (PeproTech Inc, EEUU) durante 4 h a 4°C. Las células se lavaron dos veces con PBS frío, se lisaron en NaOH 1 N, y la radiactividad se determinó en un contador γ. Para determinar la unión total de la leptina, las células cultivadas en los botes de 10 cm de diámetro se solubilizaron en 1,5 ml de tampón de unión que contiene 0,15% de digitonina durante 2 h a 4°C. Los extractos se centrifugaron 30 min a velocidad máxima y a 4°C. Los sobrenadantes (0,2ml) se incubaron con 100.000 cpm de ¹²⁵I-leptina en presencia o no de 200 nmoles.L-1 de leptina, en un volumen total de 0,25 ml en rotación constante a 4°C durante una noche. Se añadieron 0,5 ml de γ-globulina (1,25 mg/ml) y 0,5 ml de polietilen glicol 6000 (25 % p/v) para precipitar los complejos receptores-ligandos, que se centrifugaron a 17.000 g durante 3 min. El sedimento se lavó una vez con 1ml de polietilen glicol 6000 (12 % p/v) y la radiactividad se determinó en un contador γ.

40 Ensayo de activación de los genes informadores.

Las células HeLa cultivadas en los pocillos de placas de 6 pocillos se co-transfectaron con 500 ng de un plásmido informador que expresa la luciferasa de luciérnaga bajo el control de elementos de respuesta para los factores STAT3 o STAT5, (regalo del Dr. Levy, Universidad de Nueva York, Nueva York, EEUU), 250 pg del vector de expresión pcDNA3-luciferasa de *Renilla* (utilizado como estándar interno entre las muestras) y con 500 ng de los diferentes vectores de expresión de OB-R o el vector solo. 48 h después de la transfección, las células se pusieron sin suero durante una noche en medio Otpimem (Invitrogen, Groningen, Países bajos) que contiene 1 % de BSA, antes de la estimulación o no con 10 nmoles.L-1 de leptina durante 48 h. Las células se lavaron una vez con PBS y se lisaron en tampón de lisis pasiva (Promega Corporation, Madison, WI) durante 15 min a temperatura ambiente. Los lisados totales se centrifugaron durante 2 min a 15.000 g y los sobrenadantes se utilizaron en un ensayo de medida de luciferasa (Dual Luciferase Assay System de Promega Corporation, Madison, WI) utilizando un luminómetro Berthold (Lumat LB 9507). Los resultados se expresan respecto a las actividades de la luciferasa de luciérnaga sobre la luciferasa de *Renilla*.

Medidas de BRET en microplacas.

48 h después de la transfección, las células COS-7, HeLa o HEK 293 que expresan las proteínas de fusión de OB-R se despegaron y se lavaron en PBS. 1-2x10⁵ células se distribuyeron en pocillos de placas optiplate (96 pocillos, Packard Instrument Company, Meriden, CT) en presencia o no de los ligandos y se incubaron a 25°C. De forma

alternativa, hemos procedido de la misma forma con membranas preparadas a partir de las células que expresan las diferentes construcciones. El sustrato, la Coelenterazina h (Molecular Probes, Eugene, OR) se añadió a una concentración final de 5 µmoles.L-1 y las lecturas se realizaron con un lumino/fluorímetro Fusion [™] (Packard Instrument Company, Meriden, CT) que permite la medida de la luminiscencia a través de dos filtros (filtro Luciferasa: 485 ± 10 nm; filtro YFP: 530 ± 12,5 nm). La relación de BRET se definió como la diferencia de emisión a 530 nm/485 nm de las células co-transfectadas con las proteínas de fusión Luc y YFP y la emisión a 530 nm/485 nm de la proteína de fusión Luc transfectada sola en las células. Los resultados se expresan en unidades de miliBRET (mBU), 1 mBRET corresponde a los valores de las diferencias de las relaciones multiplicados por 1.000.

RT-PCR.

25

30

40

45

50

55

10 Los ARN totales se extrajeron por el método de Chomczynski y Sacchi (Chomcynzki P., y Sacchi N. (1987) Anal. Biochem. 162, 156-159). 1 µq de ARN se desnaturaliza durante 5 minutos a 68°C y se enfría brutalmente durante 5 min a 4°C. La muestra desnaturalizada se transcribe de forma inversa durante 1 h a 37°C en 20 µl de medio de reacción RT (5µmoles.L-1 PdN6, 10µmoles.L-1 DTT, 50mmoles.L-1 Tris-HCl pH=8,3, 75mmoles.L-1 KCl, 5mmoles.L-1 MgCl2. 500 umoles.L-1 dNTP, 200U RT-MMLV). Una alicuota de 2.5 ul de esta reacción se utiliza para una reacción de PCR en un volumen final de 25µl (40mmoles.L-1 Tris-HCl pH 8,4; 100 mmoles.L-1 KCl; 1,5 15 mmoles.L-1 MgCl2; 0,2mmoles.L-1 de cada dNTP; 0,141 mmoles. L-1 de cebadores específicos de OB-RGRP (con sentido humano: CCGTGGCAGGAAGC SEQ ID Nº43, con sentido murino: GCAGCGACAGCCCCAGCTCC SEQ ID Nº44 antisentido: CAGCCACACGAGCAAG SEQ ID Nº45), y 0,035mmoles.L-1 de cebadores específicos de la gliceraldehído fosfato deshidrogenasa (GAPDH) (con sentido: GGAGAAGGCTGGGGC SEQ ID Nº46, antisentido: 20 GATGGCATGGACTGTGG SEQ ID N°47) y 2,5U de TAQ ADN polimerasa). El protocolo siguiente se utilizó para la reacción de PCR: Desnaturalización inicial de 3 min a 94°C, y 22 a 30 ciclos de desnaturalización (20 seg a 94°C), hibridación (20 seg a 59°C), elongación (20 seg a 72°C) seguido de una elongación final de 7 min a 72°C.

Una alicuota de la reacción de PCR se depositó en un gel de agarosa al 2% para separar los productos de la reacción por electroforesis. Los tamaños esperados de los fragmentos de la GAPDH y de OBR-GRP son respectivamente 229 pb y 334 pb.

Síntesis de oligonucleótidos

Los oligonucleótidos se sintetizaron en un sintetizador automático de ADN (modelo 8909 "Expedite MOSS" de Applied Biosystems) por química estándar de fosforamiditas y oxidación con yodo. La desmetilación se efectuó con una disolución de 0,2 moles.L-1 de 3H-1,2-benzoditiol-3-ona 1,1-dióxido en acetonitrilo durante 120 s. La liberación del soporte y la desprotección se realizaron en amoniaco concentrado (18 h a 55°C), y los oligonucleótidos se purificaron por precipitación. El producto de desprotección se precipitó con 10 volúmenes de 1-butanol; el sedimento recogido en un volumen de NaCl a 0,3 moles.L-1 se precipitó por la adición de 4 volúmenes de etanol.

El análisis por gel de poliacrilamida al 20 % (en tampón urea 8 moles.L-1 y Tris-borato 454 mmoles.L-1 a pH 7,0) mostró una proporción superior al 80 % de producto de la longitud esperada.

35 Transfección de los OligoDesoxiNucleótidos antisentido y del dúplex de ARN de interferencia sintéticos.

Para la transfección de 300.000 células cultivadas en un pocillo de placa de 6 pocillos, se diluyeron 10 μ L de ODN antisentido a 20 μ moles.L-1 ó 10 μ L del dúplex de ARN de interferencia a 20 μ M en 175 μ L de DMEM. Se incubaron 3 μ L de oligofectamina (Invitrogen, Groningen, Países bajos) y 12 μ L de DMEM en un segundo tubo durante 10 min a temperatura ambiente. La mezcla oligofectamina / DMEM se añade al ODN antisentido diluido, se agita y se incuba 20 min a temperatura ambiente. Durante este tiempo, las células se lavan una vez con PBS, una vez con DMEM, y se recubren con 800 μ l de DMEM. La mezcla ODN / oligofectamina se añade gota a gota sobre las células y se incuba 4h a 37°C antes de añadir 500 μ l de DMEM suplementado con 30 % de suero.

Ejemplo 1: Topología y localización celular de OB-RGRP.

Para estudiar la topología y localización subcelular de OB-RGRP, hemos etiquetado la proteína con la variante amarilla de la Proteína Verde Fluorescente (YFP) en el extremo de su cola C-terminal. La proteína de fusión se expresó en las células HeLa y su localización se determinó por microscopía de fluorescencia.

Los resultados muestran que la proteína de fusión se dirige preferentemente a nivel de las membranas perinucleares y en las vesículas intracelulares. Se observaron resultados similares en las células HEK. No se observó ninguna colocalización con proteínas citoplásmicas y nucleares, lo que confirma la localización de OB-RGRP a nivel de las membranas (no mostrado). La naturaleza exacta del compartimento de membrana se determinó por estudios de colocalización con marcadores específicos de compartimentos subcelulares. Se observó una fuerte co-localización con la cadena invariable de las proteínas de clase II de CMH, un marcador del compartimento endocítico.

El análisis inicial de la topología de OB-RGRP sugirió una organización en 3 dominios transmembrana (TM) Bailleul et al (1997) Nucleic Acids Research 25, 2752-2758). Una organización similar se ha propuesto para MY047 (Huang et al. 2001) Biochimica et Biophysica acta. Gene structure and expression 327-331). Sin embargo, un nuevo análisis del perfil de hidrofobicidad de diferentes secuencias proteicas disponibles para OB-RGRP y MY047 es también

compatible con un modelo de 4 TM (Fig. 2). La topología difiere profundamente entre estos dos modelos. En el modelo de 3 TM, los extremos N- y C-terminales están localizados en cada lado de la membrana, mientras que en el modelo de 4 TM, las dos colas están orientadas al mismo lado de la membrana (Fig. 3a). Para determinar el modelo correcto, hemos utilizado el método de transferencia de energía por resonancia (BRET), que se ha desarrollado recientemente para seguir las interacciones proteína-proteína en las células vivas (Xu et al. (1999) Proc Natl Acad Sci U S A 96, 151-156). En el caso de proximidad física (< 100 Å) entre las dos proteínas que interaccionan, puede tener lugar una transferencia de energía entre la donadora de energía (Luc) y la aceptora de energía (YFP), fusionadas a las dos proteínas de interés. Hemos etiquetado la cola N-terminal de OB-RGRP con YFP, la cola C-terminal con la luciferasa y hemos observado la transferencia de energía por medidas de BRET con esta doble proteína de fusión. El modelo de 3 TM no permite la transferencia porque los dos compañeros de BRET están separados por la bicapa lipídica. El modelo de 4 TM al contrario prevé una fuerte transferencia de energía porque los dos compañeros están localizados en el mismo lado de la membrana. Como se muestra en la figura 3b, se detectó una transferencia de energía muy fuerte para la doble proteína de fusión en las células intactas, lo que indica que OB-RGRP posee 4 TM.

El conjunto de estos resultados sugiere que OB-RGRP es una proteína de membrana con 4 dominios transmembrana, que posee 3 bucles cortos y extremos N- y C-terminales cortos orientados al mismo lado de la membrana. OB-RGRP está localizada mayoritariamente en compartimentos intracelulares.

Ejemplo 2: Oligomerización de OB-RGRP.

5

10

25

30

35

40

45

50

55

La oligomerización es una propiedad común a diferentes proteínas incluidas las proteínas de membrana como los receptores tirosina quinasa, los receptores de las citoquinas y las fosfotirosinas fosfatasa. Se ha mostrado que esta oligomerización juega un papel importante en la función de estas proteínas. Para obtener los elementos en la función de OB-RGRP, hemos querido saber si esta proteína oligomeriza.

OB-RGRP se etiquetó con YFP en su cola C-terminal y se expresó en las células HeLa. Las proteínas se separaron por electroforesis en gel de poliacrilamida en condición desnaturalizante (PAGE-SDS) y se realizaron experimentos de inmunotransferencia con un anticuerpo anti-YFP. La figura. 4a revela varias bandas específicas de OB-RGRP-YFP, correspondientes a las formas monoméricas, diméricas y complejos oligoméricos. Se obtuvieron resultados similares con OB-RGRP etiquetada en N-terminal bien con YFP o un epítopo myc (Fig. 4 a,b). La formación de los oligómeros de OB-RGRP se observó en los extractos celulares totales después de la inmunoprecipitación. La utilización de un agente de entrecruzamiento sobre las células enteras, estabiliza los complejos diméricos, lo que indica que la forma dimérica es la forma predominante de OB-RGRP en las células intactas (Fig. 4a).

De forma sorprendente, OB-RGRP tiene propiedades inesperadas porque los oligómeros son estables en presencia de diferentes agentes desnaturalizantes y/o disociantes como SDS 5 %, Tritón X-100 1 %, Nonidet P40 1 %, digitonina 1 %, DTT 50 mmoles.L $^{-1}$ y β -mercaptoetanol 2 %. Sin embargo, se obtuvieron observaciones similares para otras proteínas de membrana como la glicoforina A y los receptores β 2-adrenérgicos acoplados a proteínas G. Los estudios sobre estas proteínas muestran respectivamente que los restos LIXXGVXXG y LXXXGXXXGXXXL en los dominios transmembrana son esenciales para la formación de los oligómeros. Se han identificado restos similares en las regiones de membrana de OB-RGRP.

Para identificar los determinantes moleculares implicados en la dimerización, hemos realizado construcciones de OB-RGRP que presentan deleciones progresivas de la cola C-terminal (Fig. 5). Una construcción que contiene los dos primeros TM potenciales pierde la capacidad de formar oligómeros. La adición del 3^{er} TM restaura la posibilidad de formar dímeros. Sin embargo, el perfil completo de oligomerización sólo se ha observado en presencia de los 4 TM potenciales.

Los oligómeros de proteínas de membrana pueden ser artefactos inducidos durante la preparación de las muestras (solubilización, desnaturalización etc.). Por esto es importante verificar la oligomerización de las proteínas en células vivas. Las técnicas de transferencia de energía desarrolladas recientemente como BRET permiten seguir dichas interacciones proteínas-proteínas en células vivas. Las proteínas de fusión de OB-RGRP con la luciferasa y YFP se han utilizado para seguir la oligomerización de OB-RGRP en células vivas. La co-expresión de las construcciones OB-RGRP-YFP o YFP-OB-RGRP con la construcción OB-RGRP-Luc induce una transferencia de energía (Fig. 6a). La especificidad de esta interacción se ha mostrado por la ausencia de transferencia de energía durante la co-expresión con dos proteínas de fusión diferentes: la βarrestina2-YFP (Angers et al. (2000) Proc Natl Acad Sci U S A 97, 3684-3689), o el receptor MT2 de la melatonina-Luc (Ayoub et al. (2002) J Biol Chem 277, 21522-21528) . Hemos expresado diferentes relaciones de los compañeros de BRET (Fig. 6b). La señal de BRET aumenta de forma hiperbólica en función de la relación OB-RGRP-YFP / OB-RGRP-Luc, alcanzando una asíntota que corresponde a la saturación de las moléculas donadoras de energía (OB-RGRP-Luc) por las moléculas aceptoras (OB-RGRP-YFP), lo que se espera en el caso de una interacción específica.

Colectivamente, estos resultados muestran que OB-RGRP es una proteína de membrana dimérica que también puede estar implicada en complejos oligoméricos de muy alto peso molecular. El 3er y 4o dominios transmembrana potenciales parecen ser importantes para la formación de los oligómeros.

Ejemplo 3: Interacción entre los OB-R y OB-RGRP y MY047.

10

20

25

40

45

50

55

Hemos utilizado la tecnología BRET para estudiar una posible interacción entre los OB-R y OB-RGRP en células vivas. Se observó una transferencia de energía de forma constitutiva en las células que co-expresan la construcción OB-R_s-Luc y la construcción OB-RGRP-YFP lo que indica una proximidad de los compañeros de interacción (Fig. 7). Los mismos resultados se obtuvieron en las células que co-expresan OB-R_s-Luc y la construcción MYO47-YFP, así como en la orientación inversa : en las células que co-expresan OB-RGRP-Luc y OB-R_s-YFP, o en las células que co-expresan MYO47-Luc y OB-R_s-YFP. La especificidad de estas interacciones se confirmó por la ausencia de transferencia de energía entre OB-R_s-Luc, OB-RGRP-Luc, MYO47-Luc y una construcción del receptor de la insulina etiquetado con YFP (Boute et al. (2001) Mol Pharmacol 60, 640-645), así como en la orientación inversa : por la ausencia de transferencia de energía entre una construcción del receptor de la insulina etiquetado con Luc y las construcciones OB-R_s-YFP, OB-RGRP-YFP y MYO47-YFP. La co-expresión de OB-R_s-Luc y una construcción de OB-RGRP o de MYO47 que presenta la etiqueta YFP en N-terminal no provoca señal significativa, lo que confirma la especificidad de la interacción con OB-RGRP-YFP y MYO47 e indica que el extremo N-terminal de OB-RGRP y MYO47 debe estar implicado en la interacción con OB-R.

No se observó ninguna transferencia de energía significativa en las células que co-expresan las construcciones OB-R_I-Luc y OB-RGRP-YFP o YFP-OB-RGRP.

Esto no es debido a una ausencia de expresión funcional OB-R_i-Luc porque se observó una señal de BRET específica en las células que co-expresan OB-R_i-YFP para seguir la dimerización de los OB-R. La ausencia de BRET entre las proteínas de fusión OB-R_i-Luc y OB-RGRP-YFP no excluye una interacción directa entre estas dos proteínas porque ésta puede explicarse por el hecho de que la distancia entre los dos compañeros de BRET (Luc y YFP) sea más grande que 100 Å, la distancia máxima que permite obtener una transferencia. Éste debe ser el caso porque los extremos N- y C-terminales de OB-RGRP deben estar localizados cerca de la región transmembrana de los OB-R, mientras que el extremo C-terminal de OB-R_i debe apuntar lo más probablemente hacia el citoplasma a causa de su larga cola intracelular de aproximadamente 300 aminoácidos. Habida cuenta que las isoformas corta y larga de los OB-R comparten las mismas regiones trans- y yuxta-membrana y que la interacción de OB-RGRP con OB-R_s está localizada a este nivel, es probable que OB-RGRP interaccione con OB-R_i de de la misma manera que con OB-R_s.

Ejemplo 4: Efecto de la sobreexpresión de OB-RGRP sobre la señalización de los OB-R.

Se co-expresaron construcciones que contienen elementos de respuesta para STAT3- o STAT5-en 5' respecto a un gen informador luciferasa con OB-R_I en ausencia o en presencia de diferentes construcciones de OB-RGRP (Fig. 8). Las dos construcciones se activaron con la leptina de forma dependiente de la dosis con una CE50 de aproximadamente 50 pM. Se obtuvieron resultados similares en las células HEK 293 que expresan de forma estable un gen informador para STAT3. La sobreexpresión de diferentes construcciones de OB-RGRP no tuvo efecto reproducible sobre esta activación lo que indica que OB-RGRP no es un factor limitante.

35 Ejemplo 5: Efecto de la sobreexpresión de OB-RGRP sobre la expresión de los OB-R en la superficie.

En las levaduras knock-out para OB-RGRP (Vps55), el transporte de proteínas está alterado entre el golgi y las vacuolas (Belgareh-Touze et al. (2002) Molecular Biology Of The Cell 13, 1694-1708). Aunque los OB-R se activen únicamente cuando se expresan en la membrana plásmica, una cantidad importante de receptores se acumula en los compartimentos intracelulares (Barr, et al. (1999) J Biol Chem, 274, 21416-21424)(Lundin et al. (2000) Biochimica et Biophysica Acta 1499, 130-138). Es por esto por lo que hemos ensayado los efectos de la sobreexpresión de OB-RGRP sobre la expresión de los OB-R en la superficie de las células.

El reparto de los receptores se estudió por experimentos de unión de ¹²⁵I-leptina. De acuerdo con otros autores (Barr et al. 1999), hemos mostrado que solamente 10 - 20 % de los receptores OB-R_I y OB-R_s se expresan en la superficie de las células COS transfectadas (Fig. 9) y las células HeLa. Esto no es un artefacto debido a la expresión de receptores exógenos porque se obtienen valores similares en las células HEK 293 que expresan receptores endógenos OB-R (Fig. 9). La sobreexpresión de OB-RGRP no ha mostrado modificación de la cantidad total en las células ni el % de receptores expresados en la superficie (Fig. 9).

Ejemplo 6: Caracterización de desoxinucleótidos antisentido específicos de OB-RGRP

OB-RGRP parece tener una expresión ubicua, es por esto por lo que la disminución de la expresión de esta proteína se eligió como estrategia alternativa para estudiar su papel en la función de los OB-R. Catorce antisentido específicos para OB-RGRP (AS 1 a 14; SEQ ID N°22 a SEQ ID N°34 y SEQ ID N°2) y dos antisentido aleatorios (AS 15 y 16; SEQ ID N°35 y SEQ ID N°36) se eligieron (véase la Figura 1), se sintetizaron y se ensayaron para su capacidad de inhibir la expresión de OB-RGRP por experimentos de RT-PCR semi-cuantitativa en las células HeLa que expresan OB-RGRP de forma endógena (Fig. 10). Sólo uno de estos antisentido (AS-14), derivado de la región 3' no traducida del ARNm de OB-RGRP interfiere con la expresión de OB-RGRP. El marcaje de este antisentido con el fluoróforo Cy3 ha permitido mostrar que el conjunto de las células se transfectaba con nuestras condiciones experimentales, durante nuestros diferentes experimentos.

Ejemplo 7: Efecto de los diferentes ARN de interferencia sobre el nivel de los mensajeros de OB-RGRP observados por RT-PCR semi-cuantitativa.

Con el fin de disminuir la expresión de OB-RGRP, una estrategia alternativa ha sido utilizar ARN de interferencia. Para esto, hemos utilizado por una parte una secuencia candidata ARN de interferencia sintética dirigida a la vez contra la secuencia humana y murina (figura 11a); y por otra parte, un vector (PCR3.1-RNAi 14) que expresa un ARN de interferencia en horquilla dirigido contra una secuencia murina de OB-RGRP (figura 11c).

La capacidad de los ARNi para disminuir la expresión de OB-RGRP endógena se ensayó por RT-PCR.

5

15

20

25

30

35

40

45

El ARNi sintético transfectado en las células HELA (de origen humano) provoca una disminución de la expresión de OB-RGRP humana.

10 La transfección del vector PCR3.1-RNAi-14 provoca el mismo efecto en las células L (de origen murino).

Ejemplo 8: Efecto del antisentido específico de OB-RGRP sobre la señalización y la expresión en superficie de los OB-R.

Las células HeLa se co-transfectaron en primer lugar con los vectores de expresión de OB-R_I y el gen informador para STAT3 y después con los antisentido. La leptina provoca un aumento de la activación basal del gen informador para STAT 3 de aproximadamente 1.5 veces en las células control sin antisentido, o con un antisentido control (AS16) (Fig. 12). En las células transfectadas con el antisentido especifico para OB-RGRP (AS-14), la señalización basal y estimulada por la leptina aumenta relativamente respecto a las condiciones control. Esto muestra que la activación de la vía JAK/STAT aumenta en las células que presentan una disminución de la expresión de OB-RGRP. Estas observaciones pueden explicarse por un efecto inhibidor de OB-RGRP sobre la actividad basal y estimulada de los OB-R, y en este caso, OB-RGRP puede considerarse como un regulador de la señalización de los OB-R. Otra alternativa es que OB-RGRP podría regular la expresión de los receptores en superficie limitando el número de OB-R que alcanzan la superficie de las células. Esto está de acuerdo con el hecho de que solamente 10 a 20 % de los receptores expresados alcanzan la superficie celular. En esta hipótesis, la disminución de la expresión de OB-RGRP debería aumentar el número de receptores en la superficie de las células, lo que debería aumentar la señalización por estos receptores. Para ensayar esta hipótesis, hemos cuantificado el número de receptores OB-R_I y OB-R_S expresados en la superficie de las células en presencia (control) y en ausencia (AS-14) de OB-RGRP (Fig. 13). La transfección del antisentido aleatorio no mostró efecto sobre el número de receptores expresados en la superficie de las células, mientras que la del antisentido específico (AS-14) provocó un aumento de 3 veces en el número de los OB-R expresados en la membrana plásmica. Se obtuvieron resultados similares en las células HeLa no transfectadas que expresan receptores endógenos. En estas condiciones experimentales, el número total de receptores, medido por experimentos de unión de ¹²⁵l-leptina, no mostró variaciones significativas.

El conjunto de nuestros resultados es consistente con el papel de OB-RGRP en la levadura, en el transporte de proteínas. El aumento de la expresión en superficie de los OB-R parece implicado en el aumento de la señalización observado. Sin embargo, no podemos excluir totalmente la hipótesis de que OB-RGRP regula directamente la actividad de los OB-R. La aplicación de antisentido específicos dirigidos contra OB-RGRP debería ser útil para aumentar la señalización de los OB-R en los trastornos asociados con la leotina, como la obesidad humana en la que se observa una resistencia a la leptina, caracterizada por una respuesta inadaptada a esta hormona. El aumento de la expresión de los receptores en la superficie de las células y de su señalización debe ser importante para aumentar la respuesta a la leptina en el caso de la obesidad humana, en primer lugar por aumento del transporte de la leptina hacia el cerebro a través de la barrera hemato-encefálica y en segundo lugar por un aumento de la señalización de los OB-R a nivel del hipotálamo. La interacción entre OB-RGRP y OB-Rs permite suponer que la acción de OB-RGRP se hace por esta interacción directa con los receptores y que impedir ésta puede dar lugar a reproducir los efectos del ODN antisentido específico. Proponemos utilizar el ensayo de BRET de las interacciones entre OB-RGRP y OB-R_s, y MYO47 y OB-R_s descrito más arriba, como ensayo de cribado de moléculas que pueden modular esta interacción. Este ensayo podrá realizarse bien sobre células enteras o permeabilizadas, que coexpresan las proteínas de fusión de los compañeros de BRET OB-RGRP y OB-Rs, o MYO47 y OB-Rs, bien sobre fracciones de membrana obtenidas de estas células.

LISTADO DE SECUENCIAS <110> AVENTIS PHARMA S.A. **CNRS INSERM** <120> OB RGRP 5 <130> FRAV2003/0005 <160>47 <170> PatentIn versión 3.1 <210> 1 10 <211>648 <212> ADN <213> Homo sapiens cactttattc tgattacagt gcattgaatt tcttagaact catactatct gtatacatgt 60 gcacatgcgg cattttacta tgaaatttaa tatgctgggt tttttaatac ctttatatat 120 catgttcact ttaagaaaga cttcataagt aggagatgag ttttattctc agcaaataga 180 cctgtcaaat ttagattatg ttactcaaat tatgttactt gtttggctgt tcatgtagtc 240 acggtgctct cagaaaatat attaacgcag tcttgtaggc agctgccacc ttatgcagtg 300 catcgaaacc ttttgcttgg ggatgtgctt ggagaggcag ataacgctga agcaggcctc 360 420 tcatgaccca ggaaggccgg ggtggatccc tctttgtgtt gtagtccatg ctattaaaag tgtggcccac agaccaagag cctcaacatt tcctagagcc ttattagaaa tgcagaatct 480 gaagccccac tctggaccca ggacattttg atgagatcca aaggagttgt atgcacatga 540 600 aagtttgaga agcatcatca tagagaagta aacatcacac ccaacttcct tatctttcca 648 gtggctaaac cacttaacct ctctgggtgt tacctgctca tttgttta 15 <210> 2 <211> 20 <212> ADN <213> Secuencia Artificial <220> 20 <223> AS14 <220> <221> característica misc <223>antisentido AS14 <400> 2 25 aatgccgcat gtgcacatgt 20 <210>3 <211>396 <212> ADN <213> Homo sapiens 30 <220> <221> CDS <222> (1)..(396) <223>

<400>3

atg gcg ggc gtt aaa gct ctc gtg gca tta tcc ttc agt ggg gct att Met Ala Gly Val Lys Ala Leu Val Ala Leu Ser Phe Ser Gly Ala Ile 1 5 10 15	
gga ctg act ttt ctt atg ctg gga tgt gcc tta gag gat tat ggc gtt 96 Gly Leu Thr Phe Leu Met Leu Gly Cys Ala Leu Glu Asp Tyr Gly Val 20 25 30	
tac tgg ccc tta ttc gtc ctg att ttc cac gcc atc tcc ccc atc ccc Tyr Trp Pro Leu Phe Val Leu Ile Phe His Ala Ile Ser Pro Ile Pro 35 40 45	
cat ttc att gcc aaa aga gtc acc tat gac tca gat gca acc agt agt His Phe Ile Ala Lys Arg Val Thr Tyr Asp Ser Asp Ala Thr Ser Ser 50 55 60	
gcc tgt cgg gaa ctg gca tat ttc ttc act act gga att gtt gtt tct Ala Cys Arg Glu Leu Ala Tyr Phe Phe Thr Thr Gly Ile Val Val Ser 65 70 75 80	
gcc ttt gga ttt cct gtt att ctt gct cgt gtg gct gtg atc aaa tgg Ala Phe Gly Phe Pro Val Ile Leu Ala Arg Val Ala Val Ile Lys Trp 85 90 95	
gga gcc tgc ggc ctt gtg ttg gca ggc aat gca gtc att ttc ctt aca 336 Gly Ala Cys Gly Leu Val Leu Ala Gly Asn Ala Val Ile Phe Leu Thr 100 105 110	
att caa ggg ttt ttc ctt ata ttt gga aga gga gat gat ttt agc tgg Ile Gln Gly Phe Phe Leu Ile Phe Gly Arg Gly Asp Asp Phe Ser Trp 115 120 125	384
gag cag tgg tag Glu Gln Trp 130	396
<210> 4 <211> 131 <212> PRT <213> Homo sapiens	
<400> 4	

```
Met Ala Gly Val Lys Ala Leu Val Ala Leu Ser Phe Ser Gly Ala Ile 1 5 10 15
Gly Leu Thr Phe Leu Met Leu Gly Cys Ala Leu Glu Asp Tyr Gly Val 20 30
Tyr Trp Pro Leu Phe Val Leu Ile Phe His Ala Ile Ser Pro Ile Pro 35 40
His Phe Ile Ala Lys Arg Val Thr Tyr Asp Ser Asp Ala Thr Ser Ser 50 60
Ala Cys Arg Glu Leu Ala Tyr Phe Phe Thr Thr Gly Ile Val Val Ser 75 80
Ala Phe Gly Phe Pro Val Ile Leu Ala Arg Val Ala Val Ile Lys Trp 85 \hspace{1.5cm} 90 \hspace{1.5cm} 95
Gly Ala Cys Gly Leu Val Leu Ala Gly Asn Ala Val Ile Phe Leu Thr 100 \hspace{1cm} 105 \hspace{1cm} 110
Ile Gln Gly Phe Phe Leu Ile Phe Gly Arg Gly Asp Asp Phe Ser Trp 115 125
Glu Gln Trp
130
<210> 5
<211> 1359
<212> ADN
<213> Secuencia Artificial
<220>
<223> OB RGRP LUC
<220>
<221> característica misc
<223> OB RGRP LUC
<220>
<221> CDS
<222> (1)..(1359)
<223>
```

5

10

15

<400> 5

														gct Ala 15			48
gga Gly	ctg Leu	act Thr	ttt Phe 20	ctt Leu	atg Met	ctg Leu	gga Gly	tgt Cys 25	gcc Ala	tta Leu	gag Glu	gat Asp	tat Tyr 30	ggc Gly	gtt Val		96
														atc Ile		1	44
														agt Ser		1	92
														gtt Val		2	40
gcc Ala	ttt Phe	gga Gly	ttt Phe	cct Pro 85	gtt Val	att Ile	ctt Leu	gct Ala	cgt Arg 90	gtg Val	gct Ala	gtg Val	atc Ile	aaa Lys 95	tgg Trp	2	88
														ctt Leu		3.	36
att Ile	caa Gln	ggg Gly 115	ttt Phe	ttc Phe	ctt Leu	ata Ile	ttt Phe 120	gga Gly	aga Arg	gga Gly	gat Asp	gat Asp 125	ttt Phe	agc Ser	tgg Trp	3	84
														acc Thr		4.	32
														ccc Pro		4	80
tgg Trp	tgg Trp	gcc Ala	agg Arg	tgc Cys 165	aag Lys	cag Gln	atg Met	aac Asn	gtg Val 170	ctg Leu	gac Asp	agc Ser	ttc Phe	atc Ile 175	aac Asn	5:	28
tac	tac	gac	agc	gag	aag	cac	gcc	gag	aac	gcc	gtg	atc	ttc	ctg	cac	5	76

Tyr	туг	Asp	Ser 180	Glu	Lys	ніѕ	Ala	Glu 185	Asn	Аlа	va1	Ile	Phe 190	Leu	His	
ggc Gly	aac Asn	gcc Ala 195	gct Ala	agc Ser	agc Ser	tac Tyr	ctg Leu 200	tgg Trp	agg Arg	cac His	gtg Val	gtg Val 205	ccc Pro	cac His	atc Ile	624
gag Glu	ccc Pro 210	gtg Val	gcc Ala	agg Arg	tgc Cys	atc Ile 215	atc Ile	ccc Pro	gat Asp	ctg Leu	atc Ile 220	ggc Gly	atg Met	ggc Gly	aag Lys	672
agc Ser 225	ggc Gly	aag Lys	agc Ser	ggc Gly	aac Asn 230	ggc Gly	agc Ser	tac Tyr	agg Arg	ctg Leu 235	ctg Leu	gac Asp	cac His	tac Tyr	aag Lys 240	720
						gag Glu										768
ttc Phe	gtg Val	ggc Gly	cac His 260	gac Asp	tgg Trp	ggc Gly	gcc Ala	tgc Cys 265	ctg Leu	gcc Ala	ttc Phe	cac His	tac Tyr 270	agc Ser	tac Tyr	816
gag Glu	сас His	cag Gln 275	gac Asp	aag Lys	atc Ile	aag Lys	gcc Ala 280	atc Ile	gtg Val	cac His	gcc Ala	gag G1u 285	agc Ser	gtg Val	gtg Val	864
						gac Asp 295										912
gcc Ala 305	ctg Leu	atc Ile	aag Lys	agc Ser	gag Glu 310	gag Glu	ggc Gly	gag Glu	aag Lys	atg Met 315	gtg Val	ctg Leu	gag Glu	aac Asn	aac Asn 320	960
ttc Phe	ttc Phe	gtg Val	gag Glu	acc Thr 325	atg Met	ctg Leu	ccc Pro	agc Ser	aag Lys 330	atc Ile	atg Met	aga Arg	aag Lys	ctg Leu 335	gag Glu	1008
ccc Pro	gag Glu	gag Glu	ttc Phe 340	gcc Ala	gcc Ala	tac Tyr	ctg Leu	gag Glu 345	ccc Pro	ttc Phe	aag Lys	gag Glu	aag Lys 350	ggc Gly	gag Glu	1056
gtg Val	aga Arg	aga Arg 355	ccc Pro	acc Thr	ctg Leu	agc Ser	tgg Trp 360	ccc Pro	aga Arg	gag Glu	atc Ile	ccc Pro 365	ctg L eu	gtg Val	aag Lys	1104
ggc Gly	ggc Gly 370	Lys	ccc Pro	gac Asp	gtg Val	gtg Val 375	cag Gln	atc Ile	gtg Val	aga Arg	aac Asn 380	tac Tyr	aac Asn	gcc Ala	tac Tyr	1152
ctg Leu 385	aga Arg	gcc Ala	agc Ser	gac Asp	gac Asp 390	ctg Leu	ccc Pro	aag Lys	atg Met	ttc Phe 395	atc Ile	gag Glu	agc Ser	gac Asp	ccc Pro 400	1200
ggc Gly	ttc Phe	ttc Phe	agc Ser	aac Asn 405	gcc Ala	atc Ile	gtg Val	gag Glu	ggc Gly 410	gcc Ala	aag Lys	aag Lys	ttc Phe	ccc Pro 415	aac Asn	1248
acc Thr	gag Glu	ttc Phe	gtg Val 420	aag Lys	gtg val	aag Lys	ggc Gly	ctg Leu 425	cac His	ttc. Phe	agc Ser	cag Gln	gag Glu 430	gac Asp	gcc Ala	1296
CCC Pro	gac Asp	gag Glu 435	atg Met	ggc Gly	aag Lys	tac Tyr	atc Ile 440	aag Lys	agc Ser	ttc Phe	gtg Val	gag Glu 445	aga Arg	gtg Val	ctg Leu	1344

Lys Asn Glu Gln 450

<210> 6 <211> 452

```
<212> PRT
```

<213> Secuencia Artificial

<220>

<223> OB RGRP LUC

5 <220>

<221> característica_misc

<223> OB RGRP LUC

<400>6

Met Ala Gly Val Lys Ala Leu Val Ala Leu Ser Phe Ser Gly Ala Ile 1 10 15

Gly Leu Thr Phe Leu Met Leu Gly Cys Ala Leu Glu Asp Tyr Gly Val 20 25 30

Tyr Trp Pro Leu Phe Val Leu Ile Phe His Ala Ile Ser Pro Ile Pro 35 40 45

His Phe Ile Ala Lys Arg Val Thr Tyr Asp Ser Asp Ala Thr Ser Ser 50 60

Ala Cys Arg Glu Leu Ala Tyr Phe Phe Thr Thr Gly Ile Val Val Ser 65 70 75 80

Ala Phe Gly Phe Pro Val Ile Leu Ala Arg Val Ala Val Ile Lys Trp 85 90 95

Gly Ala Cys Gly Leu Val Leu Ala Gly Asn Ala Val Ile Phe Leu Thr $100 \hspace{1cm} 105 \hspace{1cm} 110$

Ile Gln Gly Phe Phe Leu Ile Phe Gly Arg Gly Asp Asp Phe Ser Trp 125

Glu Gln Trp Ile Pro Gly Asp Pro Pro Ala Arg Ala Thr Met Thr Ser 130 135 140

Lys Val Tyr Asp Pro Glu Gln Arg Lys Arg Met Ile Thr Gly Pro Gln 145 150 155 160

Trp Trp Ala Arg Cys Lys Gln Met Asn Val Leu Asp Ser Phe Ile Asn 165 170 175

10

Tyr Tyr Asp Ser Glu Lys His Ala Glu Asn Ala Val Ile Phe Leu His 180 185 190 Gly Asn Ala Ala Ser Ser Tyr Leu Trp Arg His Val Val Pro His Ile 195 200 205 Glu Pro Val Ala Arg Cys Ile Ile Pro Asp Leu Ile Gly Met Gly Lys 210 220 Ser Gly Lys Ser Gly Asn Gly Ser Tyr Arg Leu Leu Asp His Tyr Lys 235 240 Tyr Leu Thr Ala Trp Phe Glu Leu Leu Asn Leu Pro Lys Lys Ile Ile 245 250 255 Phe Val Gly His Asp Trp Gly Ala Cys Leu Ala Phe His Tyr Ser Tyr 260 265 270 Glu His Gln Asp Lys Ile Lys Ala Ile Val His Ala Glu Ser Val Val 275 280 Asp Val Ile Glu Ser Trp Asp Glu Trp Pro Asp Ile Glu Glu Asp Ile 290 300 Ala Leu Ile Lys Ser Glu Glu Gly Glu Lys Met Val Leu Glu Asn Asn 305 310 320 Phe Phe Val Glu Thr Met Leu Pro Ser Lys Ile Met Arg Lys Leu Glu 325 330 335 Pro Glu Glu Phe Ala Ala Tyr Leu Glu Pro Phe Lys Glu Lys Gly Glu 340 345 350Val Arg Arg Pro Thr Leu Ser Trp Pro Arg Glu Ile Pro Leu Val Lys 365 365 Gly Gly Lys Pro Asp Val Val Gln Ile Val Arg Asn Tyr Asn Ala Tyr 370 380 Leu Arg Ala Ser Asp Asp Leu Pro Lys Met Phe Ile Glu Ser Asp Pro 385 390 400 Gly Phe Phe Ser Asn Ala Ile Val Glu Gly Ala Lys Lys Phe Pro Asn 405 415 Thr Glu Phe Val Lys Val Lys Gly Leu His Phe Ser Gln Glu Asp Ala 420 425 Pro Asp Glu Met Gly Lys Tyr Ile Lys Ser Phe Val Glu Arg Val Leu 435 440 445

<210> 7

Lys Asn Glu Gln 450

<211> 1128

<212> ADN

<213> Secuencia Artificial

5	<220: <223: <220: <221: <223:	> OB > > cara	acterí	stica_	_misc												
	<2202 <2212 <2222 <2232	> CDS > (1)		3)													
10	<400	> 7															
	atg Met 1	gcg Ala	ggc Gly	gtt Val	aaa Lys 5	gct Ala	ctc Leu	gtg Val	gca Ala	tta Leu 10	tcc Ser	ttc Phe	agt Ser	ggg Gly	gct Ala 15	att Ile	48
						atg Met											96
	tac Tyr	tgg Trp	ccc Pro 35	tta Leu	ttc Phe	gtc Val	ctg Leu	att Ile 40	ttc Phe	cac His	gcc Ala	atc Ile	tcc Ser 45	ccc Pro	atc Ile	ccc Pro	144
						aga Arg											192
	gcc Ala 65	tgt Cys	cgg Arg	gaa Glu	ctg Leu	gca Ala 70	tat Tyr	ttc Phe	ttc Phe	act Thr	act Thr 75	gga Gly	att Ile	gtt Val	gtt Val	tct Ser 80	240
						gtt Val											288
	gga Gly	gcc Ala	tgc Cys	ggc Gly 100	ctt Leu	gtg Val	ttg Leu	gca Ala	ggc Gly 105	aat Asn	gca Ala	gtc Val	att Ile	ttc Phe 110	ctt Leu	aca Thr	336
	att	caa	aga	ttt	ttc	ctt	ata	ttt	gga	aga	qqa	gat	gat	ttt	agc	tgg	384

```
Ile Gln Gly Phe Phe Leu Ile Phe Gly Arg Gly Asp Asp Phe Ser Trp 115 120 125
gag cag tgg att ccg gtc gcc acc atg gtg agc aag ggc gag gag ctg
Glu Gln Trp Ile Pro Val Ala Thr Met Val Ser Lys Gly Glu Glu Leu
130 135 140
                                                                                                                                                432
ttc acc ggg gtg gtg ccc atc Ctg gtc gag ctg gac ggc gac gta aac
Phe Thr Gly Val Val Pro Ile Leu Val Glu Leu Asp Gly Asp Val Asn
145 150 160
                                                                                                                                                480
ggc cac aag ttc agc gtg tcc ggc gag ggc gag ggc gat gcc acc tac
Gly His Lys Phe Ser Val Ser Gly Glu Gly Glu Gly Asp Ala Thr Tyr
165 170
                                                                                                                                                528
ggc aag ctg acc ctg aag ttc atc tgc acc acc ggc aag ctg ccc gtg
Gly Lys Leu Thr Leu Lys Phe Ile Cys Thr Thr Gly Lys Leu Pro Val
180 185 190
                                                                                                                                                576
ccc tgg ccc acc ctc gtg acc acc ttc ggc tac ggc gtg cag tgc ttc
Pro Trp Pro Thr Leu Val Thr Thr Phe Gly Tyr Gly Val Gln Cys Phe
195 200 205
                                                                                                                                                624
gcc cgc tac ccc gac cac atg cgc cag cac gac ttc ttc aag tcc gcc Ala Arg Tyr Pro Asp His Met Arg Gln His Asp Phe Phe Lys Ser Ala 210 215 220
                                                                                                                                                672
atg ccc gaa ggc tac gtc cag gag cgc acc atc ttc ttc aag gac gac
Met Pro Glu Gly Tyr Val Gln Glu Arg Thr Ile Phe Phe Lys Asp Asp
225 230 240
                                                                                                                                                720
ggc aac tac aag acc cgc gcc gag gtg aag ttc gag ggc gac acc ctg
Gly Asn Tyr Lys Thr Arg Ala Glu Val Lys Phe Glu Gly Asp Thr Leu
245 250 255
                                                                                                                                                768
gtg aac cgc atc gag ctg aag ggc atc gac ttc aag gag gac ggc aac
Val Asn Arg Ile Glu Leu Lys Gly Ile Asp Phe Lys Glu Asp Gly Asn
260 265 270
                                                                                                                                                816
atc ctg ggg cac aag ctg gag tac aac tac aac agc cac aac gtc tat
Ile Leu Gly His Lys Leu Glu Tyr Asn Tyr Asn Ser His Asn Val Tyr
275 280 285
                                                                                                                                                864
atc atg gcc gac aag cag aag aac ggc atc aag gtg aac ttc aag atc Ile Met Ala Asp Lys Gln Lys Asn Gly Ile Lys Val Asn Phe Lys Ile 290 295
                                                                                                                                                912
cgc cac aac atc gag gac ggc agc gtg cag ctc gcc gac cac tac cag
Arg His Asn Ile Glu Asp Gly Ser Val Gln Leu Ala Asp His Tyr Gln
305 310 315 320
                                                                                                                                                960
cag aac acc ccc atc ggc gac ggc ccc gtg ctg ctg ccc gac aac cac Gln Asn Thr Pro Ile Gly Asp Gly Pro Val Leu Leu Pro Asp Asn His 325 330 335
                                                                                                                                              1008
tac ctg agc tac cag tcc gcc ctg agc aaa gac ccc aac gag aag cgc
Tyr Leu Ser Tyr Gln Ser Ala Leu Ser Lys Asp Pro Asn Glu Lys Arg
340 345 350
                                                                                                                                              1056
gat cac atg gtc ctg ctg gag ttc gtg acc gcc ggg atc act ctc Asp His Met Val Leu Leu Glu Phe Val Thr Ala Ala Gly Ile Thr Leu 355 360 365
                                                                                                                                              1104
ggc atg gac gag ctg tac aag taa
Gly Met Asp Glu Leu Tyr Lys
370
                                                                                                                                              1128
```

<210>8

<211> 375

<212> PRT

<213> Secuencia Artificial

<220>

<223> OB RGRP YFP

<220>

10

<221> característica_misc

<223> OB RGRP YFP

<400> 8

Met Ala Gly Val Lys Ala Leu Val Ala Leu Ser Phe Ser Gly Ala Ile 1 10 15 Gly Leu Thr Phe Leu Met Leu Gly Cys Ala Leu Glu Asp Tyr Gly Val 20 25 30 Tyr Trp Pro Leu Phe Val Leu Ile Phe His Ala Ile Ser Pro Ile Pro 35 40 45 His Phe Ile Ala Lys Arg Val Thr Tyr Asp Ser Asp Ala Thr Ser Ser 50 55 60 Ala Cys Arg Glu Leu Ala Tyr Phe Phe Thr Thr Gly Ile Val Val Ser 65 70 75 80 Ala Phe Gly Phe Pro Val Ile Leu Ala Arg Val Ala Val Ile Lys Trp 85 90 95 Gly Ala Cys Gly Leu Val Leu Ala Gly Asn Ala Val Ile Phe Leu Thr 100 105 110 Ile Gln Gly Phe Phe Leu Ile Phe Gly Arg Gly Asp Asp Phe Ser Trp 115 120 125 Glu Gln Trp Ile Pro Val Ala Thr Met Val Ser Lys Gly Glu Glu Leu 130 135 140 Phe Thr Gly Val Val Pro Ile Leu Val Glu Leu Asp Gly Asp Val Asn 145 150 155 160 Gly His Lys Phe Ser Val Ser Gly Glu Gly Glu Gly Asp Ala Thr Tyr 165 170 175 Gly Lys Leu Thr Leu Lys Phe Ile Cys Thr Thr Gly Lys Leu Pro Val 180 185 190

```
Pro Trp Pro Thr Leu Val Thr Thr Phe Gly Tyr Gly Val Gln Cys Phe 195 200 205
Ala Arg Tyr Pro Asp His Met Arg Gln His Asp Phe Phe Lys Ser Ala 210 215 220
Met Pro Glu Gly Tyr Val Gln Glu Arg Thr Ile Phe Phe Lys Asp Asp 225 230 235 240
Gly Asn Tyr Lys Thr Arg Ala Glu Val Lys Phe Glu Gly Asp Thr Leu
245 250 255
Val Asn Arg Ile Glu Leu Lys Gly Ile Asp Phe Lys Glu Asp Gly Asn 260 265 270
Ile Leu Gly His Lys Leu Glu Tyr Asn Tyr Asn Ser His Asn Val Tyr
275 280 285
Ile Met Ala Asp Lys Gln Lys Asn Gly Ile Lys Val Asn Phe Lys Ile
290 295 300
Arg His Asn Ile Glu Asp Gly Ser Val Gln Leu Ala Asp His Tyr Gln 305 310 315 320
Gln Asn Thr Pro Ile Gly Asp Gly Pro Val Leu Leu Pro Asp Asn His 325 330 335
Tyr Leu Ser Tyr Gln Ser Ala Leu Ser Lys Asp Pro Asn Glu Lys Arg
340 345 350
Asp His Met Val Leu Leu Glu Phe Val Thr Ala Ala Gly Ile Thr Leu 355 360 365
```

Gly Met Asp Glu Leu Tyr Lys 370 375

<210> 9

<211> 2691

<212> ADN

5 <213> Homo sapiens

<220>

<221> CDS

<222> (1)..(2691)

<223>

10 <400> 9

atg Met 1	att Ile	tgt Cys	caa Gln	aaa Lys 5	ttc Phe	tgt Cys	gtg Val	gtt Val	ttg Leu 10	tta Leu	cat His	tgg Trp	gaa Glu	ttt Phe 15	att Ile	48
tat Tyr	gtg Val	ata Ile	act Thr 20	gcg Ala	ttt Phe	aac Asn	ttg Leu	tca Ser 25	tat Tyr	cca Pro	att Ile	act Thr	cct Pro 30	tgg Trp	aga Arg	96
ttt Phe	aag Lys	ttg Leu 35	tct Ser	tgc Cys	atg Met	cca Pro	cca Pro 40	aat Asn	tca Ser	acc Thr	tat Tyr	gac Asp 45	tac Tyr	ttc Phe	ctt Leu	144
ttg Leu	cct Pro 50	gct Ala	gga Gly	ctc Leu	tca Ser	aag Lys 55	aat Asn	act Thr	tca Ser	aat Asn	tcg Ser 60	aat Asn	gga Gly	cat His	tat Tyr	192
gag G1u 65	aca Thr	gct Ala	gtt Val	gaa Glu	cct Pro 70	aag Lys	ttt Phe	aat Asn	tca Ser	agt Ser 75	ggt Gly	act Thr	cac His	ttt Phe	tct ser 80	240
aac Asn	tta Leu	tcc Ser	aaa Lys	aca Thr 85	act Thr	ttc Phe	cac His	tgt Cys	tgc Cys 90	ttt Phe	cgg Arg	agt Ser	gag Glu	caa Gln 95	gat Asp	288
					tgt Cys											336
					tta Leu											384
ata Ile	cag Gln 130	tgc Cys	tgg Trp	cta Leu	aaa Lys	gga Gly 135	gac Asp	tta Leu	aaa Lys	tta Leu	ttc Phe 140	atc Ile	tgt Cys	tat Tyr	gtg Val	432
gag Glu 145	tca Ser	tta Leu	ttt Phe	aag Lys	aat Asn 150	cta Leu	ttc Phe	agg Arg	aat Asn	tat Tyr 155	aac Asn	tat Tyr	aag Lys	gtc Val	cat His 160	480
ctt Leu	tta Leu	tat Tyr	gtt Val	ctg Leu 165	cct Pro	gaa Glu	gtg Val	tta Leu	gaa Glu 170	gat Asp	tca Ser	cct Pro	ctg Leu	gtt Val 175	ccc Pro	528
caa Gln	aaa Lys	ggc Gly	agt Ser 180	ttt Phe	cag Gln	atg Met	gtt Val	cac His 185	tgc Cys	aat Asn	tgc Cys	agt Ser	gtt Val 190	cat His	gaa Glu	576
tgt Cys	tgt Cys	gaa Glu 195	tgt Cys	ctt Leu	gtg Val	cct Pro	gtg Val 200	cca Pro	aca Thr	gcc Ala	aaa Lys	ctc Leu 205	aac Asn	gac Asp	act Thr	624
ctc Leu	ctt Leu 210	atg Met	tgt Cys	ttg Leu	aaa Lys	atc Ile 215	aca Thr	tct Ser	ggt Gly	gga Gly	gta Val 220	att Ile	ttc Phe	cag Gln	tca Ser	672
cct Pro 225	cta Leu	atg Met	tca Ser	gtt Val	cag Gln 230	ccc Pro	ata Ile	aat Asn	atg Met	gtg Val 235	aag Lys	cct Pro	gat Asp	cca Pro	cca Pro 240	720
tta Leu	ggt Gly	ttg Leu	cat Ніѕ	atg Met 245	gaa Glu	atc Ile	aca Thr	gat Asp	gat Asp 250	ggt Gly	aat Asn	tta Leu	aag Lys	att Ile 255	tct Ser	768
tgg	tcc	agc	cca	cca	ttg	gta	cca	ttt	cca	ctt	caa	tat	caa	gtg	aaa	816

Trp	ser	Ser	Pro 260	Pro	Leu	٧a٦	Pro	Phe 265	Pro	Leu	Gln	Туг	G]n 270	٧a٦	Lys	
tat Tyr	tca ser	gag Glu 275	aat Asn	tct Ser	aca Thr	aca Thr	gtt Val 280	atc Ile	aga Arg	gaa Glu	gct Ala	gac Asp 285	aag Lys	att Ile	gtc val	864
tca Ser	gct Ala 290	aca Thr	tcc Ser	ctg Leu	cta Leu	gta Val 295	gac Asp	agt Ser	ata Ile	ctt Leu	cct Pro 300	ggg Gly	tct Ser	tcg Ser	tat Tyr	912
gag Glu 305	gtt val	cag Gln	gtg Val	agg Arg	ggc Gly 310	aag Lys	aga Arg	ctg Leu	gat Asp	ggc Gly 315	cca Pro	gga Gly	atc Ile	tgg Trp	agt Ser 320	960
											gat Asp					1008
cca Pro	cct Pro	aaa Lys	att Ile 340	ctg Leu	aca Thr	agt Ser	gtt Val	ggg Gly 345	tct Ser	aat Asn	gtt Val	tct Ser	ttt Phe 350	cac His	tgc Cys	1056
atc Ile	tat Tyr	aag Lys 355	aag Lys	gaa Glu	aac Asn	aag Lys	att Ile 360	gtt Val	ccc Pro	tca Ser	aaa Lys	gag Glu 365	att Ile	gtt Val	tgg Trp	1104
tgg Trp	atg Met 370	aat Asn	tta Leu	gct Ala	gag Glu	aaa Lys 375	att Ile	cct Pro	caa Gln	agc Ser	cag Gln 380	tat Tyr	gat Asp	gtt Val	gtg Val	1152
											ctg Leu					1200
cct Pro	cga Arg	gga Gly	aag Lys	ttt Phe 405	acc Thr	tat Tyr	gat Asp	gca Ala	gtg Val 410	tac Tyr	tgc Cys	tgc Cys	aat Asn	gaa Glu 415	cat His	1248
gaa Glu	tgc Cys	cat His	cat His 420	cgc Arg	tat Tyr	gct Ala	gaa Glu	tta Leu 425	tat Tyr	gtg Val	att Ile	gat Asp	gtc Val 430	aat Asn	atc Ile	1296
aat Asn	atc Ile	tca Ser 435	tgt Cys	gaa Glu	act Thr	gat Asp	ggg Gly 440	tac Tyr	tta Leu	act Thr	aaa Lys	atg Met 445	act Thr	tgc Cys	aga Arg	1344
											agc Ser 460					1392
											att Ile					1440
											agt Ser					1488
											ggc Gly					1536
att Ile	agg Arg	atc Ile 515	aat Asn	cac His	tct Ser	cta Leu	ggt Gly 520	tca Ser	ctt Leu	gac Asp	tct Ser	cca Pro 525	cca Pro	aca Thr	tgt Cys	1584
gtc	ctt	cct	gat	tct	gtg	gtg	aag	cca	ctg	cct	cca	tcc	agt	gtg	aaa	1632

٧a٦	Leu 530	Pro	Asp	ser	val	Va1 535	Lys	Pro	Leu	Pro	Pro 540	Ser	Ser	va1	Lys	
gca Ala 545	gaa Glu	att Ile	act Thr	ata Ile	aac Asn 550	att Ile	gga Gly	tta Leu	ttg Leu	aaa Lys 555	ata Ile	tct Ser	tgg Trp	gaa Glu	aag Lys 560	1680
cca Pro	gtc val	ttt Phe	cca Pro	gag Glu 565	aat Asn	aac Asn	ctt Leu	caa Gln	ttc Phe 570	cag Gln	att Ile	cgc Arg	tat Tyr	ggt Gly 575	tta Leu	1728
		aaa Lys														1776
tca Ser	aaa Lys	tct Ser 595	gtc Val	agt Ser	ctc Leu	cca Pro	gtt Val 600	cca Pro	gac Asp	ttg Leu	tgt Cys	gca Ala 605	gtc Val	tat Tyr	gct Ala	1824
gtt Val	cag Gln 610	gtg Val	cgc Arg	tgt Cys	aag Lys	agg Arg 615	cta Leu	gat Asp	gga Gly	ctg Leu	gga Gly 620	tat Tyr	tgg Trp	agt Ser	aat Asn	1872
tgg Trp 625	agc Ser	aat Asn	cca Pro	gcc Ala	tac Tyr 630	aca Thr	gtt Val	gtc val	atg Met	gat Asp 635	ata Ile	aaa Lys	gtt val	cct Pro	atg Met 640	1920
aga Arg	gga Gly	cct Pro	gaa Glu	ttt Phe 645	tgg Trp	aga Arg	ata Ile	att Ile	aat Asn 650	gga Gly	gat Asp	act Thr	atg Met	aaa Lys 655	aag Lys	1968
		aat Asn														2016
ttg Leu	tgc Cys	agt Ser 675	gtt val	cag Gln	aga Arg	tat Tyr	gtg Val 680	ata Ile	aac Asn	cat His	cat His	act Thr 685	tcc Ser	tgc Cys	aat Asn	2064
gga Gly	aca Thr 690	tgg Trp	tca Ser	gaa Glu	gat Asp	gtg Val 695	gga Gly	aat Asn	cac His	acg Thr	aaa Lys 700	ttc Phe	act Thr	ttc Phe	ctg Leu	2112
tgg Trp 705	aca Thr	gag Glu	caa Gln	gca Ala	cat His 710	act Thr	gtt Val	acg Thr	gtt Val	ctg Leu 715	gcc Ala	atc Ile	aat Asn	tca Ser	att Ile 720	2160
ggt Gly	gct Ala	tct Ser	gtt Val	gca Ala 725	aat Asn	ttt Phe	aat Asn	tta Leu	acc Thr 730	ttt Phe	tca Ser	tgg Trp	cct Pro	atg Met 735	agc Ser	2208
aaa Lys	gta Val	aat Asn	atc Ile 740	gtg Val	cag Gln	tca Ser	ctc Leu	agt Ser 745	gct Ala	tat Tyr	cct Pro	tta Leu	aac Asn 750	agc Ser	agt Ser	2256
		att Ile 755														2304
tat Tyr	ttt Phe 770	att Ile	att Ile	gag Glu	tgg Trp	aaa Lys 775	aat Asn	ctt Leu	aat Asn	gaa Glu	gat Asp 780	ggt Gly	gaa Glu	ata Ile	aaa Lys	2352
tgg Trp 785	ctt Leu	aga Arg	atc Ile	tct Ser	tca ser 790	tct Ser	gtt Val	aag Lys	aag Lys	tat Tyr 795	tat Tyr	atc Ile	cat His	gat Asp	cat His 800	2400
ttt	atc	ccc	att	gag	aag	tac	cag	ttc	agt	ctt	tac	cca	ata	ttt	atg	2448

Phe Ile	Pro Ile	Glu L 805	ys Tyr	Gln	Phe	Ser 810	Leu	Tyr	Pro	Ile	Phe 815	Met	
gaa gga Glu Gly													2496
att gaa Ile Glu	aaa cac Lys His 835	cag a Gln s	agt gat Ser Asp	gca Ala 840	ggt Gly	tta Leu	tat Tyr	gta Val	att Ile 845	gtg Val	cca Pro	gta val	2544
att att Ile Ile 850													2592
caa aga Gln Arg 865	atg aaa Met Lys	Lys L	ta ttt eu Phe 370	tgg Trp	gaa Glu	gat Asp	gtt Val 875	ccg Pro	aac Asn	ccc Pro	Lys	aat Asn 880	2640
tgt tcc Cys Ser	tgg gca Trp Ala	caa g Gln G 885	ga ctt ly Leu	aat Asn	ttt Phe	cag Gln 890	aag Lys	aga Arg	acg Thr	gac Asp	att Ile 895	ctt Leu	2688
tga													2691

<210> 10

<211>896

<212> PRT

<213> Homo sapiens

<400> 10

Met Ile Cys Gln Lys Phe Cys Val Val Leu Leu His Trp Glu Phe Ile 1 5 10 15

Tyr Val Ile Thr Ala Phe Asn Leu Ser Tyr Pro Ile Thr Pro Trp Arg 20 30

Phe Lys Leu Ser Cys Met Pro Pro Asn Ser Thr Tyr Asp Tyr Phe Leu 35 40 45

Leu Pro Ala Gly Leu Ser Lys Asn Thr Ser Asn Ser Asn Gly His Tyr 50 60

Glu Thr Ala Val Glu Pro Lys Phe Asn Ser Ser Gly Thr His Phe Ser 65 70 75

Asn Leu Ser Lys Thr Thr Phe His Cys Cys Phe Arg Ser Glu Gln Asp $85 \hspace{1.5cm} 90 \hspace{1.5cm} 95$

Arg Asn Cys Ser Leu Cys Ala Asp Asn Ile Glu Gly Lys Thr Phe Val $100 ext{ } 105 ext{ } 110$

Ser Thr Val Asn Ser Leu Val Phe Gln Gln Ile Asp Ala Asn Trp Asn 115 120 125

Ile Gln Cys Trp Leu Lys Gly Asp Leu Lys Leu Phe Ile Cys Tyr Val 130 140 Glu Ser Leu Phe Lys Asn Leu Phe Arg Asn Tyr Asn Tyr Lys Val His 145 150 155 160 Leu Leu Tyr Val Leu Pro Glu Val Leu Glu Asp Ser Pro Leu Val Pro 165 170 175 Gln Lys Gly Ser Phe Gln Met Val His Cys Asn Cys Ser Val His Glu 180 185 Cys Cys Glu Cys Leu Val Pro Val Pro Thr Ala Lys Leu Asn Asp Thr Leu Leu Met Cys Leu Lys Ile Thr Ser Gly Gly Val Ile Phe Gln Ser 210 220 Pro Leu Met Ser Val Gln Pro Ile Asn Met Val Lys Pro Asp Pro Pro 225 235 240 Leu Gly Leu His Met Glu Ile Thr Asp Asp Gly Asn Leu Lys Ile Ser 245 250 255 Trp Ser Ser Pro Pro Leu Val Pro Phe Pro Leu Gln Tyr Gln Val Lys 260 265 270 Tyr Ser Glu Asn Ser Thr Thr Val Ile Arg Glu Ala Asp Lys Ile Val 275 280 285 Ser Ala Thr Ser Leu Leu Val Asp Ser Ile Leu Pro Gly Ser Ser Tyr 290 295 300 Glu Val Gln Val Arg Gly Lys Arg Leu Asp Gly Pro Gly Ile Trp Ser 305 310 315 320 Asp Trp Ser Thr Pro Arg Val Phe Thr Thr Gln Asp Val Ile Tyr Phe 325 330 335 Pro Pro Lys Ile Leu Thr Ser Val Gly Ser Asn Val Ser Phe His Cys 340 350 Ile Tyr Lys Lys Glu Asn Lys Ile Val Pro Ser Lys Glu Ile Val Trp 355 360 365 Trp Met Asn Leu Ala Glu Lys Ile Pro Gln Ser Gln Tyr Asp Val Val 370 380 Ser Asp His Val Ser Lys Val Thr Phe Phe Asn Leu Asn Glu Thr Lys 385 390 395 400

Pro Arg Gly Lys Phe Thr Tyr Asp Ala Val Tyr Cys Cys Asn Glu His 405 410 415 Glu Cys His His Arg Tyr Ala Glu Leu Tyr Val Ile Asp Val Asn Ile 420 425 430 Asn Ile Ser Cys Glu Thr Asp Gly Tyr Leu Thr Lys Met Thr Cys Arg 435 440 445 Trp Ser Thr Ser Thr Ile Gln Ser Leu Ala Glu Ser Thr Leu Gln Leu 450 460 Arg Tyr His Arg Ser Ser Leu Tyr Cys Ser Asp Ile Pro Ser Ile His 465 470 475 Pro Ile Ser Glu Pro Lys Asp Cys Tyr Leu Gln Ser Asp Gly Phe Tyr 485 490 495 Glu Cys Ile Phe Gln Pro Ile Phe Leu Leu Ser Gly Tyr Thr Met Trp 500 510 Ile Arg Ile Asn His Ser Leu Gly Ser Leu Asp Ser Pro Pro Thr Cys 515 525 Val Leu Pro Asp Ser Val Val Lys Pro Leu Pro Pro Ser Ser Val Lys 530 540 Ala Glu Ile Thr Ile Asn Ile Gly Leu Leu Lys Ile Ser Trp Glu Lys 545 550 560 Pro Val Phe Pro Glu Asn Asn Leu Gln Phe Gln Ile Arg Tyr Gly Leu 565 570 575 Ser Gly Lys Glu Val Gln Trp Lys Met Tyr Glu Val Tyr Asp Ala Lys
580 585 590 Ser Lys Ser Val Ser Leu Pro Val Pro Asp Leu Cys Ala Val Tyr Ala 595 605 Val Gln Val Arg Cys Lys Arg Leu Asp Gly Leu Gly Tyr Trp Ser Asn 610 615 620 Trp Ser Asn Pro Ala Tyr Thr Val Val Met Asp Ile Lys Val Pro Met 625 630 635 640 Arg Gly Pro Glu Phe Trp Arg Ile Ile Asn Gly Asp Thr Met Lys Lys 655 Glu Lys Asn Val Thr Leu Leu Trp Lys Pro Leu Met Lys Asn Asp Ser 660 665 670

```
Leu Cys Ser Val Gln Arg Tyr Val Ile Asn His His Thr Ser Cys Asn 675 680 685
Gly Thr Trp Ser Glu Asp Val Gly Asn His Thr Lys Phe Thr Phe Leu 690 700
Trp Thr Glu Gln Ala His Thr Val Thr Val Leu Ala Ile Asn Ser Ile 705 710 715
Gly Ala Ser Val Ala Asn Phe Asn Leu Thr Phe Ser Trp Pro Met Ser 725 730 735
Lys Val Asn Ile Val Gln Ser Leu Ser Ala Tyr Pro Leu Asn Ser Ser 740 745
Cys Val Ile Val Ser Trp Ile Leu Ser Pro Ser Asp Tyr Lys Leu Met 755 760 765
Tyr Phe Ile Ile Glu Trp Lys Asn Leu Asn Glu Asp Gly Glu Ile Lys
770 780
Trp Leu Arg Ile Ser Ser Val Lys Lys Tyr Tyr Ile His Asp His 785 790 795
Phe Ile Pro Ile Glu Lys Tyr Gln Phe Ser Leu Tyr Pro Ile Phe Met 805 815
Glu Gly Val Gly Lys Pro Lys Ile Ile Asn Ser Phe Thr Gln Asp Asp 820 825 830
Ile Glu Lys His Gln Ser Asp Ala Gly Leu Tyr Val Ile Val Pro Val 835
Ile Ile Ser Ser Ser Ile Leu Leu Gly Thr Leu Leu Ile Ser His 850 860
Gln Arg Met Lys Lys Leu Phe Trp Glu Asp Val Pro Asn Pro Lys Asn
865 870 880
Cys Ser Trp Ala Gln Gly Leu Asn Phe Gln Lys Arg Thr Asp Ile Leu 885
<210> 11
<211> 3705
<212> ADN
<213> Secuencia Artificial
<220>
```

<223> OBR LUC

<220>

<221> característica misc

<223> OBR LUC 10

<220>

<221> CDS

<222> (1)..(3705)

¹⁵ <400> 11

					tct Ser											48
					cac His											96
cag Gln	gag Glu	cag Gln 35	aag Lys	ctt Leu	atc Ile	tcg Ser	gag Glu 40	gag Glu	gac Asp	ctg Leu	acg Thr	cgt Arg 45	tat Tyr	cca Pro	att Ile	144
					aag Lys										tat Tyr	192
					cct Pro 70											240
aat Asn	gga Gly	cat His	tat Tyr	gag Glu 85	aca Thr	gct Ala	gtt Val	gaa Glu	cct Pro 90	aag Lys	ttt Phe	aat Asn	tca Ser	agt Ser 95	ggt Gly	288
					tta Leu											336
agt Ser	gag Glu	caa Gln 115	gat Asp	aga Arg	aac Asn	tgc Cys	tcc Ser 120	tta Leu	tgt Cys	gca Ala	gac Asp	aac Asn 125	att Ile	gaa Glu	gga Gly ·	384
acg Thr	aca Thr 130	ttt Phe	gtt Val	tca Ser	aca Thr	gta Val 135	aat Asn	tct Ser	tta Leu	gtt Val	ttt Phe 140	caa Gln	caa Gln	ata Ile	gat Asp	432
					cag Gln 150											480
					tca Ser											528 .
tat	aag	gtc	cat	ctt	tta	tat	gtt	ctg	cct	gaa	gtg	tta	gaa	gat	tca	576

Tyr	Lys	٧a٦	His 180	Leu	Leu	Туг	٧a٦	Leu 185	Pro	Glu	Va1	Leu	Glu 190	Asp	Ser	
cct Pro	ctg Leu	gtt Val 195	CCC Pro	caa Gln	aaa Lys	ggc Gly	agt Ser 200	ttt Phe	cag Gln	atg Met	gtt val	cac His 205	tgc Cys	aat Asn	tgc Cys	624
agt Ser	gtt Val 210	cat His	gaa Glu	tgt Cys	tgt Cys	gaa Glu 215	tgt Cys	ctt Leu	gtg Val	cct Pro	gtg val 220	cca Pro	aca Thr	gcc Ala	aaa Lys	672
						atg Met										720
						atg Met										768
cct Pro	gat Asp	cca Pro	cca Pro 260	tta Leu	ggt Gly	ttg Leu	cat His	atg Met 265	gaa Glu	atc Ile	aca Thr	gat Asp	gat Asp 270	ggt Gly	aat Asn	816
tta Leu	aag Lys	att Ile 275	tct Ser	tgg Trp	tcc Ser	agc Ser	cca Pro 280	cca Pro	ttg Leu	gta Val	cca Pro	ttt Phe 285	cca Pro	ctt Leu	caa Gln	864
tat Tyr	caa G1n 290	gtg val	aaa Lys	tat Tyr	tca Ser	gag G1u 295	aat Asn	tct Ser	aca Thr	aca Thr	gtt Val 300	atc Ile	aga Arg	gaa Glu	gct Ala	912
						aca Thr										960
ggg Gly	tct Ser	tcg Ser	tat Tyr	gag Glu 325	gtt Val	cag Gln	gtg Val	agg Arg	ggc Gly 330	aag Lys	aga Arg	ctg Leu	gat Asp	ggc Gly 335	cca Pro	1008
gga Gly	atc Ile	tgg Trp	agt ser 340	gac Asp	tgg Trp	agt Ser	act Thr	cct Pro 345	cgt Arg	gtc Val	ttt Phe	acc Thr	aca Thr 350	caa Gln	gat Asp	1056
gtc Val	ata Ile	tac Tyr 355	ttt Phe	cca Pro	cct Pro	aaa Lys	att Ile 360	ctg Leu	aca Thr	agt Ser	gtt val	ggg G1y 365	tct Ser	aat Asn	gtt Val	1104
						aag Lys 375										1152
						aat Asn										1200
						cat His										1248
aat Asn	gaa Glu	acc Thr	aaa Lys 420	cct Pro	cga Arg	gga Gly	aag Lys	ttt Phe 425	acc Thr	tat Tyr	gat Asp	gca Ala	gtg Val 430	tac Tyr	tgc Cys	1296
tgc Cys	aat Asn	gaa Glu 435	cat His	gaa Glu	tgc Cys	cat His	cat His 440	cgc Arg	tat Tyr	gct Ala	gaa Glu	tta Leu 445	tat Tyr	gtg Val	att Ile	1344
gat	gtc	aat	atc	aat	atc	tca	tgt	gaa	act	gat	999	tac	tta	act	aaa	1392

Asp	Va7 450	Asn	ıle	Asn	Ile	Ser 455	Cys	Glu	Thr	Asp	G7y 460	Tyr	Leu	Thr	Lys		
atg Met 465	Thr	tgc Cys	aga Arg	tgg Trp	tca Ser 470	acc Thr	agt Ser	aca Thr	atc Ile	cag Gln 475	tca Ser	ctt Leu	gcg Ala	gaa Glu	agc Ser 480	144	0
					tat Tyr											148	8
					ata Ile											153	6
					tgc Cys											158	4
					agg Arg											163	2
cca Pro 545	cca Pro	aca Thr	tgt Cys	gtc Val	ctt Leu 550	cct Pro	gat Asp	tct Ser	gtg Val	gtg Val 555	aag Lys	cca Pro	ctg Leu	cct Pro	cca Pro 560	168	0
tcc Ser	agt Ser	gtg Val	aaa Lys	gca Ala 565	gaa Glu	att Ile	act Thr	ata Ile	aac Asn 570	att Ile	gga Gly	tta Leu	ttg Leu	aaa Lys 575	ata Ile	172	8
					gtc val											177	6
					gga Gly											1824	4
tat Tyr	gat Asp 610	gca Ala	aaa Lys	tca Ser	aaa Lys	tct Ser 615	gtc Val	agt Ser	ctc Leu	cca Pro	gtt Val 620	cca Pro	gac Asp	ttg Leu	tgt Cys	187	2
					cag Gln 630											1920	O
					agc Ser											196	8
					gga Gly											201	5
act Thr	atg Met	aaa Lys 675	aag Lys	gag Glu	aaa Lys	aat Asn	gtc Val 680	act Thr	tta Leu	ctt Leu	tgg Trp	aag Lys 685	CCC Pro	ctg Leu	atg Met	2064	4
					tgc Cys											211	2
act Thr 705	tcc Ser	tgc Cys	aat Asn	gga Gly	aca Thr 710	tgg Trp	tca Ser	gaa Glu	gat Asp	gtg Val 715	gga Gly	aat Asn	cac His	acg Thr	aaa Lys 720	216	D
ttc	act	ttc	ctg	tgg	aca	gag	caa	gca	cat	act	gtt	acg	gtt	ctg	gcc	220	8

Phe	Thr	Phe	Leu	Trp 725	Thr	Glu	Gʔn	Аlа	нis 730	Thr	va1	Thr	٧a٦	Leu 735	Ala	
														ttt Phe		2256
tgg Trp	cct Pro	atg Met 755	agc Ser	aaa Lys	gta Val	aat Asn	atc Ile 760	gtg Val	cag Gln	tca Ser	ctc Leu	agt Ser 765	gct Ala	tat Tyr	cct Pro	2304
														agt Ser		2352
														gaa Glu		2400
														tat Tyr 815		2448
atc Ile	cat His	gat Asp	cat His 820	ttt Phe	atc Ile	ccc Pro	att Ile	gag Glu 825	aag Lys	tac Tyr	cag Gln	ttc Phe	agt Ser 830	ctt Leu	tac Tyr	2496
cca Pro	ata Ile	ttt Phe 835	atg Met	gaa Glu	gga Gly	gtg val	gga Gly 840	aaa Lys	cca Pro	aag Lys	ata Ile	att Ile 845	aat Asn	agt Ser	ttc Phe	2544
act Thr	caa Gln 850	gat Asp	gat Asp	att Ile	gaa Glu	aaa Lys 855	cac His	cag Gln	agt Ser	gat Asp	gca Ala 860	ggt Gly	tta Leu	tat Tyr	gta Val	2592
att Ile 865	gtg Val	cca Pro	gta Val	att Ile	att Ile 870	tcc Ser	tct Ser	tcc Ser	atc Ile	tta Leu 875	ttg Leu	ctt Leu	gga Gly	aca Thr	tta Leu 880	2640
tta Leu	ata Ile	tca Ser	cac His	caa Gln 885	aga Arg	atg Met	aaa Lys	aag Lys	cta Leu 890	ttt Phe	tgg Trp	gaa Glu	gat Asp	gtt Val 895	ccg Pro	2688
aac Asn	ccc Pro	aag Lys	aat Asn 900	tgt Cys	tcc Ser	tgg Trp	gca Ala	caa Gln 905	gga Gly	ctt Leu	aat Asn	ttt Phe	cag Gln 910	aag Lys	aga Arg	2736
acg Thr	gac Asp	att Ile 915	ctg Leu	gat Asp	cca Pro	ccg Pro	gct Ala 920	aga Arg	gcc Ala	acc Thr	atg Met	acc Thr 925	agc Ser	aag Lys	gtg Val	2784
tac Tyr	gac Asp 930	ccc Pro	gag Glu	cag Gln	agg Arg	aag Lys 935	agg Arg	atg Met	atc Ile	acc Thr	ggc Gly 940	ccc Pro	cag Gln	tgg Trp	tgg Trp	2832
gcc Ala 945	agg Arg	tgc Cys	aag Lys	cag Gln	atg Met 950	aac Asn	gtg Val	ctg Leu	gac Asp	agc ser 955	ttc Phe	atc Ile	aac Asn	tac Tyr	tac Tyr 960	2880
gac Asp	agc Ser	gag Glu	aag Lys	сас ніs 965	gcc Ala	gag Glu	aac Asn	gcc Ala	gtg Val 970	atc Ile	ttc Phe	ctg Leu	cac His	ggc Gly 975	aac Asn	2928
gcc Ala	gct Ala	agc Ser	agc Ser 980	tac Tyr	ctg Leu	tgg Trp	agg Arg	cac His 985	gtg Val	gtg Val	ccc Pro	cac His	atc Ile 990	gag Glu	ccc Pro	2976
gtg	gcc	agg	tgc	atc	atc	ссс	gat	ctg	ato	ggd	ato	ggg	aa	ag ag	gc ggc	3024

٧a٦		Arg (995	Cys :	le :	[]e I		sp 1	_eu ː	Ile (Gly M		Ту I 005	Lys s	ser Gly	
aag Lys	agc Ser 1010	ggc Gly	aac Asn	ggc Gly	agc Ser	tac Tyr 1015	agg Arg	ctg Leu	ctg Leu	gac Asp	cac His 1020	tac Tyr	aag Lys	tac Tyr	3069
ctg Leu	acc Thr 1025	gcc Ala	tgg Trp	ttc Phe	gag Glu	ctc Leu 1030	ctg Leu	aac Asn	ctg Leu	ccc Pro	aag Lys 1035	aag Lys	atc Ile		3114
	gtg Val 1040	ggc Gly	cac His	gac Asp	tgg Trp	ggc Gly 1045	gcc Ala	tgc Cys	ctg Leu	gcc Ala	ttc Phe 1050	cac His	tac Tyr	agc Ser	3159
	gag Glu 1055					atc Ile 1060									3204
gtg Val		gac Asp	gtg Val	atc Ile	gag Glu	agc Ser 1075					cca Pro 1080				3249
	gac Asp 1085	atc Ile	gcc Ala	ctg Leu	atc Ile	aag Lys 1090	agc Ser	gag Glu	gag Glu	ggc Gly	gag Glu 1095	aag Lys	atg Met	gtg val	3294
	gag Glu 1100	aac Asn	aac Asn	ttc Phe	ttc Phe	gtg Val 1105	gag Glu	acc Thr	atg Met	ctg Leu	ccc Pro 1110	agc Ser	aag Lys	atc Ile	3339
_	aga Arg 1115	aag Lys	ctg Leu	gag Glu	ccc Pro	gag Glu 1120	gag Glu	ttc Phe	gcc Ala	gcc Ala	tac Tyr 1125	ctg Leu	gag Glu	CCC Pro	3384
	aag Lys 1130	gag Glu	aag Lys	ggc Gly	gag Glu	gtg Val 1135	aga Arg	aga Arg	ccc Pro	acc Thr	ctg Leu 1140	agc Ser	tgg Trp		3429
	gag Glu 1145					aag Lys 1150	ggc Gly	ggc Gly	aag Lys	ccc Pro	gac Asp 1155	gtg Val	gtg Val	cag Gln	3474
atc Ile	gtg Val 1160	aga Arg	aac Asn	tac Tyr	aac Asn	gcc Ala 1165	tac Tyr	ctg Leu	aga Arg	gcc Ala	agc Ser 1170	gac Asp	gac Asp	ctg Leu	3519
	aag Lys 1175					agc Ser 1180									3564
	gtg Val 1190	gag Glu	ggc Gly	gcc Ala	aag Lys	aag Lys 1195	ttc Phe	ccc Pro	aac Asn	acc Thr	gag Glu 1200	ttc Phe	gtg Val	aag Lys	3609
	aag Lys 1205	ggc Gly	ctg Leu	cac His	ttc Phe	agc Ser 1210	cag Gln	gag Glu	gac Asp	gcc Ala	ccc Pro 1215	gac Asp	gag Glu	atg Met	3654
	aag Lys 1220	tac Tyr	atc Ile	aag Lys	agc Ser	ttc Phe 1225	gtg val	gag Glu	aga Arg	gtg Val	ctg Leu 1230	aag Lys	aac Asn	gag Glu	3699
cag Gln	taa														3705
-040-	40														

<210> 12 <211> 1234 <212> PRT

<213> Secuencia Artificial

⁴²

```
<220>
```

<223> OBR LUC

<220>

<221> característica_misc

<223> OBR LUC

<400> 12

Met Val Leu Ala Ser Ser Thr Thr Ser Ile His Thr Met Leu Leu Leu 10 15

Leu Leu Met Leu Phe His Leu Gly Leu Gln Ala Ser Ile Ser Ala Arg 20 30

Gln Glu Gln Lys Leu Ile Ser Glu Glu Asp Leu Thr Arg Tyr Pro Ile 35 40

Thr Pro Trp Arg Phe Lys Leu Ser Cys Met Pro Pro Asn Ser Thr Tyr 50 60

Asp Tyr Phe Leu Leu Pro Ala Gly Leu Ser Lys Asn Thr Ser Asn Ser 65 70 75 80

Asn Gly His Tyr Glu Thr Ala Val Glu Pro Lys Phe Asn Ser Ser Gly 85 90 95

Thr His Phe Ser Asn Leu Ser Lys Thr Thr Phe His Cys Cys Phe Arg $100 \hspace{1cm} 105 \hspace{1cm} 110$

Ser Glu Gln Asp Arg Asn Cys Ser Leu Cys Ala Asp Asn Ile Glu Gly 115 120 125

Thr Thr Phe Val Ser Thr Val Asn Ser Leu Val Phe Gln Gln Ile Asp 130 135 140

Ala Asn Trp Asn Ile Gln Cys Trp Leu Lys Gly Asp Leu Lys Leu Phe 145 150 160

Ile Cys Tyr Val Glu Ser Leu Phe Lys Asn Leu Phe Arg Asn Tyr Asn 165 170 175

Tyr Lys Val His Leu Leu Tyr Val Leu Pro Glu Val Leu Glu Asp Ser 180 190

Pro Leu Val Pro Gln Lys Gly Ser Phe Gln Met Val His Cys Asn Cys 195 200 205 Ser Val His Glu Cys Cys Glu Cys Leu Val Pro Val Pro Thr Ala Lys 210 215 220 Leu Asn Asp Thr Leu Leu Met Cys Leu Lys Ile Thr Ser Gly Gly Val 225 235 240 Ile Phe Arg Ser Pro Leu Met Ser Val Gln Pro Ile Asn Met Val Lys 245 250 Pro Asp Pro Pro Leu Gly Leu His Met Glu Ile Thr Asp Asp Gly Asn 260 270 Leu Lys Ile Ser Trp Ser Ser Pro Pro Leu Val Pro Phe Pro Leu Gln 275 280 Tyr Gln Val Lys Tyr Ser Glu Asn Ser Thr Thr Val Ile Arg Glu Ala 290 295 300 Asp Lys Ile Val Ser Ala Thr Ser Leu Leu Val Asp Ser Ile Leu Pro 305 310 315 320 Gly Ser Ser Tyr Glu Val Gln Val Arg Gly Lys Arg Leu Asp Gly Pro Gly Ile Trp Ser Asp Trp Ser Thr Pro Arg Val Phe Thr Thr Gln Asp 340 350 Val Ile Tyr Phe Pro Pro Lys Ile Leu Thr Ser Val Gly Ser Asn Val 355 360 Ser Phe His Cys Ile Tyr Lys Lys Glu Asn Lys Ile Val Pro Ser Lys 370 375 380 Glu Ile Val Trp Trp Met Asn Leu Ala Glu Lys Ile Pro Gln Ser Gln 385 390 395 400 Tyr Asp Val Val Ser Asp His Val Ser Lys Val Thr Phe Phe Asn Leu 405 410 415 Asn Glu Thr Lys Pro Arg Gly Lys Phe Thr Tyr Asp Ala Val Tyr Cys
420 425 430 Cys Asn Glu His Glu Cys His His Arg Tyr Ala Glu Leu Tyr Val Ile 435 440 445 Asp Val Asn Ile Asn Ile Ser Cys Glu Thr Asp Gly Tyr Leu Thr Lys 450 460

Met Thr Cys Arg Trp Ser Thr Ser Thr Ile Gln Ser Leu Ala Glu Ser 465 470 480 Thr Leu Gln Leu Arg Tyr His Arg Ser Ser Leu Tyr Cys Ser Asp Ile 485 490 Pro Ser Ile His Pro Ile Ser Glu Pro Lys Asp Cys Tyr Leu Gln Ser 500 510 Asp Gly Phe Tyr Glu Cys Ile Phe Gln Pro Ile Phe Leu Leu Ser Gly 515 525 Tyr Thr Met Trp Ile Arg Ile Asn His Ser Leu Gly Ser Leu Asp Ser 530 540 Pro Pro Thr Cys Val Leu Pro Asp Ser Val Val Lys Pro Leu Pro Pro 545 550 560 Ser Ser Val Lys Ala Glu Ile Thr Ile Asn Ile Gly Leu Leu Lys Ile 575 575 Ser Trp Glu Lys Pro Val Phe Pro Glu Asn Asn Leu Gln Phe Gln Ile 580 585 590 Arg Tyr Gly Leu Ser Gly Lys Glu Val Gln Trp Lys Met Tyr Glu Val 595 600 605 Tyr Asp Ala Lys Ser Lys Ser Val Ser Leu Pro Val Pro Asp Leu Cys 610 620 Ala Val Tyr Ala Val Gln Val Arg Cys Lys Arg Leu Asp Gly Leu Gly 625 630 635 Tyr Trp Ser Asn Trp Ser Asn Pro Ala Tyr Thr Val Val Met Asp Ile 645 655 Lys Val Pro Met Arg Gly Pro Glu Phe Trp Arg Ile Ile Asn Gly Asp 660 665 670 Thr Met Lys Lys Glu Lys Asn Val Thr Leu Leu Trp Lys Pro Leu Met 675 680 685 Lys Asn Asp Ser Leu Cys Ser Val Gln Arg Tyr Val Ile Asn His His 690 700 Thr Ser Cys Asn Gly Thr Trp Ser Glu Asp Val Gly Asn His Thr Lys 705 710 715 720 Phe Thr Phe Leu Trp Thr Glu Gln Ala His Thr Val Thr Val Leu Ala 725 730 735

Ile Asn Ser Ile Gly Ala Ser Val Ala Asn Phe Asn Leu Thr Phe Ser 740 745 750 Trp Pro Met Ser Lys Val Asn Ile Val Gln Ser Leu Ser Ala Tyr Pro 765 Leu Asn Ser Ser Cys Val Ile Val Ser Trp Ile Leu Ser Pro Ser Asp 770 780 Tyr Lys Leu Met Tyr Phe Ile Ile Glu Trp Lys Asn Leu Asn Glu Asp 785 790 795 800 Gly Glu Ile Lys Trp Leu Arg Ile Ser Ser Ser Val Lys Lys Tyr Tyr 805 810 815 Ile His Asp His Phe Ile Pro Ile Glu Lys Tyr Gln Phe Ser Leu Tyr 820 825 830 Pro Ile Phe Met Glu Gly Val Gly Lys Pro Lys Ile Ile Asn Ser Phe 835 840 845 Thr Gln Asp Asp Ile Glu Lys His Gln Ser Asp Ala Gly Leu Tyr Val 850 855 860 lle Val Pro Val Ile Ile Ser Ser Ser Ile Leu Leu Gly Thr Leu 865 870 875 880 Leu Ile Ser His Gln Arg Met Lys Lys Leu Phe Trp Glu Asp Val Pro 885 890 895 Asn Pro Lys Asn Cys Ser Trp Ala Gln Gly Leu Asn Phe Gln Lys Arg 900 905 910 Thr Asp Ile Leu Asp Pro Pro Ala Arg Ala Thr Met Thr Ser Lys Val 915 920 925 Tyr Asp Pro Glu Gln Arg Lys Arg Met Ile Thr Gly Pro Gln Trp Trp 930 935 940 Ala Arg Cys Lys Gln Met Asn Val Leu Asp Ser Phe Ile Asn Tyr Tyr 945 950 955 960 Asp Ser Glu Lys His Ala Glu Asn Ala Val Ile Phe Leu His Gly Asn 965 970 975 Ala Ala Ser Ser Tyr Leu Trp Arg His Val Val Pro His Ile Glu Pro 980 985 990 Val Ala Arg Cys Ile Ile Pro Asp Leu Ile Gly Met Gly Lys Ser Gly 995 1000 1005

Lys Ser Gly Asn Gly Ser Tyr Arg Leu Leu Asp His Tyr Lys Tyr 1010 1020Leu Thr Ala Trp Phe Glu Leu Leu Asn Leu Pro Lys Lys Ile Ile 1025 1030 1035 Phe Val Gly His Asp Trp Gly Ala Cys Leu Ala Phe His Tyr Ser 1040 1045 1050 Tyr Glu His Gln Asp Lys Ile Lys Ala Ile Val His Ala Glu Ser 1055 1060 1065 Val Val Asp Val Ile Glu Ser Trp Asp Glu Trp Pro Asp Ile Glu 1070 1080 Glu Asp Ile Ala Leu Ile Lys Ser Glu Glu Gly Glu Lys Met Val 1085 1090 1095 Leu Glu Asn Asn Phe Phe Val Glu Thr Met Leu Pro Ser Lys Ile Met Arg Lys Leu Glu Pro Glu Glu Phe Ala Ala Tyr Leu Glu Pro 1115 1125 Phe Lys Glu Lys Gly Glu Val Arg Arg Pro Thr Leu Ser Trp Pro 1130 1140 Arg Glu Ile Pro Leu Val Lys Gly Gly Lys Pro Asp Val Val Gln
1145 1150 1155 1145 Ile Val Arg Asn Tyr Asn Ala Tyr Leu Arg Ala Ser Asp Asp Leu 1160 1165 1170 1160 Pro Lys Met Phe Ile Glu Ser Asp Pro Gly Phe Phe Ser Asn Ala 1175 1180 1185 Ile Val Glu Gly Ala Lys Lys Phe Pro Asn Thr Glu Phe Val Lys Val Lys Gly Leu His Phe Ser Gln Glu Asp Ala Pro Asp Glu Met 1205 1210 1215 Gly Lys Tyr Ile Lys Ser Phe Val Glu Arg Val Leu Lys Asn Glu 1220 1230

Gln

<210> 13 <211> 3486

	<212> <213>			Artifi	cial													
	<220> <223>	OBR	YFP															
5	<220> <221> <223>			tica_n	nisc													
10	<220> <221> <222> <223>			١														
	<400>	13																
	atg Met 1	gtt Val	ctt Leu	gcc Ala	agc Ser 5	tct Ser	acc Thr	acc Thr	agc Ser	atc Ile 10	cac His	acc Thr	atg Met	ctg Leu	ctc Leu 15	ctg Leu	48	
							ctg Leu										96	
	cag Gln	gag Glu	cag Gln 35	aag Lys	ctt Leu	atc Ile	tcg Ser	gag Glu 40	gag Glu	gac Asp	ctg Leu	acg Thr	cgt Arg 45	tat Tyr	cca Pro	att Ile	144	
							ttg Leu 55										192	
	gac Asp 65	tac Tyr	ttc Phe	ctt Leu	ttg Leu	cct Pro 70	gct Ala	gga Gly	ctc Leu	tca Ser	aag Lys 75	aat Asn	act Thr	tca Ser	aat Asn	tcg Ser 80	240	
							gct Ala										288	
							tcc Ser										336	
	agt Ser	gag Glu	caa Gln 115	gat Asp	aga Arg	aac Asn	tgc Cys	tcc Ser 120	tta Leu	tgt Cys	gca Ala	gac Asp	aac Asn 125	att Ile	gaa Glu	gga Gly	384	
	acg Thr	aca Thr 130	ttt Phe	gtt Val	tca Ser	aca Thr	gta Val 135	aat Asn	tct Ser	tta Leu	gtt val	ttt Phe 140	caa Gln	caa Gln	ata Ile	gat Asp	432	

gca aac tgg aac ata cag tgc tgg cta aaa gga gac tta aaa tta ttc

480

Ala 145	Asn	тг р	Asn	Ile	G]n 150	Cys	Тгр	Leu	Lys	Gly 155	Asp	Leu	Lys	Leu	Phe 160	·
atc Ile	tgt Cys	tat Tyr	gtg Val	gag Glu 165	tca Ser	tta Leu	ttt Phe	aag Lys	aat Asn 170	cta Leu	ttc Phe	agg Arg	aat Asn	tat Tyr 175	aac Asn	528
tat Tyr	aag Lys	gtc val	cat His 180	ctt Leu	tta Leu	tat Tyr	gtt Val	ctg Leu 185	cct Pro	gaa Glu	gtg Val	tta Leu	gaa Glu 190	gat Asp	tca Ser	576
cct Pro	ctg Leu	gtt Val 195	ccc Pro	caa Gln	aaa Lys	ggc Gly	agt Ser 200	ttt Phe	cag Gln	atg Met	gtt Val	cac His 205	tgc Cys	aat Asn	tgc Cys	624
					tgt Cys											672
					ctt Leu 230											720
att Ile	ttc Phe	cgg Arg	tca Ser	cct Pro 245	cta Leu	atg Met	tca Ser	gtt val	cag Gln 250	CCC Pro	ata Ile	aat Asn	atg Met	gtg Val 255	aag Lys	768
cct Pro	gat Asp	cca Pro	cca Pro 260	tta Leu	ggt Gly	ttg Leu	cat His	atg Met 265	gaa Glu	atc Ile	aca Thr	gat Asp	gat Asp 270	ggt Gly	aat Asn	816
tta Leu	aag Lys	att Ile 275	tct Ser	tgg Trp	tcc Ser	agc Ser	cca Pro 280	cca Pro	ttg Leu	gta Val	cca Pro	ttt Phe 285	cca Pro	Ctt Leu	caa Gln	864
tat Tyr	caa G1n 290	gtg Val	aaa Lys	tat Tyr	tca Ser	gag Glu 295	aat Asn	tct Ser	aca Thr	aca Thr	gtt Val 300	atc Ile	aga Arg	gaa Glu	gct Ala	912
gac Asp 305	aag Lys	att Ile	gtc Val	tca Ser	gct Ala 310	aca Thr	tcc Ser	ctg Leu	cta Leu	gta Val 315	gac Asp	agt Ser	ata Ile	ctt Leu	cct Pro 320	960
					gtt Val											1008
					tgg Trp											1056
					cct Pro											1104
tct Ser	ttt Phe 370	cac His	tgc Cys	atc Ile	tat Tyr	aag Lys 375	aag Lys	gaa Glu	aac Asn	aag Lys	att Ile 380	gtt Val	ccc Pro	tca Ser	aaa Lys	1152
gag Glu 385	att Ile	gtt Val	tgg Trp	tgg Trp	atg Met 390	aat Asn	tta Leu	gct Ala	gag Glu	aaa Lys 395	att Ile	cct Pro	caa Gln	agc Ser	cag Gln 400	1200
					gat Asp											1248
aat	gaa	acc	aaa	cct	cga	gga	aag	ttt	acc	tat	gat	gca	gtg	tac	tgc	1296

Asn	Glu	Thr	Lys 420	Pro	Arg	GТу	Lys	Phe 425	Thr	Tyr	Asp	Ala	va7 430	Tyr	Cys	
						cat His										1344
gat Asp	gtc val 450	aat Asn	atc Ile	aat Asn	atc Ile	tca Ser 455	tgt Cys	gaa Glu	act Thr	gat Asp	ggg G1y 460	tac Tyr	tta Leu	act Thr	aaa Lys	1392
						acc Thr										1440
						cat His										1488
						tct Ser										1536
gat Asp	ggt Gly	ttt Phe 515	tat Tyr	gaa Glu	tgc Cys	att Ile	ttc Phe 520	cag Gln	cca Pro	atc Ile	ttc Phe	cta Leu 525	tta Leu	tct Ser	ggc Gly	1584
tac Tyr	aca Thr 530	atg Met	tgg Trp	att Ile	agg Arg	atc Ile 535	aat Asn	cac His	tct Ser	cta Leu	ggt Gly 540	tca Ser	ctt Leu	gac Asp	tct Ser	1632
cca Pro 545	cca Pro	aca Thr	tgt Cys	gtc val	ctt Leu 550	cct Pro	gat Asp	tct Ser	gtg val	gtg val 555	aag Lys	cca Pro	ctg Leu	cct Pro	cca Pro 560	1680
						att Ile										1728
tct Ser	tgg Trp	gaa Glu	aag Lys 580	cca Pro	gtc val	ttt Phe	cca Pro	gag Glu 585	aat Asn	aac Asn	ctt Leu	caa Gln	ttc Phe 590	cag Gln	att Ile	1776
						aaa Lys										1824
tat Tyr	gat Asp 610	gca Ala	aaa Lys	tca Ser	aaa Lys	tct Ser 615	gtc Val	agt Ser	ctc Leu	cca Pro	gtt Val 620	cca Pro	gac Asp	ttg Leu	tgt Cys	1872
gca Ala 625	gtc Val	tat Tyr	gct Ala	gtt Val	cag Gln 630	gtg Val	cgc Arg	tgt Cys	aag Lys	agg Arg 635	cta Leu	gat Asp	gga Gly	ctg Leu	gga Gly 640	1920
tat Tyr	tgg Trp	agt Ser	aat Asn	tgg Trp 645	ser	aat Asn	cca Pro	gcc Ala	tac Tyr 650	aca Thr	gtt Val	gtc val	atg Met	gat Asp 655	ata Ile	1968
aaa Lys	gtt Val	cct Pro	atg Met 660	aga Arg	gga Gly	cct Pro	gaa Glu	ttt Phe 665	tgg Trp	aga Arg	ata Ile	att Ile	aat Asn 670	gga Gly	gat Asp	2016
act Thr	atg Met	aaa Lys 675	aag Lys	gag Glu	aaa Lys	aat Asn	gtc Val 680	act Thr	tta Leu	ctt Leu	tgg Trp	aag Lys 685	ccc Pro	ctg Leu	atg Met	2064
aaa	aat	gac	tca	ttg	tgc	agt	gtt	cag	aga	tat	gtg	ata	aac	cat	cat	2112

Lys	Asn 690	Asp	Ser	Leu	Cys	Ser 695	va1	G]n	Arg	Tyr	va1 700	IJе	Asn	ніѕ	нis	
act Thr 705	tcc Ser	tgc Cys	aat Asn	gga Gly	aca Thr 710	tgg Trp	tca Ser	gaa Glu	gat Asp	gtg Val 715	gga Gly	aat Asn	cac His	acg Thr	aaa Lys 720	2160
	act Thr															2208
atc Ile	aat Asn	tca Ser	att Ile 740	ggt Gly	gct Ala	tct Ser	gtt Val	gca Ala 745	aat Asn	ttt Phe	aat Asn	tta Leu	acc Thr 750	ttt Phe	tca Ser	2256
tgg Trp	cct Pro	atg Met 755	agc Ser	aaa Lys	gta val	aat Asn	atc Ile 760	gtg Val	cag Gln	tca Ser	ctc Leu	agt Ser 765	gct Ala	tat Tyr	cct Pro	2304
tta Leu	aac Asn 770	agc Ser	agt Ser	tgt Cys	gtg Val	att Ile 775	gtt Val	tcc Ser	tgg Trp	ata Ile	cta Leu 780	tca Ser	ccc Pro	agt Ser	gat Asp	2352
tac Tyr 785	aag Lys	cta Leu	atg Met	tat Tyr	ttt Phe 790	att Ile	att Ile	gag Glu	tgg Trp	aaa Lys 795	aat Asn	ctt Leu	aat Asn	gaa Glu	gat Asp 800	2400
	gaa Glu															2448
	cat His															2496
cca Pro	ata Ile	ttt Phe 835	atg Met	gaa Glu	gga Gly	gtg Val	gga Gly 840	aaa Lys	cca Pro	aag Lys	ata Ile	att Ile 845	aat Asn	agt Ser	ttc Phe	2544
	caa G1n 850															2592
	gtg Val															2640
	ata Ile															2688
	ccc Pro															2736
	gac Asp															2784
gag Glu	ctg Leu 930	ttc Phe	acc Thr	ggg Gly	gtg Val	gtg Val 935	ccc Pro	atc Ile	ctg Leu	gtc Val	gag Glu 940	ctg Leu	gac Asp	ggc Gly	gac Asp	2832
gta Val 945	aac Asn	ggc Gly	cac His	aag Lys	ttc Phe 950	agc Ser	gtg Val	tcc Ser	ggc Gly	gag Glu 955	ggc Gly	gag Glu	ggc Gly	gat Asp	gcc Ala 960	2880
acc	tac	ggc	aag	ctg	acc	ctg	aag	ttc	atc	tgc	acc	acc	ggc	aag	ctg	2928

Thr Tyr Gly Lys Leu Thr Leu Lys Phe Ile Cys Thr Thr Gly Lys Leu 965 970 975	
ccc gtg ccc tgg ccc acc ctc gtg acc acc ttc ggc tac ggc gtg cag Pro Val Pro Trp Pro Thr Leu Val Thr Thr Phe Gly Tyr Gly Val Gln 980 985 990	2976
tgc ttc gcc cgc tac ccc gac cac atg cgc cag cac gac ttc ttc aag Cys Phe Ala Arg Tyr Pro Asp His Met Arg Gln His Asp Phe Phe Lys 995 1000 1005	
tcc gcc atg ccc gaa ggc tac gtc cag gag cgc acc atc ttc ttc Ser Ala Met Pro Glu Gly Tyr Val Gln Glu Arg Thr Ile Phe Phe 1010 1015 1020	3069
aag gac gac ggc aac tac aag acc cgc gcc gag gtg aag ttc gag Lys Asp Asp Gly Asn Tyr Lys Thr Arg Ala Glu Val Lys Phe Glu 1025 1030 1035	3114
ggc gac acc ctg gtg aac cgc atc gag ctg aag ggc atc gac ttc Gly Asp Thr Leu Val Asn Arg Ile Glu Leu Lys Gly Ile Asp Phe 1040 1045 1050	3159
aag gag gac ggc aac atc ctg ggg cac aag ctg gag tac aac tac Lys Glu Asp Gly Asn Ile Leu Gly His Lys Leu Glu Tyr Asn Tyr 1055 1060 1065	3204
aac agc cac aac gtc tat atc atg gcc gac aag cag aag aac ggc Asn Ser His Asn Val Tyr Ile Met Ala Asp Lys Gln Lys Asn Gly 1070 1075 1080	3249
atc aag gtg aac ttc aag atc cgc cac aac atc gag gac ggc agc Ile Lys Val Asn Phe Lys Ile Arg His Asn Ile Glu Asp Gly Ser 1085 1090 1095	3294
gtg cag ctc gcc gac cac tac cag cag aac acc ccc atc ggc gac Val Gln Leu Ala Asp His Tyr Gln Gln Asn Thr Pro Ile Gly Asp 1100 1105 1110	3339
ggc ccc gtg ctg ccc gac aac cac tac ctg agc tac cag tcc Gly Pro Val Leu Leu Pro Asp Asn His Tyr Leu Ser Tyr Gln Ser 1115 1120 1125	3384
gcc ctg agc aaa gac ccc aac gag aag cgc gat cac atg gtc ctg Ala Leu Ser Lys Asp Pro Asn Glu Lys Arg Asp His Met Val Leu 1130 1135 1140	3429
ctg gag ttc gtg acc gcc gcc ggg atc act ctc ggc atg gac gag Leu Glu Phe Val Thr Ala Ala Gly Ile Thr Leu Gly Met Asp Glu 1145 1150 1155	3474
ctg tac aag taa Leu Tyr Lys 1160	3486
<210> 14 <211> 1161 <212> PRT <213> Secuencia Artificial	
<220> <223> OBR YFP	
<220> <221> característica_misc <223> OBR YFP	
<400> 14	

Met Val Leu Ala Ser Ser Thr Thr Ser Ile His Thr Met Leu Leu Leu 1 5 10 15 Leu Leu Met Leu Phe His Leu Gly Leu Gln Ala Ser Ile Ser Ala Arg Gln Glu Gln Lys Leu Ile Ser Glu Glu Asp Leu Thr Arg Tyr Pro Ile 35 40 Thr Pro Trp Arg Phe Lys Leu Ser Cys Met Pro Pro Asn Ser Thr Tyr 50 60 Asp Tyr Phe Leu Leu Pro Ala Gly Leu Ser Lys Asn Thr Ser Asn Ser Asn Gly His Tyr Glu Thr Ala Val Glu Pro Lys Phe Asn Ser Ser Gly 85 90 95 Thr His Phe Ser Asn Leu Ser Lys Thr Thr Phe His Cys Cys Phe Arg $100 \hspace{0.25cm} 105 \hspace{0.25cm} 110 \hspace{0.25cm}$ Ser Glu Gln Asp Arg Asn Cys Ser Leu Cys Ala Asp Asn Ile Glu Gly 115 120 Thr Thr Phe Val Ser Thr Val Asn Ser Leu Val Phe Gln Gln Ile Asp 130 140 Ala Asn Trp Asn Ile Gln Cys Trp Leu Lys Gly Asp Leu Lys Leu Phe 145 150 160 Ile Cys Tyr Val Glu Ser Leu Phe Lys Asn Leu Phe Arg Asn Tyr Asn 165 170 175Tyr Lys Val His Leu Leu Tyr Val Leu Pro Glu Val Leu Glu Asp Ser 180 185 190 Pro Leu Val Pro Gln Lys Gly Ser Phe Gln Met Val His Cys Asn Cys 195 200 205 Ser Val His Glu Cys Cys Glu Cys Leu Val Pro Val Pro Thr Ala Lys 210 220 Leu Asn Asp Thr Leu Leu Met Cys Leu Lys Ile Thr Ser Gly Gly Val 225 230 240

Ile Phe Arg Ser Pro Leu Met Ser Val Gln Pro Ile Asn Met Val Lys 245 250 255 Pro Asp Pro Leu Gly Leu His Met Glu Ile Thr Asp Asp Gly Asn 265 270 Leu Lys Ile Ser Trp Ser Ser Pro Pro Leu Val Pro Phe Pro Leu Gln 275 280 285 Tyr Gln Val Lys Tyr Ser Glu Asn Ser Thr Thr Val Ile Arg Glu Ala 290 . 295 300 Asp Lys Ile Val Ser Ala Thr Ser Leu Leu Val Asp Ser Ile Leu Pro 305 310 315 320 Gly Ser Ser Tyr Glu Val Gln Val Arg Gly Lys Arg Leu Asp Gly Pro Gly Ile Trp Ser Asp Trp Ser Thr Pro Arg Val Phe Thr Thr Gln Asp 340 345Val Ile Tyr Phe Pro Pro Lys Ile Leu Thr Ser Val Gly Ser Asn Val 355 360 365 Ser Phe His Cys Ile Tyr Lys Lys Glu Asn Lys Ile Val Pro Ser Lys 370 380 Glu Ile Val Trp Trp Met Asn Leu Ala Glu Lys Ile Pro Gln Ser Gln 385 390 400 Tyr Asp Val Val Ser Asp His Val Ser Lys Val Thr Phe Phe Asn Leu 405 415 Asn Glu Thr Lys Pro Arg Gly Lys Phe Thr Tyr Asp Ala Val Tyr Cys 420 430 Cys Asn Glu His Glu Cys His His Arg Tyr Ala Glu Leu Tyr Val Ile 435 440 445 Asp Val Asn Ile Asn Ile Ser Cys Glu Thr Asp Gly Tyr Leu Thr Lys 450 460Met Thr Cys Arg Trp Ser Thr Ser Thr Ile Gln Ser Leu Ala Glu Ser 465 470 480Thr Leu Gln Leu Arg Tyr His Arg Ser Ser Leu Tyr Cys Ser Asp Ile 485 490 495 Pro Ser Ile His Pro Ile Ser Glu Pro Lys Asp Cys Tyr Leu Gln Ser 500 505 510

Asp Gly Phe Tyr Glu Cys Ile Phe Gln Pro Ile Phe Leu Leu Ser Gly 515 525 Tyr Thr Met Trp Ile Arg Ile Asn His Ser Leu Gly Ser Leu Asp Ser 530 540 Pro Pro Thr Cys Val Leu Pro Asp Ser Val Val Lys Pro Leu Pro Pro 545 550 560 Ser Ser Val Lys Ala Glu Ile Thr Ile Asn Ile Gly Leu Leu Lys Ile 565 570 575 Ser Trp Glu Lys Pro Val Phe Pro Glu Asn Asn Leu Gln Phe Gln Ile 580 585 590 Arg Tyr Gly Leu Ser Gly Lys Glu Val Gln Trp Lys Met Tyr Glu Val 595 605 Tyr Asp Ala Lys Ser Lys Ser Val Ser Leu Pro Val Pro Asp Leu Cys 610 620 Ala Val Tyr Ala Val Gln Val Arg Cys Lys Arg Leu Asp Gly Leu Gly 625 630 635 640 Tyr Trp Ser Asn Trp Ser Asn Pro Ala Tyr Thr Val Val Met Asp Ile 645 650 Lys Val Pro Met Arg Gly Pro Glu Phe Trp Arg Ile Ile Asn Gly Asp 660 665 670 Thr Met Lys Lys Glu Lys Asn Val Thr Leu Leu Trp Lys Pro Leu Met 675 680 685 Lys Asn Asp Ser Leu Cys Ser Val Gln Arg Tyr Val Ile Asn His His 690 700 Thr Ser Cys Asn Gly Thr Trp Ser Glu Asp Val Gly Asn His Thr Lys 705 710 715 720 Phe Thr Phe Leu Trp Thr Glu Gln Ala His Thr Val Thr Val Leu Ala 725 730 735 Ile Asn Ser Ile Gly Ala Ser Val Ala Asn Phe Asn Leu Thr Phe Ser 740 745 750Trp Pro Met Ser Lys Val Asn Ile Val Gln Ser Leu Ser Ala Tyr Pro 755 760 765 Leu Asn Ser Ser Cys Val Ile Val Ser Trp Ile Leu Ser Pro Ser Asp 770 780

Tyr Lys Leu Met Tyr Phe Ile Ile Glu Trp Lys Asn Leu Asn Glu Asp 785 790 795 800 Gly Glu Ile Lys Trp Leu Arg Ile Ser Ser Ser Val Lys Lys Tyr Tyr 805 810 815 Ile His Asp His Phe Ile Pro Ile Glu Lys Tyr Gln Phe Ser Leu Tyr 820 825 830 Pro Ile Phe Met Glu Gly Val Gly Lys Pro Lys Ile Ile Asn Ser Phe 835 840 845 Thr Gln Asp Asp Ile Glu Lys His Gln Ser Asp Ala Gly Leu Tyr Val 850 855 860 Ile Val Pro Val Ile Ile Ser Ser Ser Ile Leu Leu Gly Thr Leu 865 870 875 880 Leu Ile Ser His Gln Arg Met Lys Lys Leu Phe Trp Glu Asp Val Pro 885 890 895 Asn Pro Lys Asn Cys Ser Trp Ala Gln Gly Leu Asn Phe Gln Lys Arg 900 905 910 Thr Asp Ile Leu Asp Pro Pro Val Ala Thr Met Val Ser Lys Gly Glu 915 920 Glu Leu Phe Thr Gly Val Val Pro Ile Leu Val Glu Leu Asp Gly Asp 930 935 940 Val Asn Gly His Lys Phe Ser Val Ser Gly Glu Gly Glu Gly Asp Ala 945 950 955 960 Thr Tyr Gly Lys Leu Thr Leu Lys Phe Ile Cys Thr Thr Gly Lys Leu 965 970 975 Pro Val Pro Trp Pro Thr Leu Val Thr Thr Phe Gly Tyr Gly Val Gln 980 985 990 Cys Phe Ala Arg Tyr Pro Asp His Met Arg Gln His Asp Phe Phe Lys 995 1000 Ser Ala Met Pro Glu Gly Tyr Val Gln Glu Arg Thr Ile Phe Phe 1010 1015 1020 Lys Asp Asp Gly Asn Tyr Lys Thr Arg Ala Glu Val Lys Phe Glu 1025 1030 1035 Gly Asp Thr Leu Val Asn Arg Ile Glu Leu Lys Gly Ile Asp Phe 1040 1050

	Lys	Glu 1055	Asp	Gly	Asn	Ile	Leu 1060		ніѕ	Lys	Leu	G]u 1065	Tyr	Asn	Tyr	
	Asn	Ser 1070		Asn	٧a٦	Tyr	11e 1075		Ala	Asp	Lys	Gln 1080	Lys	Asn	Gly	
	Ile	Lys 1085		Asn	Phe	Lys	Ile 1090		His	Asn	Ile	Glu 1095	Asp	Gly	Ser	
	٧a٦	G]n 1100		Ala	Asp	His	Tyr 1105		Gln	Asn	Thr	Pro 1110	Ile	Glу	Asp	
	Gly	Pro 1115		Leu	Leu	Pro	Asp 1120		His	Tyr	Leu	Ser 1125		Gln	Ser	
	Ala	Leu 1130		Lys	Asp	Pro	Asn 1135		Lys	Arg	Asp	ніs 1140	Met	va1	Leu	
	Leu	Glu 1145	Phe	Val	Thr	Αla	Ala 1150	Gly	Ile	Thr	Leu	Gly 1155	Met	Asp	Glu	
	Leu	Tyr 1160														
			sapie	ens												
		> CDS > (1)(3	396)													
10	<400>	> 15														
	atg Met 1	gca g Ala G	igc a	tc aa le Ly 5	a gc s Ala	t ttg a Lei	att Ile	agt Ser	ttg Leu 10	tcc t Ser F	tt g	ga gga ly Gly	gca Ala 15	atc Ile		48
	gga Gly	ctg a Leu M	tg t let Pl 20	he Le	g ato	g ctt t Lei	gga Gly	tgt Cys 25	gcc Ala	ctt d Leu F	ca a Pro I	ta tac le Tyr 30	aac Asn	aaa Lys		96
	tac Tyr	Třp P	ro L	tc tt eu Ph	t gt e Va	t cta l Leu	ttt Phe 40	ttt Phe	tac Tyr	atc d Ile I	eu S 4	ca cct er Pro 5	att Ile	cca Pro		144
	tac	tgc a	ta g	ca ag	a aga	a tta	gtg	gat	gat	aca g	gat g	ct atg	agt	aac		192

```
Tyr Cys Ile Ala Arg Arg Leu Val Asp Asp Thr Asp Ala Met Ser Asn 50 55 60
 gct tgt aag gaa ctt gcc atc ttt ctt aca acg ggc att gtc gtg tca
Ala Cys Lys Glu Leu Ala Ile Phe Leu Thr Thr Gly Ile Val Val Ser
65 70 75
                                                                                                         240
 gct ttt gga ctc cct att gta ttt gcc aga gca cat ctg att gag tgg
Ala Phe Gly Leu Pro Ile Val Phe Ala Arg Ala His Leu Ile Glu Trp
85 90 95
                                                                                                         288
 gga gct tgt gca ctt gtt ctc aca gga aac aca gtc atc ttt gca act Gly Ala Cys Ala Leu Val Leu Thr Gly Asn Thr Val Ile Phe Ala Thr 100 105
                                                                                                         336
 ata cta ggc ttt ttc ttg gtc ttt gga agc aat gac gac ttc agc tgg
Ile Leu Gly Phe Phe Leu Val Phe Gly Ser Asn Asp Asp Phe Ser Trp
115 120 125
                                                                                                         384
 cag cag tgg tga
Gln Gln Trp
130
                                                                                                         396
<210> 16
<211> 131
<212> PRT
<213> Homo sapiens
<400> 16
Met Ala Gly Ile Lys Ala Leu Ile Ser Leu Ser Phe Gly Gly Ala Ile 10 15
Gly Leu Met Phe Leu Met Leu Gly Cys Ala Leu Pro Ile Tyr Asn Lys 20 25 30
Tyr Trp Pro Leu Phe Val Leu Phe Phe Tyr Ile Leu Ser Pro Ile Pro 35 40 45
Tyr Cys Ile Ala Arg Arg Leu Val Asp Asp Thr Asp Ala Met Ser Asn 50 60
Ala Cys Lys Glu Leu Ala Ile Phe Leu Thr Thr Gly Ile Val Val Ser 65 70 75
Ala Phe Gly Leu Pro Ile Val Phe Ala Arg Ala His Leu Ile Glu Trp
Gly Ala Cys Ala Leu Val Leu Thr Gly Asn Thr Val Ile Phe Ala Thr 100 \cdot 105 110
Ile Leu Gly Phe Phe Leu Val Phe Gly Ser Asn Asp Asp Phe Ser Trp 120 125
 Gln Gln Trp
130
<210> 17
<211> 1359
<212> ADN
<213> Homo sapiens
<221> característica_misc
```

10

15

<223> MY47 LUC

<220> <221> CDS <222> (1)..(1359) <223>

5 <400> 17

atg Met 1	gca Ala	ggc Gly	atc Ile	aaa Lys 5	gct Ala	ttg Leu	att Ile	agt Ser	ttg Leu 10	tcc Ser	ttt Phe	gga Gly	gga Gly	gca Ala 15	atc Ile	48
gga Gly	ctg Leu	atg Met	ttt Phe 20	ttg Leu	atg Met	ctt Leu	gga Gly	tgt Cys 25	gcc Ala	ctt Leu	cca Pro	ata Ile	tac Tyr 30	aac Asn	aaa Lys	96
						cta Leu										144
tac Tyr	tgc Cys 50	ata Ile	gca Ala	aga Arg	aga Arg	tta Leu 55	gtg Val	gat Asp	gat Asp	aca Thr	gat Asp 60	gct Ala	atg Met	agt Ser	aac Asn	192
gct Ala 65	tgt Cys	aag Lys	gaa Glu	ctt Leu	gcc Ala 70	atc Ile	ttt Phe	ctt Leu	aca Thr	acg Thr 75	ggc Gly	att Ile	gtc Val	gtg Val	tca Ser 80	240
						gta Val										288
gga Gly	gct Ala	tgt Cys	gca Ala 100	ctt Leu	gtt Val	ctc Leu	aca Thr	gga Gly 105	aac Asn	aca Thr	gtc Val	atc Ile	ttt Phe 110	gca Ala	act Thr	336
ata Ile	cta Leu	ggc Gly 115	ttt Phe	ttc Phe	ttg Leu	gtc Val	ttt Phe 120	gga Gly	agc Ser	aat Asn	gac Asp	gac Asp 125	ttc Phe	agc Ser	tgg Trp	384
cag Gln	cag Gln 130	tgg Trp	cga Arg	ccg Pro	gtg val	gat Asp 135	cca Pro	ccg Pro	gct Ala	aga Arg	gcc Ala 140	acc Thr	atg Met	acc Thr	agc Ser	432

aag Lys 145	gtg Val	tac Tyr	gac Asp	ccc Pro	gag Glu 150	cag Gln	agg Arg	aag Lys	agg Arg	atg Met 155	atc Ile	acc Thr	ggc Gly	ccc Pro	cag Gln 160	480	
tgg Trp	tgg Trp	gcc Ala	agg Arg	tgc Cys 165	aag Lys	cag Gln	atg Met	aac Asn	gtg Val 170	ctg Leu	gac Asp	agc Ser	ttc Phe	atc Ile 175	aac Asn	528	
												atc Ile				576	
												gtg Val 205				624	
												ggc Gly				672	
												gac Asp				720	
												aag Lys				768	
												cac His				816	
gag Glu	cac His	cag G1n 275	gac Asp	aag Lys	atc Ile	aag Lys	gcc Ala 280	atc Ile	gtg Val	cac His	gcc Ala	gag Glu 285	agc Ser	gtg Val	gtg Val	864	
gac Asp	gtg Val 290	atc Ile	gag Glu	agc Ser	tgg Trp	gac Asp 295	gag Glu	tgg Trp	cca Pro	gac Asp	atc Ile 300	gag Glu	gag Glu	gac Asp	atc Ile	912	
gcc Ala 305	ctg Leu	atc Ile	aag Lys	agc Ser	gag Glu 310	gag Glu	ggc Gly	gag Glu	aag Lys	atg Met 315	gtg Val	ctg Leu	gag Glu	aac Asn	aac Asn 320	960	
												aga Arg				1008	
												gag Glu				1056	
gtg Val	aga Arg	aga Arg 355	ccc Pro	acc Thr	ctg Leu	agc Ser	tgg Trp 360	ccc Pro	aga Arg	gag Glu	atc Ile	ccc Pro 365	ctg Leu	gtg Val	aag Lys	1104	
ggc Gly	ggc Gly 370	aag Lys	ccc Pro	gac Asp	gtg Val	gtg Val 375	cag G1n	atc Ile	gtg Val	aga Arg	aac Asn 380	tac Tyr	aac Asn	gcc Ala	tac Tyr	1152	
												gag Glu				1200	
ggc Gly	ttc Phe	ttc Phe	agc Ser	aac Asn 405	gcc Ala	atc Ile	gtg Val	gag Glu	ggc Gly 410	gcc Ala	aag Lys	aag Lys	ttc Phe	ccc Pro 415	aac Asn	1248	
				Lys				ĺуĻ							gac Asp		1296
ccc Pro	gac Asp	gag Glu 435	atg Met	ggo Gly	aa Ly:	g ta s Ty	c at r Il 44	e L	ag a ys S	gc 1 er F	ttc he	gtg Val	gag Glu 445	aga Arg	gtg Val	ctg Leu	1344
aag Lys	aac Asn 450	gag Glu	cag Gln	taa	1												1359

```
<210> 18
```

<211> 452

<212> PRT

<213> Homo sapiens

5 <220>

<221> característica_misc

<223> MY47 LUC

<400> 18

Met Ala Gly Ile Lys Ala Leu Ile Ser Leu Ser Phe Gly Gly Ala Ile 1 5 10 15

Gly Leu Met Phe Leu Met Leu Gly Cys Ala Leu Pro Ile Tyr Asn Lys $20 \hspace{1cm} 25 \hspace{1cm} 30$

Tyr Trp Pro Leu Phe Val Leu Phe Phe Tyr Ile Leu Ser Pro Ile Pro 35 40 45

Tyr Cys Ile Ala Arg Arg Leu Val Asp Asp Thr Asp Ala Met Ser Asn $50 \hspace{1.5cm} 55 \hspace{1.5cm} 60$

Ala Cys Lys Glu Leu Ala Ile Phe Leu Thr Thr Gly Ile Val Val Ser 65 70 75 80

Ala Phe Gly Leu Pro Ile Val Phe Ala Arg Ala His Leu Ile Glu Trp 85 90 95

Gly Ala Cys Ala Leu Val Leu Thr Gly Asn Thr Val Ile Phe Ala Thr 100 105 110

Ile Leu Gly Phe Phe Leu Val Phe Gly Ser Asn Asp Asp Phe Ser Trp 115 120 125

Gln Gln Trp Arg Pro Val Asp Pro Pro Ala Arg Ala Thr Met Thr Ser 130 140

10

Lys Val Tyr Asp Pro Glu Gln Arg Lys Arg Met Ile Thr Gly Pro Gln 145 150 160 Trp Trp Ala Arg Cys Lys Gln Met Asn Val Leu Asp Ser Phe Ile Asn 165 170 Tyr Tyr Asp Ser Glu Lys His Ala Glu Asn Ala Val Ile Phe Leu His 180 185 190 Gly Asn Ala Ala Ser Ser Tyr Leu Trp Arg His Val Val Pro His Ile 195 200 205 Glu Pro Val Ala Arg Cys Ile Ile Pro Asp Leu Ile Gly Met Gly Lys 210 220 Ser Gly Lys Ser Gly Asn Gly Ser Tyr Arg Leu Leu Asp His Tyr Lys 235 240 Tyr Leu Thr Ala Trp Phe Glu Leu Leu Asn Leu Pro Lys Lys Ile Ile 245 250 Phe Val Gly His Asp Trp Gly Ala Cys Leu Ala Phe His Tyr Ser Tyr 260 265 270Glu His Gln Asp Lys Ile Lys Ala Ile Val His Ala Glu Ser Val Val 275 280 285 Asp Val Ile Glu Ser Trp Asp Glu Trp Pro Asp Ile Glu Glu Asp Ile 290 300 Ala Leu Ile Lys Ser Glu Glu Gly Glu Lys Met Val Leu Glu Asn Asn 305 310 315 Phe Phe Val Glu Thr Met Leu Pro Ser Lys Ile Met Arg Lys Leu Glu 325 330 335Pro Glu Glu Phe Ala Ala Tyr Leu Glu Pro Phe Lys Glu Lys Gly Glu 340 345 350Val Arg Arg Pro Thr Leu Ser Trp Pro Arg Glu Ile Pro Leu Val Lys 355 360 365 Gly Gly Lys Pro Asp Val Val Gln Ile Val Arg Asn Tyr Asn Ala Tyr 370 380 Leu Arg Ala Ser Asp Asp Leu Pro Lys Met Phe Ile Glu Ser Asp Pro 385 390 400 Gly Phe Phe Ser Asn Ala Ile Val Glu Gly Ala Lys Lys Phe Pro Asn 405 415 Thr Glu Phe Val Lys Val Lys Gly Leu His Phe Ser Gln Glu Asp Ala 420 425 430 Pro Asp Glu Met Gly Lys Tyr Ile Lys Ser Phe Val Glu Arg Val Leu 435 440 445 Lys Asn Glu Gln 450

	<212	> 114 > AD	N	ia Art	ificial												
5	<220 <223		O47 `	YFP													
		> car	acterí 47 YF	stica_ ⁻P	_misc	:											
10	<220> <221> CDS <222> (1)(1140) <223>																
	<400	> 19															
															gca Ala 15		48
															aac Asn		96
	tac Tyr	tgg Trp	ccc Pro 35	ctc Leu	ttt Phe	gtt val	cta Leu	ttt Phe 40	ttt Phe	tac Tyr	atc Ile	ctt Leu	tca Ser 45	cct Pro	att Ile	cca Pro	144
	tac Tyr	tgc Cys 50	ata Ile	gca Ala	aga Arg	aga Arg	tta Leu 55	gtg Val	gat Asp	gat Asp	aca Thr	gat Asp 60	gct Ala	atg Met	agt Ser	aac Asn	192
	gct Ala 65	tgt Cys	aag Lys	gaa Glu	ctt Leu	gcc Ala 70	atc Ile	ttt Phe	ctt Leu	aca Thr	acg Thr 75	ggc Gly	att Ile	gtc Val	gtg Val	tca Ser 80	240
15	gct Ala	ttt Phe	gga Gly	ctc Leu	cct Pro 85	att Ile	gta Val	ttt Phe	gcc Ala	aga Arg 90	gca Ala	cat His	ctg Leu	att Ile	gag Glu 95	tgg Trp	288

gga gct t Gly Ala C	gt gca Sys Ala 100	ctt Leu	gtt Val	ctc Leu	aca Thr	gga Gly 105	aac Asn	aca Thr	gtc Val	atc Ile	tťt Phe 110	gca Ala	act Thr	336
ata cta g Ile Leu G 1	gc ttt ily Phe .15	ttc Phe	ttg Leu	gtc Val	ttt Phe 120	gga Gly	agc Ser	aat Asn	gac Asp	gac Asp 125	ttc Phe	agc Ser	tgg Trp	384
cag cag t Gln Gln T 130	gg cga rp Arg	ccg Pro	gtg Val	gat Asp 135	cca Pro	ccg Pro	gtc Val	gcc Ala	acc Thr 140	atg Met	gtg Val	agc Ser	aag Lys	432
ggc gag g Gly Glu G 145	ag ctg lu Leu	Phe	acc Thr 150	ggg Gly	gtg Val	gtg Val	CCC Pro	atc Ile 155	ctg Leu	gtc val	gag Glu	ctg Leu	gac Asp 160	480
ggc gac g Gly Asp V	ta aac 'al Asn	ggc Gly 1 165	cac His	aag Lys	ttc Phe	agc Ser	gtg Val 170	tcc Ser	ggc Gly	gag Glu	ggc Gly	gag Glu 175	ggc Gly	528
gat gcc a Asp Ala T														576
aag ctg c Lys Leu P 1														624
gtg cag t Val Gln C 210														672
ttc aag t Phe Lys S 225	cc gcc er Ala	Met !	ccc Pro 230	gaa Glu	ggc Gly	tac Tyr	gtc Val	cag Gln 235	gag Glu	cgc Arg	acc Thr	atc Ile	ttc Phe 240	720
ttc aag g Phe Lys A	ac gac sp Asp	ggc a Gly / 245	aac Asn	tac Tyr	aag Lys	acc Thr	cgc Arg 250	gcc Ala	gag Glu	gtg Val	aag Lys	ttc Phe 255	gag Glu	768
ggc gac a Gly Asp T	cc ctg hr Leu 260	gtg a	aac Asn	cgc Arg	atc Ile	gag Glu 265	ctg Leu	aag Lys	ggc Gly	atc Ile	gac Asp 270	ttc Phe	aag Lys	816
gag gac g Glu Asp G 2	gc aac 1y Asn 75	atc (Ile i	ctg Leu	ggg Gly	cac His 280	aag Lys	ctg Leu	gag Glu	tac Tyr	aac Asn 285	tac Tyr	aac Asn	agc Ser	864
cac aac g His Asn V 290														912
aac ttc a Asn Phe L 305	ag atc ys Ile	Arg I	cac His 310	aac Asn	atc Ile	gag Glu	gac Asp	ggc Gly 315	agc Ser	gtg Val	cag Gln	ctc Leu	gcc Ala 320	960
gac cac t Asp His T														1008
ccc gac a Pro Asp A	ac cac sn His 340	tac (Tyr I	ctg Leu	agc Ser	tac Tyr	cag Gln 345	tcc Ser	gcc Ala	ctg Leu	agc Ser	aaa Lys 350	gac Asp	ccc Pro	1056
aac gag a Asn Glu L 3	ag cgc ys Arg 55	gat (Asp I	cac His	atg Met	gtc Val 360	ctg Leu	ctg Leu	gag Glu	ttc Phe	gtg Val 365	acc Thr	gcc Ala	gcc Ala	1104
ggg atc Gly Ile 370	act cto Thr Leu	ggc Gly	atg Met	gac Asp 375	gag Glu	ctg Leu	tac Tyr	aag Lys	taa					1140

<210> 20 <211> 379

<212> PRT

<213> Secuencia Artificial

<220>

<223> MYO47 YFP

5 <220>

<221> característica_misc

<223> MY47 YFP

<400> 20

Met Ala Gly Ile Lys Ala Leu Ile Ser Leu Ser Phe Gly Gly Ala Ile $1 \hspace{1cm} 5 \hspace{1cm} 10 \hspace{1cm} 15$

Gly Leu Met Phe Leu Met Leu Gly Cys Ala Leu Pro Ile Tyr Asn Lys 20 25 30

Tyr Trp Pro Leu Phe Val Leu Phe Phe Tyr Ile Leu Ser Pro Ile Pro 35 40 45

Tyr Cys Ile Ala Arg Arg Leu Val Asp Asp Thr Asp Ala Met Ser Asn 50 55 60

Ala Cys Lys Glu Leu Ala Ile Phe Leu Thr Thr Gly Ile Val Val Ser 65 70 75 80

Ala Phe Gly Leu Pro Ile Val Phe Ala Arg Ala His Leu Ile Glu Trp 85 90 95

Gly Ala Cys Ala Leu Val Leu Thr Gly Asn Thr Val Ile Phe Ala Thr 100 105 110

Ile Leu Gly Phe Phe Leu Val Phe Gly Ser Asn Asp Asp Phe Ser Trp 120 125

Gln Gln Trp Arg Pro Val Asp Pro Pro Val Ala Thr Met Val Ser Lys 130 140

Gly Glu Glu Leu Phe Thr Gly Val Val Pro Ile Leu Val Glu Leu Asp 145 150 155 160

10

Gly Asp Val Asn Gly His Lys Phe Ser Val Ser Gly Glu Gly Glu Gly 165 170 175 Asp Ala Thr Tyr Gly Lys Leu Thr Leu Lys Phe Ile Cys Thr Thr Gly 180 185 190 Lys Leu Pro Val Pro Trp Pro Thr Leu Val Thr Thr Phe Gly Tyr Gly
195 200 205 Val Gln Cys Phe Ala Arg Tyr Pro Asp His Met Arg Gln His Asp Phe 210 220 Phe Lys Ser Ala Met Pro Glu Gly Tyr Val Gln Glu Arg Thr Ile Phe 225 230 240 Phe Lys Asp Asp Gly Asn Tyr Lys Thr Arg Ala Glu Val Lys Phe Glu 245 255 Gly Asp Thr Leu Val Asn Arg Ile Glu Leu Lys Gly Ile Asp Phe Lys 260 270 Glu Asp Gly Asn Ile Leu Gly His Lys Leu Glu Tyr Asn Tyr Asn Ser 275 280 285 His Asn Val Tyr Ile Met Ala Asp Lys Gln Lys Asn Gly Ile Lys Val 290 300 Asn Phe Lys Ile Arg His Asn Ile Glu Asp Gly Ser Val Gln Leu Ala 305 310 320 Asp His Tyr Gln Gln Asn Thr Pro Ile Gly Asp Gly Pro Val Leu Leu 325 330 Pro Asp Asn His Tyr Leu Ser Tyr Gln Ser Ala Leu Ser Lys Asp Pro Asn Glu Lys Arg Asp His Met Val Leu Glu Phe Val Thr Ala Ala 355 360 365 Gly Ile Thr Leu Gly Met Asp Glu Leu Tyr Lys 370

<400> 21

<210> 21

<211> 1114

<212> ADN

<213> Homo sapiens

gicigging	ggcaggcigc c	cygyccyty yc	ayyaaycc yya	aycaycc gcggc	.cccay 00	
ttcgggagac	atggcgggcg	ttaaagctct	cgtggcatta	tccttcagtg	gggctattgg	120
actgactttt	cttatgctgg	gatgtgcctt	agaggattat	ggcgtttact	ggcccttatt	180
cgtcctgatt	ttccacgcca	tctcccccat	cccccatttc	attgccaaaa	gagtcaccta	240
tgactcagat	gcaaccagta	gtgcctgtcg	ggaactggca	tatttcttca	ctactggaat	300
tgttgtttct	gcctttggat	ttcctgttat	tcttgctcgt	gtggctgtga	tcaaatgggg	360
agcctgcggc	cttgtgttgg	caggcaatgc	agtcattttc	cttacaattc	aagggtttt	420
ccttatattt	ggaagaggag	atgattttag	ctgggagcag	tggtagcact	ttattctgat	480
tacagtgcat	tgaatttctt	agaactcata	ctatctgtat	acatgtgcac	atgcggcatt	540
ttactatgaa	atttaatatg	ctgggttttt	taataccttt	atatatcatg	ttcactttaa	600
gaaagacttc	ataagtagga	gatgagtttt	attctcagca	aatagacctg	tcaaatttag	660
attatgttac	tcaaattatg	ttacttgttt	ggctgttcat	gtagtcacgg	tgctctcaga	720
aaatatatta	acgcagtctt	gtaggcagct	gccaccttat	gcagtgcatc	gaaacctttt	780
gcttggggat	gtgcttggag	aggcagataa	cgctgaagca	ggcctctcat	gacccaggaa	840
ggccggggtg	gatccctctt	tgtgttgtag	tccatgctat	taaaagtgtg	gcccacagac	900
caagagcctc	aacatttcct	agagccttat	tagaaatgca	gaatctgaag	ccccactctg	960
gacccaggac	attttgatga	gatccaaagg	agttgtatgc	acatgaaagt	ttgagaagca	1020
tcatcataga	gaagtaaaca	tcacacccaa	cttccttatc	tttccagtgg	ctaaaccact	1080
taacctctct	gggtgttacc	tgctcatttg	ttta			1114
<210> 22 <211> 20 <212> ADN <213> Secuenci	a Artificial					
<220> <223> AS01						
<400> 22 gcttcctgcc acggc	ccggg	20				
<210> 23 <211> 20 <212> ADN <213> Secuenci	a Artificial					
<220> <223> AS02						
<400> 23 gccatgtctc ccgaa	actggg	20				
<210> 24 <211> 20 <212> ADN <213> Secuenci	a Artificial					
<220> <223> AS03						

	<400> 24 aacgcccgcc atgtctcccg	20
5	<210> 25 <211> 20 <212> ADN <213> Secuencia Artificial	
	<220> <223> AS04	
10	<400> 25 agagctttaa cgcccgccat	20
	<210> 26 <211> 20 <212> ADN <213> Secuencia Artificial	
15	<220> <223> AS05	
	<400> 26 ggataatgcc acgagagctt	20
20	<210> 27 <211> 20 <212> ADN <213> Secuencia Artificial	
	<220> <223> AS06	
25	<400> 27 aaggcacatc ccagcataag	20
30	<210> 28 <211> 20 <212> ADN <213> Secuencia Artificial	
	<220> <223> AS07	
	<400> 28 ccataatcct ctaaggcaca	20
35	<210> 29 <211> 20 <212> ADN <213> Secuencia Artificial	
40	<220> <223> AS08	
	<400> 29 cagtaaacgc cataatcctc	20
45	<210> 30 <211> 20 <212> ADN <213> Secuencia Artificial	
	<220> <223> AS09	
50	<400> 30	20

	<210> 31 <211> 20 <212> ADN <213> Secuencia Artificial	
5	<220> <223> AS10	
	<400> 31 atgccagttc ccgacaggca	20
10	<210> 32 <211> 22 <212> ADN <213> Secuencia Artificial	
	<220> <223> AS11	
15	<400> 32 aaatatgcca gttcccgaca gg	22
20	<210> 33 <211> 20 <212> ADN <213> Secuencia Artificial	
	<220> <223> AS12	
	<400> 33 aagaaatatg ccagttcccg	20
25	<210> 34 <211> 20 <212> ADN <213> Secuencia Artificial	
30	<220> <223> AS13	
	<400> 34 cattgcctgc caacacaagg	20
35	<210> 35 <211> 20 <212> ADN <213> Secuencia Artificial	
	<220> <223> AS15	
40	<400> 35 aaccgccgac ctgtcctccg	20
	<210> 36 <211> 22 <212> ADN <213> Secuencia Artificial	
45	<220> <223> AS16	
	<400> 36 aaatetgcac gttacagcca gg	22
50	<210> 37 <211> 21	

	<212> ADN <213> Secuencia Artificial		
	<220> <223> Artificial		
5	<400> 37 gugccugucg ggaacuggct t 21		
10	<210> 38 <211> 21 <212> ADN <213> Secuencia Artificial		
	<220> <223> Artificial		
	<400> 38 gccaguuccc gacaggcact t 21		
15	<210> 39 <211> 38 <212> ADN <213> Secuencia Artificial		
20	<220> <223> Artificial		
	<400> 39 tctcttgaat gaaacacatg tgcacacaca aacaaggc		38
25	<210> 40 <211> 40 <212> ADN <213> Secuencia Artificial		
	<220> <223> Artificial		
30	<400> 40 gctctagaaa aatgtgtgca catgtgtttc atctcttgaa	40	
	<210> 41 <211> 35 <212> ADN <213> Secuencia Artificial		
35	<220> <223> Artificial		
	<400> 41 ccatctaggc caagcttate cgacgccgcc atctc	35	
40	<210> 42 <211> 47 <212> ADN <213> Secuencia Artificial		
	<220> <223> Artificial		
45	<400> 42 tgtgtgcaca tgtgtttcat tcaagagatg aaacacatgt gcacaca		47
50	<210> 43 <211> 14 <212> ADN <213> Secuencia Artificial		

	<220> <223> Artificial		
	<400> 43 ccgtggcagg aagc	14	
5	<210> 44 <211> 20 <212> ADN <213> Secuencia Artificial		
10	<220> <223> Artificial		
	<400> 44 gcagcgacag ccccagctcc		20
15	<210> 45 <211> 16 <212> ADN <213> Secuencia Artificial		
	<220> <223> Artificial		
20	<400> 45 cagccacacg agcaag		16
	<210> 46 <211> 15 <212> ADN <213> Secuencia Artificial		
25	<220> <223> Artificial		
	<400> 46 ggagaaggct ggggc		15
30	<210> 47 <211> 17 <212> ADN <213> Secuencia Artificial		
	<220> <223> Artificial		
35	<400> 47 gatggcatgg actgtgg		17

REIVINDICACIONES

- **1.** Oligonucleótido opcionalmente modificado que comprende de 8 a 50 nucleótidos que hibrida de manera específica con la secuencia SEQ ID N° 1 e inhibe la expresión de OB-RGRP, caracterizado porque comprende una secuencia que presenta una identidad de al menos 90% con la secuencia SEQ ID NO:2.
- 5 **2.** Oligonucleótido según la reivindicación 1 caracterizado porque favorece la expresión de los receptores de la leptina en la superficie celular.
 - 3. Oligonucleótido según una de las reivindicaciones 1 y 2 caracterizado porque es un antisentido.
 - **4.** Oligonucleótido según una de las reivindicaciones 1 a 3 caracterizado porque los nucleótidos están tioesterificados.
- 5. Oligonucleótido según una de las reivindicaciones 1 a 3 caracterizado porque los nucleótidos están 2' O-metilados.
 - **6.** Oligonucleótido según una de las reivindicaciones 1 a 3 caracterizado porque presenta un residuo trietilenglicol en su extremo 3'.
 - 7. Oligonucleótido según una de las reivindicaciones 1 a 3 caracterizado porque es monocatenario.
- **8.** Oligonucleótido según una de las reivindicaciones 1 a 7 en el que los nucleótidos en posiciones 2, 4, 6, 7, 9, 11, 13, 15, 17, 19 y 20, en el sentido 5' hacia 3', están tioesterificados.
 - 9. Oligonucleótido según una de las reivindicaciones 1 a 7 en el que los nucleótidos en posiciones 1, 2, 3, 4, 5, 16, 17, 18, 19 y 20, en el sentido 5' hacia 3', están 2' O-metilados.
 - 10. Oligonucleótido según una de las reivindicaciones 1 a 9 caracterizado porque es un ADN.
- 20 **11.** Oligonucleótido de tipo Ácido Ribonucleico de Interferencia (ARNi) que comprende de 15 a 60 nucleótidos que hibrida de manera específica con la secuencia SEQ ID N° 21 e inhibe la expresión de OB-RGRP, caracterizado porque es un ARN bicatenario y porque al menos una de las dos cadenas comprende una secuencia que presenta una identidad de al menos 90 %, con una de las secuencias SEQ ID N° 37 o SEQ ID° N 38.
- 12. Oligonucleótido de tipo Ácido Ribonucleico de Interferencia (ARNi) que comprende de 15 a 60 nucleótidos que hibrida de manera específica con la secuencia SEQ ID N° 21 e inhibe la expresión de OB-RGRP, caracterizado porque es un ARN monocatenario y porque comprende una secuencia que presenta una identidad de al menos 90 %, con la secuencia SEQ ID N° 42.
 - 13. Vector que expresa un oligonucleótido según una de las reivindicaciones 1 a 3, 11 y 12.
 - 14. Célula que contiene un vector según la reivindicación 13.

30

Figura 1:

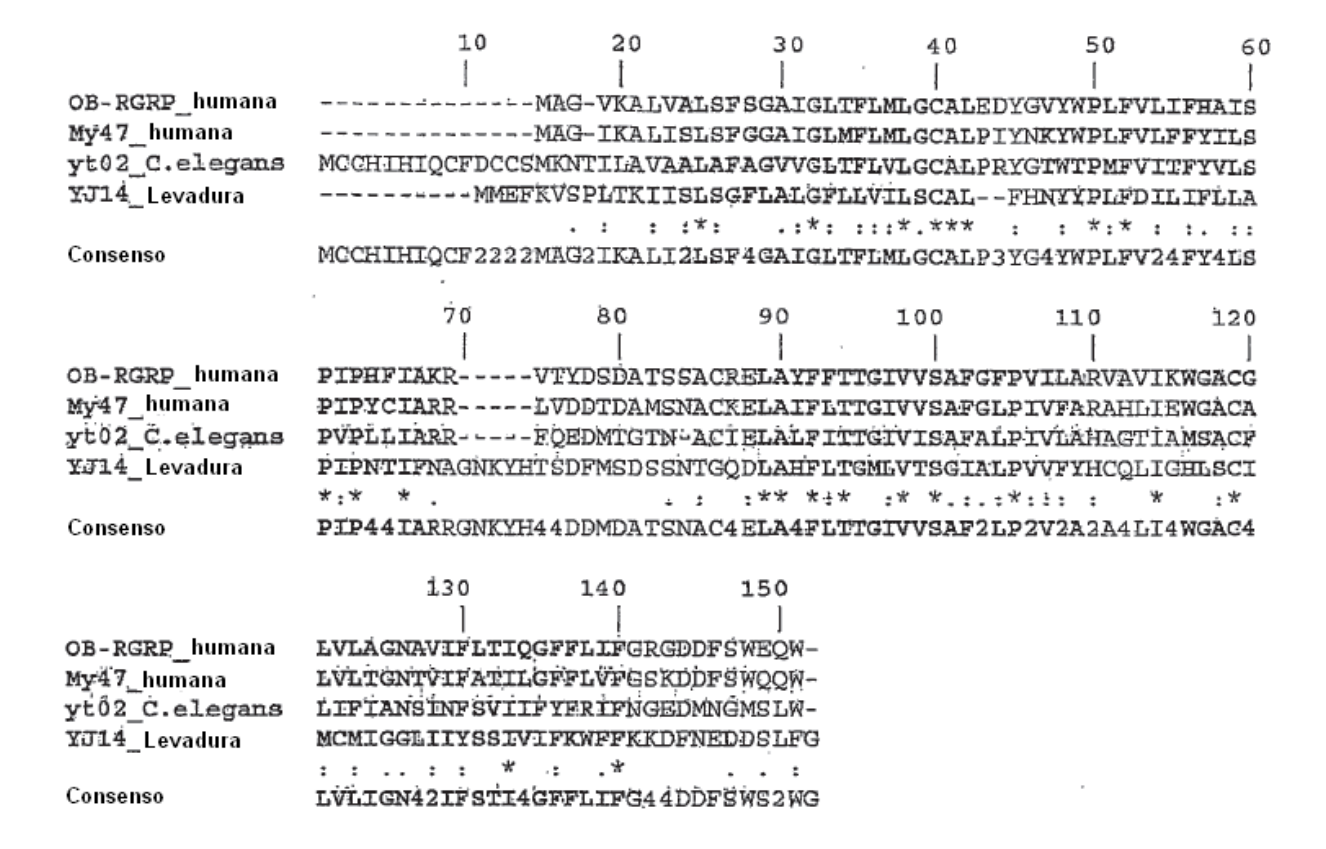
```
AS 01: 3'-teg-G*G*G C*C*C*G G*C A*C*C G*T*C*C T*T*C*G
       3'-teg-<u>G*G*G*T*C</u> A A G*C*C*C T*C*T G*<u>T A*C*C*G</u>
AS 02:
        3'-teg-G*C*C*C T*C*T G*T A*C*C G*C*C*C G*C*A*A
AS 03:
AS 04: 3'-teg-<u>T*A*C*C G</u>*C*C*C G*C A A*T*T*T*<u>C G A*G*A</u>
       3'-teg-T*T*C*G A G A*G*C A*C*C G*T A A*T A*G*G
AS 05:
       3'-teg-G*A*A*T A*C G A*C*C*C*T A*C A*C G G*A*A
AS 06:
AS 07: ·3'-teg-A*C*A*C G G A A*T*C*T C*C*T*A A*T A*C*C
AS 08: 3'-teg-C*T*C*C*T A A*T A*C*C G*C A A*A*T G*A*C
       3'-teg-<u>C*C*G*C*A</u> A A*T G A*C*C*G G G <u>A*A T*A*A</u>
AS 09:
AS 10: 3'-teg-A*C*G G A*C A G*C*C*C T*T*G A*C*C G*T*A
AS 11: 3'-teg-G*G*A*C A G*C*C*C T*T*G A*C*C G*T A*T A*A*A
AS 12: 3'-teg-G*C*C*C T*T*G A*C*C G*T A*T A A*A G*A*A
       3'-teg-<u>G*G*A A*C</u>*A*C A A*C*C*G T*C*C*<u>G T*T*A*C</u>
AS 13:
AS 14: 3'-teg-T*G*T A*C A*C G*T G*T A*C G*C*C G*T A*A
AS 15: 3'-teg-G*C*C*T C*C*T G*T C*C*A G*C*C*G C*C*A*A
AS 16: 3'-teg-G*G*A*C*C G A*C*A T*T*G C*A*C G*T C*T A*A*A
```

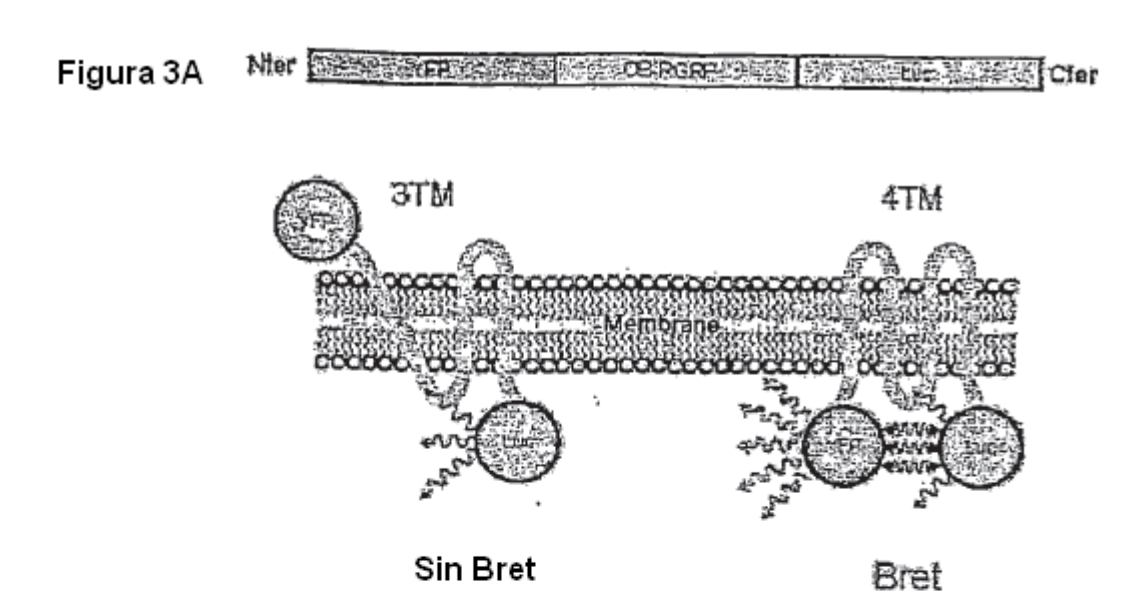
*: Tioéster

_: 2'O-Metilación

teg: espaciador Trietilenglicol

Figura 2





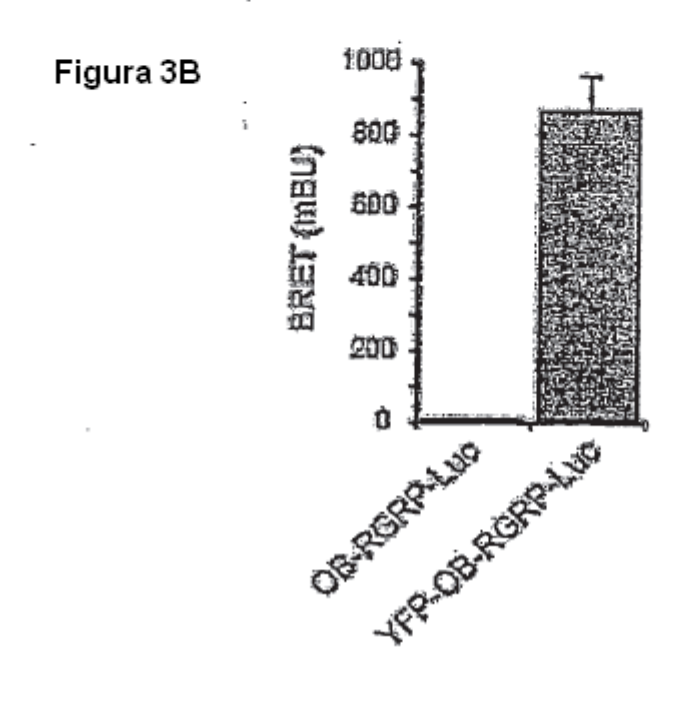


Figura 4 A

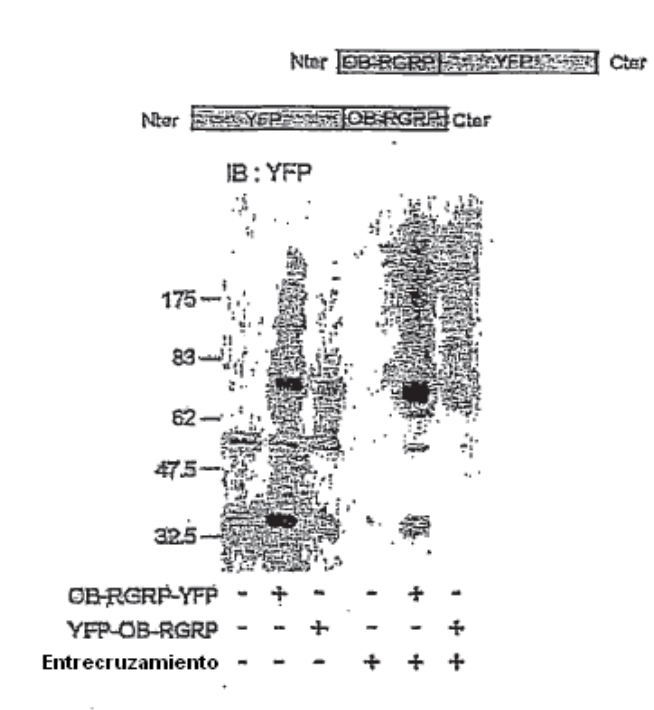


Figura 4 B

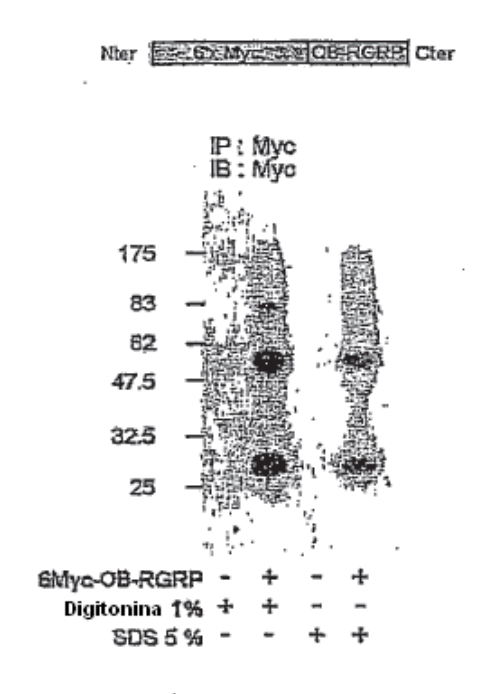


Figura 5

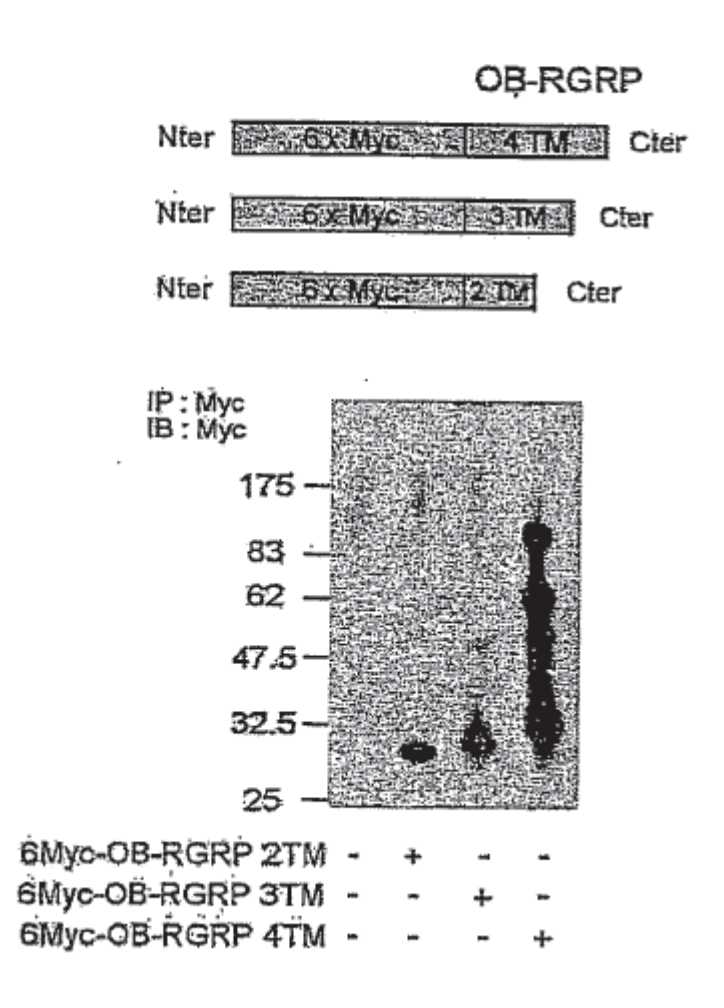


Figura 6 A

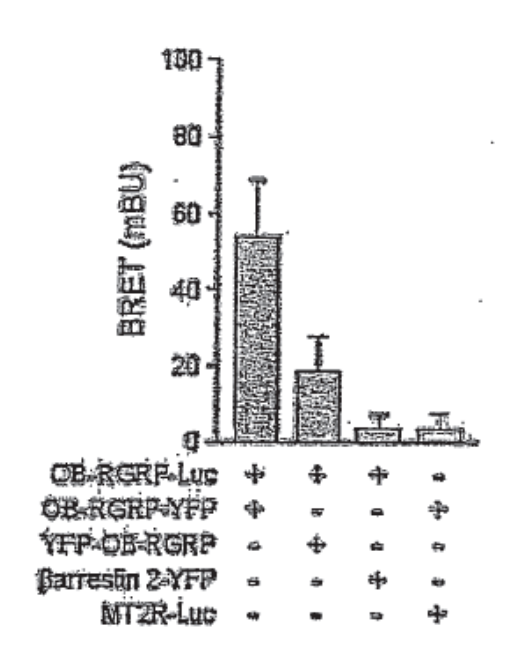


Figura 6 B

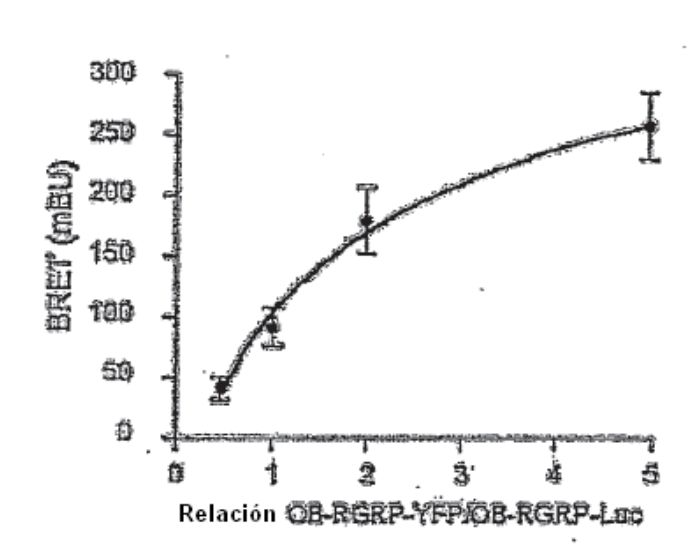


Figura 7

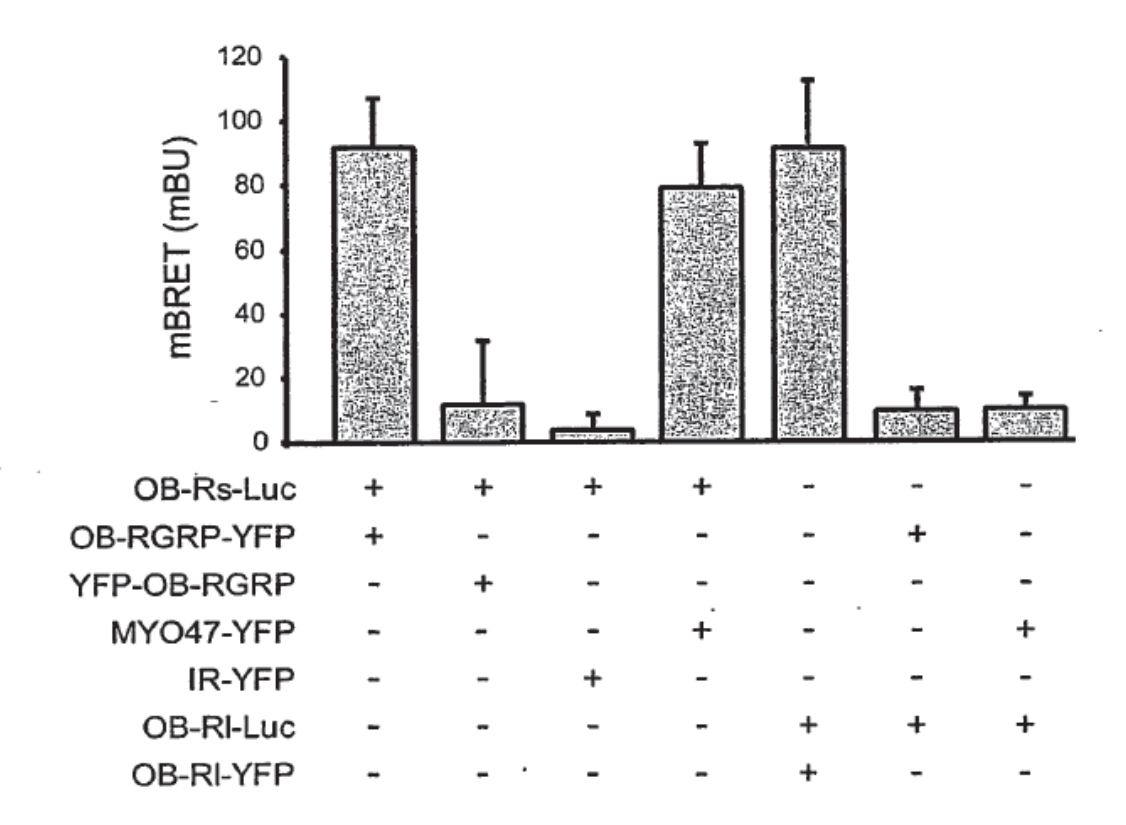


Figura 8 a

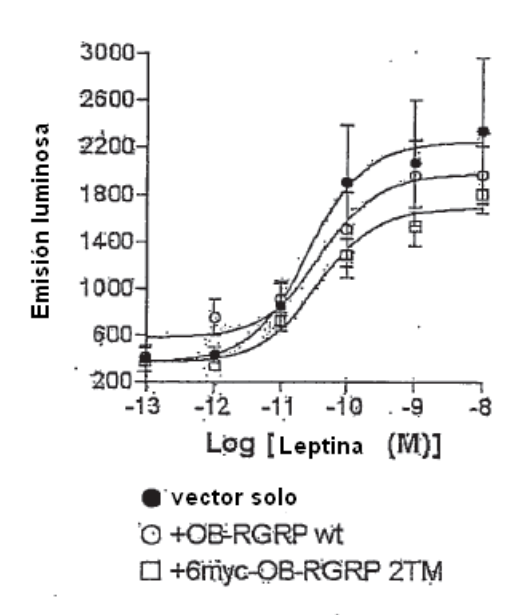


Figura 8 b

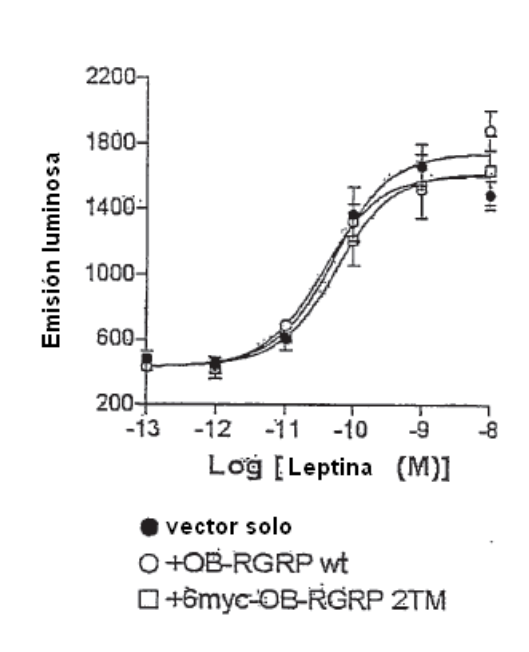
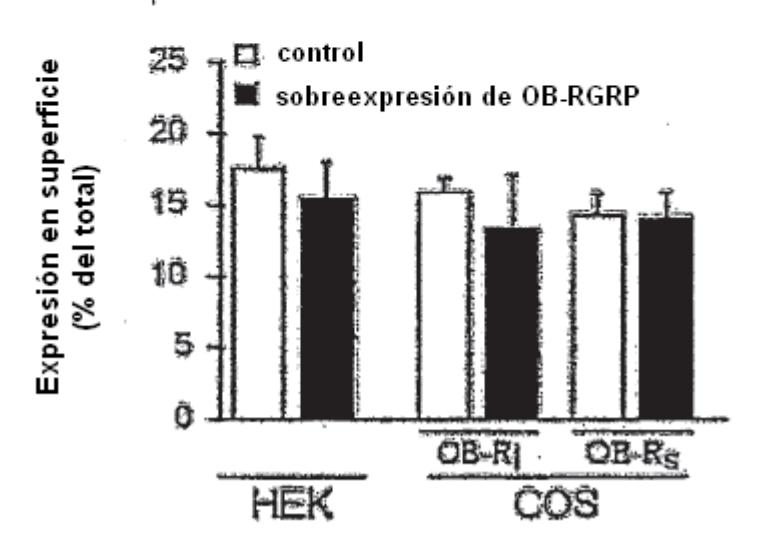


Figura 9



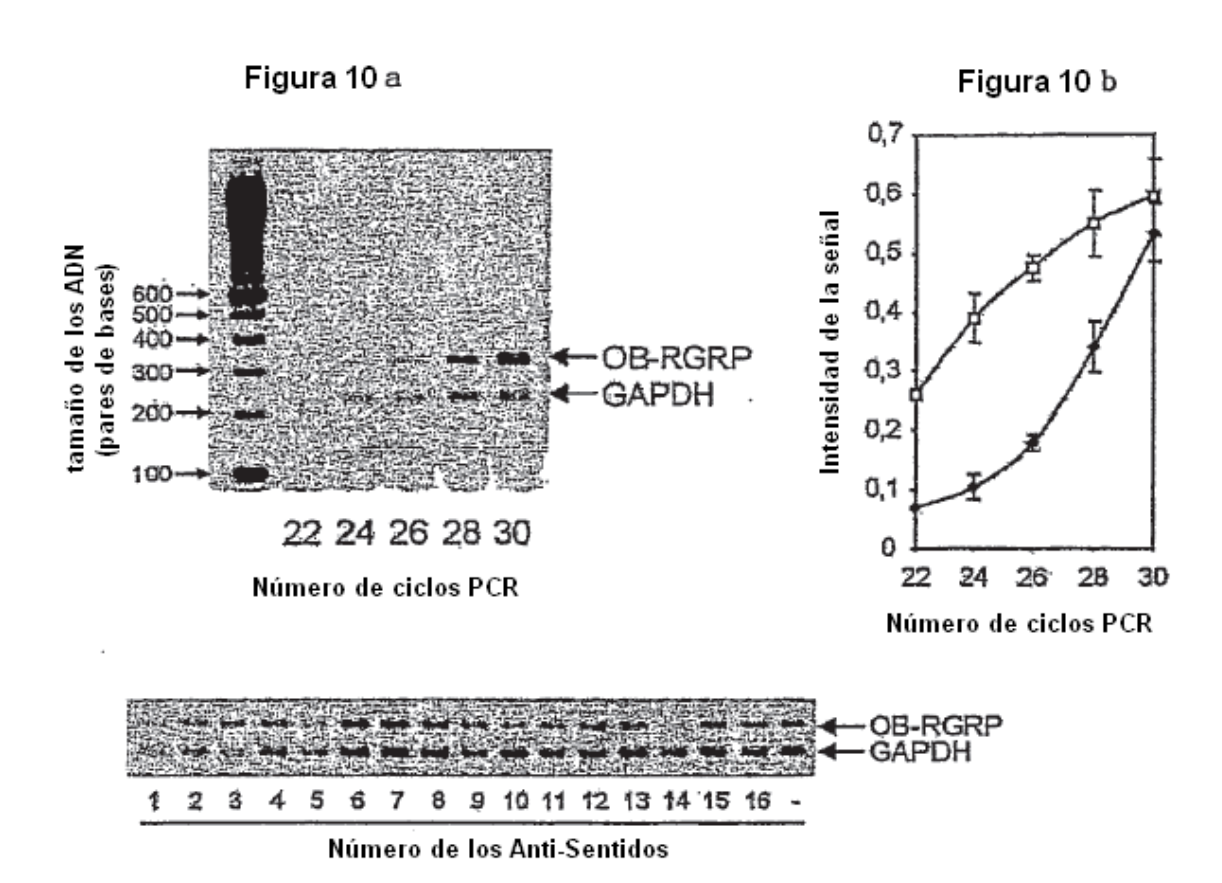


Figura 10 c

Figura 11 A Figura 11B Células HELA 5'- gugccugucgggaacuggcTT -3' **OB-RGRP** 3'- TTcacggacagcccuugaccg -5' Células L OB-RGRP bucle

Figura 11.D

secuencia diana

Figura 11 C

Figura 12

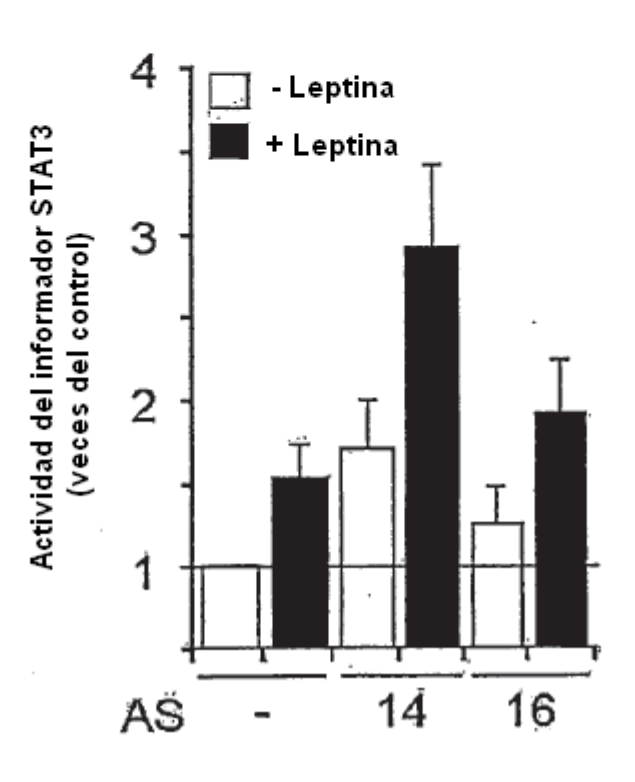


Figura 13

